

МИНИСТЕРСТВО ГЕОЛОГИИ СССР  
ВСЕСОЮЗНОЕ АЭРОГЕОЛОГИЧЕСКОЕ НАУЧНО-  
ПРОИЗВОДСТВЕННОЕ ОБЪЕДИНЕНИЕ «АЭРОГЕОЛОГИЯ»

Уч. № 087

Экз. №  
00104

# ГЕОЛОГИЧЕСКАЯ КАРТА СССР

МАСШТАБ 1:200 000

СЕРИЯ БОДАЙВИНСКАЯ

Лист О-50-XXX

Объяснительная записка

Составитель *М.Э.Глуховский*

Редактор *В.В.Архангельская*

Утверждено Научно-редакционным советом ВСЕГЕИ  
4 апреля 1968 г., протокол № 11

МОСКВА 1978

## ВВЕДЕНИЕ

Территория листа 0-50-XXX относится к Кемеровскому району Читинской области РСФСР и Оленегинскому району ЯАССР. Она отрезана координатами  $119^{\circ}00' - 120^{\circ}00'$  в.д. и  $56^{\circ}40' - 57^{\circ}20'$  с.ш.

Территория расположена в центральной части Оленегинско-Витимской горной страны. Северо-восточные отроги хребта Улокан, занимающие большую половину территории, характеризуются альпийскими формами рельефа. Максимальные абсолютные отметки достигают здесь 2515 м, минимальные высоты 1400 м (долина р. Андугиса). Рельеф части территории, занимаемой бассейном верховьев рек Олонцо, Та-рин-Урхт, Токко, Камкада, орографически сходен с рельефом северо-восточных отрогов хр. Улокан. Максимальные абсолютные отметки этой части района достигают 2215 м (водораздел Токко - Эвонокит), минимальные доходят до 800-900 м (долина р. Токко). Юго-восточная часть территории (бассейны рек Хани и Ис-Тельдь) и часть северных предгорий хр. Улокан (бассейны рек Олукид, Камкан-да, Кургут-Урхт) имеют ступенчатый рельеф с плоскими широкими водоразделами и сравнительно пологими склонами. Максимальные высоты достигают здесь 1900-2000 м, минимальные - 700-800 м. Длинный шифр относительно пониженной (900-1200 м) северо-восточной части района создает палолопистый моренный рельеф, на фоне которого выступают отдельные подплато с незначительными урочищами водоразделов до 1545 м (верховья р. Эдлах).

Территория листа 0-50-XXX расположена в бассейне р. Делны и занимает часть водораздельного пространства рек Чары, Витима, Оленги. Бассейны р. Чары принадлежат реке Ель. Икабэк, Сакуган, Икабёкан и Куругин, Кургут-Урхт с Эвокиром, Эбох, Тарки-Урхт, Токко. К бассейну р. Витим относятся притоки р. Калар-Лалакан и Читканда. В р. Олажу впадают р. Хани с притоками Олонцо и Саку. Реки Хани, Саку, Читканда, Бог. Икабэк, Сакуган, Икабёкан, Кургут-Урхт берут свое начало в центральной части северо-восточ-

ных отрогов хр. Улокан. В пределах высокогорного массива они характеризируются каменным руслом глубиной до 1,5-2 м, порогами, водопадами и быстрым (до 3 м/сек) течением. В устьях боковых притоков и на многих участках тротоваых долин в результате современного вреза возникли каньонобразные ущелья шириной до 20-30 м и высотой до 100 м. Аналогичны по характеру долины верховий рек, дренирующих высокогорный массив в северной части района (Верховья рек Зобгалир, Зобгах, Тарн-Фрех, Токко, Ичгилгя, Кам-Канда, Олондо). При выходе в районе среднегорья либо в депрессии долины рек приобретает трилопцоподобную форму и расширяется до 2 км (реки Курунг-Фрех, Ханг, ниже оз. Чаткалда, Камкалда). Ширина дна долины этих рек от 100 до 700 м, ширина русла 40-50 м, глубина до 3 м, скорость течения до 2 м/сек. Реки относительно пониженной части района (большая часть р. Зобгах, Мурурин, частично Курунг-Фрех с Кокоринном) протекают в широких (до 3-5 км) корытообразных, пологосклонных долинах. Дна долины имеют ширину 1-1,5 км. Ширина русла достигает 40-50 м, глубина - 3 м, скорость течения - 0,5-1 м/сек. В районе имеют многочисленные озера ледникового происхождения. Наиболее крупные из них - Чаткалда (1х4 км), Кизалта (0,5х4 км) и Камкалда (0,8х3 км).

Климат района резко континентальный. По данным метеостанции, расположенной в пос. Чара, среднегодовая температура равна -8,7°C. Зима малоснежная, продолжительная (октябрь - апрель). Средняя температура января -36,1°C, минимальная - 50°C. Лето короткое (июль - август). Средняя температура июля +15,7°C; максимальная - +31,2°C. Разница средних температур в году составляет 51°C, а среднемесячных - 15°C. Среднемесячное количество осадков - 306 мм, из них 70% приходится на июль - август. Отрицательная среднегодовая температура обуславливает почти повсеместное развитие многолетней мерзлоты.

В пределах крупных речных долин преобладает умеренная листовидная тайга с кустарниковым подлеском (ерники, ботульники). В долинах, защищенных от оуровых ветров, произрастают тополь, ольха, береза, Верхняя граница леса поднимается до абс. высоты 1400-1600 м, выше располагается высокогорная тундра.

Постоянного населения в районе нет. Ближайшие населенные пункты: колхоз "Заря", расположенный в 12 км западнее района, и пос. Чара - в 60-65 км к юго-западу от него. Поселок Чара является административным центром Кагарского района. Здесь ведется постоянно действующий аэродром, принимающий самолеты типа Ил-2.

По долинам всех крупных рек района много выветренных троп. В период с 1928 по 1930 г. в бассейнах рек Оленки, Калдара и Чарн силами Всесоюзного геологоразведочного объединения (ВГРО) проводились геолого-геоморфологические исследования. Партий под руководством Е.С. Родина (1933), занимавшегося геологическими исследованиями масштаба 1:1 000 000, в верховьях рек Читканда, Ханг и Сакху впервые были выявлены и описаны возвышение (протерозойские) отложения, по р. Ханг - архейские кристаллические сланцы, по р. Сакху - массив шлочных и нефелиновых сиенитов. Чарская партия под руководством Я.В. Лавровского (1933) совершила пересечение территории по маршруту Калар - Читканда - верховья Ханг - Икабьекан - Мурурин. Возвышение (протерозойские) образованы хр. Улокан отнесены Е.В. Лавровским к улуканской свите, а кристаллические сланцы бассейна Икабьекан и Мурурин - к архею.

В 1947 г. была издана геологическая карта СССР масштаба 1:1 000 000, лист 0-50. Автор В.Г. Дитмар (1947). Губокомета-морфологические толпы, развитые на севере территории листа 0-50-XXX, отнесены им к верхнему архею, а метаморфизованные осадочные породы хр. Улокан - к свите далайских нижнего протерозоя.

С 1949 по 1952 гг. силами Леной экспедиции (Б.Е. Бурова, И.Ф. Трапезка, К.К. Денисов, В.Г. Дитмар, В.П. Полегаев и др.) проводились поисково-оценочные работы масштабов 1:100 000, 1:10 000. Геологическое руководство этих исследований осуществлял И.И. Саломов, который впоследствии разработал схему стратегий, металлотизма и тектоники Байкальской горной области (Салом, 1964, 1967). В центральной части Олекмо-Вяткинской горной страны И.И. Саломов выделены Чарская гряда архея, сложенная разнообразными гнейсами и сланцами (чарская и торская толпы). Отложения нижнего протерозоя объединены им в улуканскую серию, в составе которой выделены: икабийская, аянская, ипирская, читкандинская, александровская, бутунская, сакхунская и наминтокая свиты. Раннепротерозойские гранитоиды отнесены к кузильинскому и чуйско-коларскому комплексам.

В 1960 г. были завершены проводившиеся партией ВЛКСМ (Ботанов и др., 1960) тематические исследования рудопроизводительности, приуроченных к местным песчаным нижнего протерозоя (кв. Красный).

В 1961-1962 гг. под руководством Е.М. Фелькина (1963) проведена геологическая съемка масштаба 1:50 000, в результате которой была составлена геологическая карта листов 0-50-119 "а" и "г".

В период с 1962 по 1965 г. на территории листа 0-50-XXX геологическую съемку масштаба 1:200 000 проводила партия № 8 Аэрогеологической экспедиции № 8 ВАГТА (нач. партии М.З. Луговский, 1963-1966ф).

В 1964 г. на площади юго-восточной части листов 0-50-119 "а" и "б" силами партии № 18 экспедиции № 8 ВАГТА под руководством Д.Ф. Найденкова (1965ф) велась геологосъемочные работы масштаба 1:50 000. В результате было уточнено геологическое строение территории, ранее заснятой в масштабе 1:200 000.

Одновременно со съемочными работами на территории листа проводилась тематические исследования партиями экспедиции № 8 ВАГТА под руководством Д.С. Перфильева (1963ф, 1964ф) и В.Т. Голубова (1964ф), А.И. Музика (1966ф) и К.А. Чернявской (1967ф), которые изучали соответственно стратиграфию нижнего протерозоя, торие изотопы соответственно стратиграфии нижнего протерозоя, магнетизм, четвертичные образования и подземные воды.

С 1963 по 1965 г. в верховьях рек Хани, Саяк, Камканды и бассейне р. Оджоно Читкангиской партиями Южно-Якутской комплексной экспедиции под руководством Т.М. Сарченко (1965ф) проводились разведочные и поисковые работы масштабов 1:50 000 и 1:10 000 на мусковит. В результате этих исследований получены данные о закономерностях размещения и условий залегания петматитовых жил; конформности размещения и условий залегания петматитовых жил; их морфологии и строения, дана их промышленная оценка. Выявлены и предварительно оценены проявления бериллия и лития в петматитах.

Площадь листа 0-50-XXX покрыта аэромагнитной съемкой (см. рис. 2). Промышленная карта магнитного поля территории листа 0-50-XXX составлена в Западном геофизическом тресте в 1965 г. на основе материалов Забайкальской аэромагнитной партии (Оуслеников, 1953ф).

На смежных площадях проводились геологосъемочные работы масштаба 1:200 000. Они осуществлялись партиями экспедиции № 8 ВАГТА и Южно-Якутской комплексной экспедиции ПГУ (Шульгина, 1963ф, 1965ф; Федоровская, 1963ф, 1964ф; Немик, 1965ф; Липиничкина, 1965ф; Киселев, 1966ф). Геологическая карта листов 0-50-XXIX, XXXVI подготовлены к изданию и языка геологических траект с этими листами произведена. Северная и восточная границы листа 0-50-XXX свободны от уязвки.

В основу геологической карты ССР листа 0-50-XXX масштаба 1:200 000 положены материалы геологических съемок того же масштаба (Лужовский и др., 1963ф; 1964ф; 1965ф; 1966ф). Кроме того, были использованы материалы геологических съемок масштаба 1:50 000 (Фалькен, 1963ф; Найденков, 1965ф) и данные вы-

перечисленных тематических партий. При всех геологических исследованиях широко использовались аэрофотоснимки масштаба 1:63 000. Площадное дешифрирование позволило уточнить границы и стратиграфическую последовательность четвертичных образований, детально описать контуры развития пород уложанской серии, расшифровать элементы складчатых и разрывных структур в архее и нижнем протерозе.

## СТРАТИГРАФИЯ

Геологическое строение района представлено породами чарской серии архея, уложанской серии нижнего протерозоя, натомской серии верхнего протерозоя, а также риглины четвертичными отложениями.

### А Р Х Е Й

#### ч а р с к а я с е р и я

Породы чарской серии складчат около 30% площади района и представлены давачанской, имангской, калаканской и эвонокской сериями.

Д а в а ч а н с к а я с е р и я ( *Adc* ) облекается в небольшие разрозненные выходы по левобережью р. Икабекаж, в таве давачанской свиты выделяются гранат-олигитовые, гранат-кордиерит-олигитовые, гранат-силлиманит-олигитовые тейси и кристаллические сланцы, олигитовые, амфибол-олигитовые, олигит-амфиоловые и амфиоловые кристаллические сланцы и тейси, диопсидные амфиолиты.

В верховьях р. Пурчишкан и в бассейне р. Зобак устаналгва-етсы примерно следующий разрез давачанской свиты. В нижней части залегают гранат-кордиерит-олигитовые и гранат-силлиманит-олигитовые, гранат-олигитовые тейси с прослоями амфибол-олигитовых кристаллических сланцев. Вышина мощность 500-600 м. Выше находится пачка переслаивающихся олигитовых, амфибол-олигитовых, био-

гит-амфиболовых и амфиболовых кристаллических сланцев и гнейсов, с прослоями липоидных амфиболитов и гранат-биотитовых гнейсов. Мощность папки 600-700 м. Венаер разрез свиты папка переслаивалась гранат-биотитовых, гранат-кордиерит-биотитовых гнейсов и биотитовых, биотит-амфиболовых кристаллических сланцев и гнейсов. Мощность верхней папки, наиболее полно обнажающейся на междуречье Муррудин - Исабьекан и по р. Исабьекан, равна призматиталь-но 200-300 м. Видная мощность даччанской свиты 1300-1600 м. Этот разрез аналогичен стратиграфическому разрезу даччанской свиты в районе оз. Давачан (лист 0-50-XXXXI, Федоровский, 1964ф).

И м а н т р с к а я ( A ' g ). Порода имантроской свиты обнажается в бассейнах рек Турчикан, Эбгах, Куруп-Брак, Муррудин и Исабьекан, на междуречье Тарин-Брак-Тюкю и в бассейне р. Юс-Кюэль. Имантроская свита согласно перекрывает даччанскую свиту (междуречье Исабьекан - Муррудин) и состоит из амфиболовых, биотит-амфиболовых, биотит-амфиболовых с гипертеном, двупироксеновых гнейсов и кристаллических сланцев с прослоями амфиболитов. Свита оглечается однообразным составом и меланократовым обликом слатящих ее пород. Для нижних и верхних частей свиты (мощность около 1000 м каждая) характерно присутствие амфиболовых и биотит-амфиболовых разновидностей гнейсов и кристаллических сланцев с прослоями амфиболитов (бассейн рек Эбгах, Юс-Кюэль, Турчикан, Куруп-Брак, Исабьекан). В средней части разреза (мощность 1500-2000 м) свиты, кроме того, отмечаются биотит-амфиболовые с гипертеном и двупироксеновые кристаллические сланцы (крайний юго-восток района, р. Куруп-Брак в районе устья р. Эбгах). Предполагаемая мощность имантроской свиты 3500-4000 м.

По составу слатящихся свиты пород и по ее положению в разрезе архейских толщ района она сопоставляется со стратолитом, выделенным в бассейне р. Имантра (лист 0-50-XXXXI, Федоровский, 1964ф).

К а л а к а н с к а я ( A ' h ). Порода калаканской свиты слатяст обширные просторанства междуречья Тарин-Брак - Эбгахлир, левобережья р. Оюндю и верховьев р. Калакана. Фрагменты свиты отмечаются в "окнах" среди интрузивных образований на междуречье Оюндю-Эвонокит, в бассейнах рек Хани, Юс-Кюэля и Муррудин. Калаканская свита согласно перекрывает имантроскую свиту (бассейны рек Эбгахлир, Куруп-Брак) и предельна биотитовых, биотит-амфиболовыми (иногда с гипертеном), амфиболовыми гнейсами и кристаллическими сланцами, амфиболитами.

Стратиграфический разрез свиты восстанавливается по лезовому борту

длины р. Куруп-Брак. Здесь непосредственно на меланократовых амфиболовых кристаллических сланцах имантроской свиты залегает (снизу вверх):

1. Гнейсы биотитовые и амфибол-биотитовые с реликтами мелкозернистых прослоями амфиболитов, кристаллических сланцев . . . . . 300 м
  2. Кристаллические сланцы амфиболовые, меланократовые, массивные, иногда тонкозернистые и полосчатые . . . . . 400 "
  3. Гнейсы биотитовые с частыми, но мелкозернистыми прослоями амфиболитовых и биотит-амфиболовых гнейсов и кристаллических сланцев . . . . . 500 "
  4. Кристаллические сланцы амфиболовые, местами перекрывающие в массивные амфиболиты . . . . . 400 "
  5. Гнейсы биотитовые с реликтами мелкозернистыми прослоями амфиболитов гнейсов . . . . . 1500 "
  6. Гнейсы биотитовые магматизированные . . . . . 500 "
  7. Кристаллические сланцы амфиболовые . . . . . 250 "
  8. Гнейсы биотитовые, чередующиеся с мелкозернистыми амфиболовыми кристаллическими сланцами . . . . . 1150 "
- Мощность калаканской свиты по разрезу составляет 5000 м. В верховьях р. Калакан среди магматизированных биотитовых и амфибол-биотитовых гнейсов калаканской свиты устанавливается три горизонты меланократовых амфиболитов, амфиболовых и биотит-амфиболовых, иногда содержащих гипертен, кристаллических сланцев. Мощность этих горизонтов от 200 до 400 м. Предполагаемая мощность калаканской свиты колеблется от 3000 м на юго-востоке района до 5000 м на севере и северо-востоке территории.
- Э в о н о к и т с к а я ( A ' e v ). Порода эвонокитской свиты обнажается по обоим бортам долины р. Эвонокит, протягиваясь вдоль восточной границы района на юг. В бассейне р. Хани прослеживаются небольшие выходы и ископаемые эвонокитской свиты среди интрузивных образований. Свита согласно залегает на породах калаканской свиты (левобережье р. Хани, правобережье р. Эвонокит) и слатяется биотитовыми и амфибол-биотитовыми гнейсами с прослоями амфиболовых, магнетит-амфиболовых гнейсов и кристаллических сланцев, а также амфиболитов. В основании свиты залегает горизонт гранат-биотитовых, гранат-кордиерит-биотитовых (иногда гипертеноносных) гнейсов и гранатовых гранулитов.

Таблица I

№ п/п	Характеристика образца и место взятия	Местопределение	Возраст, млн. лет
1	Орбит из микратеридовых гнейсов калканской свиты, Устье р. Саку	Сыпцовый	3010 А. И. Тутерингов (1967)
2	То же	"	3000 А. И. Тутерингов (1967)
3	Мусковит из петматовской или, дущей амфиболовые гнейсы имантурской свиты Вершина р. Тарин-Дряк	Калий - аргонный	2935 ± 70 Л. И. Шанин (ИТЭМ)
4	То же	"	3100 З. К. Тершинг (ДЛГЭД)

## НИЖНИЙ ПРОТЕРОЗОЙ

## УЛОКАНСКАЯ СЕРИЯ

Метаморфизованные осадочные породы нижнего протерозоя относятся к улоканской серии и слоятся около 25% площади района. Элеоз впервые выделены и описаны: Икабийская, алекская, ижерская, чатканинская, александровская бутунская и сакунская свиты (Салон, 1964). Указанные свиты по общему для них особенностям состава и строения, обусловленным разлитыми условиями формирования, структурированы в полсерии: нижняя (икабийская и алекская свиты), средняя (ижерская, чатканинская, александровская и бутунская свиты) и верхняя (сакунская свита).

## Нижняя полсерия

И к а б и с к а я с в и т а. Породы свиты распространены в верховьях рек Сакун, Бог, Икабий, Икабийская, Хань, в бассейне р. Чатканина на междуречье Хань и Саку, Саку и Ю-Ювель, а также по рекам Олоццо, Тарин-Дряк, Токко и в бассейне р. Эво-

Стратиграфические разрезы эвоноктской свиты вскрыты в долине правых притоков р. Эвонокт. В устьевой части р. Ичч-лик на биотитовых и амфиболо-биотитовых гнейсах калканской свиты залегает (снизу вверх):

1. Гнейсы гранат-биотитовые, гранат-кордирит-биотитовые, бурые, плойчатые, переслаивающиеся с биотитовыми гнейсами . . . . . 200 м
2. Гнейсы биотитовые тонкопослойные . . . . . 150 м
3. Амфиболиты и амфиболовые кристаллические сланцы . . . . . 300 м
4. Гнейсы биотитовые и амфиболо-биотитовые с реликтами прослоями (до 10 м) магнетитосодержащих амфиболитов и магнетит-амфиболовых гнейсов . . . . . 700-800 м

Далее описанного разреза по р. Камканиа в основании свиты среди высокоглиноземистых гнейсов отмечается прослой гранатовых гранулитов, а на биотитовых гнейсах верхней пачки залегает горизонт амфиболитов и амфиболовых кристаллических сланцев мощностью около 300 м. Мощность горизонтов гранатосодержащих гнейсов, мармуровидного основания эвоноктской свиты, возрастает с севера на юг от 200 м (устье р. Иччлик) до 600 м (правое и левобережье р. Хань, бассейн р. Агтуаль), где в его составе отмечается типертенсодержащие гранат-кордирит-биотитовые гнейсы. Видимая мощность эвоноктской свиты 2500 м.

В целом порода чарской архея метаморфизованы в условиях амфиболитовой и гранулитовой фазы. По минеральным парагенезисам выделяются две группы пород. Первая группа - породы богатые известью, характерны для паратенезиса: амфибол + биотит + андезит, амфибол + диорит, типерстен + амфибол + биотит и т. д. Вторая группа - породы богатые глиноземом и относительно бедные известью с паратенезисами гранат + кордирит + биотит + типерстен, гранат + силиманит + биотит, гранат + кордирит + биотит.

Верхняя возрастная граница метаморфизованных пород чарской серии определяется тем, что они стратиграфически несогласно перекрываются нижнепротерозойскими образцовыми улоканской серии (эти соотношения будут рассмотрены ниже). Архейский возраст чарской серии подтверждается данными радиологического определения возраста, которые приведены в табл. I.

ножит. Икабейская свита подразделяется на две подсвиты, стратиграфические разрезы которых изучены соответственно в верховьях р. Яд. Икабей и по р. Дельгута.

Нижняя подсвита (Et<sub>1</sub> h<sub>1</sub>) икабейской свиты состоит из фидлитов, слоистизированных песчанников и алевролитов, кварц-сланцевых и доломитовых сланцев с трахитом, кордиеритом, андалузитом, силлиманитом, мрамором, жемчуга о актинолитом, тремолитом и диопсидом, кварцитами, кварцевыми конгломератами, паразитическими и редкие медистых песчанников.

Выделяя самой нижней частью упомянутой свиты, икабейская свита поделена на три части с архейскими образцовыми и раннепротерозойскими гранито-гнейсами либо по тектоническим контактам (реки Олонго, Токко, Тарин-Друн, Эвономит, верховья Икабейки и Читканди, между ручья Читкакиа - Камынага, верховья р. Ло-Кюль), либо имеет выделенные отдельные соотношения с гранитизированными породами в зонах интенсивной раннепротерозойской трансформации архейского цикла (Междуречье Тани - Сакту, верховья рек До-Кюль и Сакту). Икабейская свита, вероятно, ложилась на архейские толщи с разрывом; в одном случае она находится в непосредственном контакте с гранитизированными породами калаканской свиты архей (Междуречье Хани и Сакту, верховья рек Сакту и Ло-Кюль); в другом случае (бассейн р. Хани у восточной границы района) с гранитизированными породами эвономитской свиты.

В основании икабейской свиты выделяется торизонт, состоящий из переслаиванных кварцитов, глиноземистых сланцев и метаморфизованных известняков. Мощность базального торизонта от 1,75 до 105 м.

В районе перевала Бол. Икабей - Икабейск устанавливается следующий разрез базального торизонта икабейской свиты (контакты с раннепротерозойскими гранито-гнейсами и мигматитами, разбитыми по архейским гнейсам - тектонический) (снизу вверх):

1. Серпент-кварцевые сланцы . . . . . 20 м
  2. Кварциты серые . . . . . 5 "
  3. Мраморы, переходящие в кальцит-диопсидовые породы . . . . . 15 "
  4. Переслаивавшиеся (0,1-0,2 м) слюдистые кварциты и кальцит-диопсид-актинолитовые породы . . . . . 10 "
  5. Кальцит-актинолитовые и кальцит-тремолитовые породы . . . . . 5 "
- Общая вышняя мощность 55 м.

Восточнее (в верховьях р. Икабейск) мощность этого торизонта возрастает до 105 м; здесь отмечаются (снизу вверх):

1. Кварциты и кварцитовидные породы, в верховьях слагившиеся метаморфизованными конгломератами, с рассеянными галькой кварца размером 1-5 см . . . . . 25 м
2. Андалузит-кварцевые породы . . . . . 10 "
3. Черепованье (1,0 м) серых мраморов и кальцит-диопсид-актинолитовых пород . . . . . 30 "
4. Переслаивавшиеся (0,5-1 м) слюдистые кварциты и актинолит-кварцевые породы . . . . . 40 "

В бассейне р. Читканди в II-мечуровом базальном торизонте икабейской свиты, контактирующем с метасоматическими осадочными раннепротерозойскими гранитами, отмечаются:

1. Диопсид-тремолитовая порода микролитовзрванная . . . . . 2,5 м
2. Мрамор диопсидокордиеритовый . . . . . 5 "
3. Кварц-актинолит-диопсидовая порода . . . . . 2 "
4. Кварциты серые . . . . . 1,5 "

Соотношение между упомянутым базальным торизонтом икабейской свиты и вышележащим полочечным метасоматическим торизонтом здесь несомненное. Это объясняется тем, что последние разбивались по архейскому ступенчатому, угловатому направлению древней зоны катклага. Породы икабейской свиты выклинываются вкратце и опираются на себе лишь контактовые возвышения, характерные для роландизации кварцитов и окварцованных мраморов.

В бассейне р. Ло-Кюль в основании икабейской свиты, с выделением переслаивавшейся гранитизированные породы калаканской свиты архей, прослеживаются (снизу вверх):

1. Кварциты слюдистые . . . . . 0,6 м
2. Толстое переслаивание слюдистых кварцитов и окварцованных мраморов . . . . . 0,8 "
3. Кварциты . . . . . 0,3 "
4. Мрамор окварцованный (линзовидно-слоистые кварц-диопсид-микросиликоновые породы) . . . . . 1,0 "
5. Кварциты . . . . . 0,6 "
6. Сланцы кварц-кордиерит-слоистые . . . . . 1,0 "
7. Мрамор окварцованный . . . . . 0,2 "
8. Сланцы кварц-кордиерит-слоистые . . . . . 2,0 "

9. Тонкое переслаивание (0,1-0,2 м) кварцовых и кордиерит-биотитовых сланцев . . . . . 5,0 м  
Общая мощность II,5 м

К северу от описанного разреза в бассейне р. Саку на транзитированных породах, развитых по каляканской свите архей, с выделением согласно залегает пачка пород мощностью от 1,75 до 8 м (снизу вверх):

1. Кварциты и кварц-биотитовые сланцы . . . . . 5,0-0,25 м
2. Липсид-тремолитовая порода . . . . . 1,0-0,50 "
3. Кварциты, переслаивающиеся с мраморами . . . . . 2,0-1,0 "

Отмечается изменение состава базальных слоев каюбейской свиты с дна на север с возрастанием в этом направлении роли кварцитов и исчезновением карбонатных пород. Так, в основании каюбейской свиты, вскрывающейся в долине первого левого притока р. Саку, карбонатные породы не установлены. Здесь с транзитированными породами, развитыми по каляканской свите архей, согласно сопрягаются 300-400-метровая пачка кварц-биотитовых и кварц-двуслидных сланцев, содержащих от одного до трех 40-50-метровых прослоев светло-серых кварцитов. Еще севернее для нижней половины каюбейской свиты, сохраняющейся в узких линейных трасах (реки Олондо, Тарын-Юрак, Токо, Звонкинг), характерно присутствие в основании разреза двух 15-70-метровых горизонтов белых и серых мономинальных и олигистых кварцитов, разделенных пачкой кварц-биотитов, двуслидных сланцев с гранатом и ставролитом. Мощность этой пачки изменяется от 40 до 220 м. Выделяем мощности базального горизонта каюбейской свиты обусловлены, вероятно, раннепротерозойской транзитацией, заквашившей, наряду с архейскими, частично и породы основания каюбейской свиты. В случае, когда базальный горизонт полностью транзитируется, выделяется установить лишь реликты (окалинты) кварцитов и карбонатных пород в гранито-тневсах (верховья р. Икабежан, бассейн р. Уани). В основном же транзитация не заквашивает каюбейскую свиту, как бы экранируется ею. В юго-западной части района (реки Сакукан, Вод. Икабья, Икабежан, Чуккандя) выше базального горизонта залегает однообразная и монотонная толща кварц-биотитовых и двуслидных сланцев, часто содержащих гранат, кордиерит, андалузит и силлиманит. Отмечается прослой и горизонты (до 250 м) биотитизированных песчаников и алевролитов. В верхах нижней половины каюбейской свиты присутствуют фидлиты, тонкопереслаивающиеся с кварц-олигистыми сланцами, и единичные прослой мелистых песчаников (верховья р. Уани). Несколько иной состав нижней половины каюбейской свиты отмечается

ся на севере района. Здесь, в пределах трасовых выше второго горизонта кварцитов базальной пачки залегает, как правило, биотитизированные песчаники и парамагнетиты.

Мощность нижней половины каюбейской свиты 1000 м.

Верхняя половина (P<sub>1</sub>, P<sub>2</sub>) каюбейской свиты согласно залегает на нижней половине и состоит из биотитизированных алевролитов и песчаников, двуслидных и кварц-биотитовых сланцев, прослоев кварц-доломитовых пород с актинолитом и гранатом кварц-повидных и карбонатных песчаников. В верхах отмечаются небольшие прослой и линзы мелкозернистых конгломератов с кварцевой пачкой, травертинов и мелистых песчаников.

В бассейне р. Жалтуга (левый приток р. Чуккандя) вскрывается наиболее полный разрез этой части каюбейской свиты (снизу вверх):

1. Переслаивающаяся олигистые сланцы, алевролиты и алевропесчаники . . . . . 600 м
2. Песчаники мелкозернистые . . . . . 10 "
3. Песчаники олигистые . . . . . 10 "
4. Песчаники мелкозернистые с тонкими прослоями карбонатных пород . . . . . 10 "
5. Слитистые сланцы . . . . . 70 "
6. Песчаники грубо- и неравнозернистые и кварцевые травертины . . . . . 50 "
7. Песчаники кварцтовидные и песчаники карбонатным цементом . . . . . 40 "
8. Переслаивающиеся алевролиты и алевропесчаники . . . . . 200 "
9. Сланцы биотитовые, иногда со ставролитом, перитизированные . . . . . 110 "

Общая мощность 1100 м.

Выше по разрезу отмечаются линзы и прослой метаморфизованных кварцевых конгломератов и травертинов, залегающих среди биотитизированных песчаников и биотитовых сланцев. Верхняя половина каюбейской свиты отличается фидлитской непереслаиваемостью, выходящейся в выклинивание по прослаиванию травертинов, конгломератов, кварцтовидных песчаников, переслоях песчаников в алевролитах, в основании и исчезновении метаморфизованных мелкозернистых прослоев карбонатных пород (кварц-актинолит-гранит-кальцитовые породы). Мощность верхней половины каюбейской свиты изменяется от 800 до 1500 м.

А н н о с к а я с в и т а ( $Pt_1, n$ ) развита в верховьях р. Сакукан, Бол. Икабья и в бассейне р. Читкаца. Аляская свита связана с известнякой свитой постеленными переходными и сложенными конгломератами метаморфизованными алевролитами, алевропесчаниками, окотитизированными песчаниками, иногда мелкими песчаниками, слюдястыми сланцами, окотит-кварцевыми и кварц-окотитовыми сланцами с гранатом.

В районе большой излучины р. Сакукан около ур. Ани ("Большая нагель") вырывается стратотипический разрез аляскай свиты (снизу вверх):

1. Тонкое переслаивание (от 0,5 до 5-7 см) песчаников мелкозернистых, окотитизированных, олигомитовых и полимитовых, алевродевичных, алевролитов со слюдястыми сланцами - серцит-окотит-кварцевыми, окотит-серцитовыми, кварц-хлорит-окотит-серцитовыми и кварц-окотитовыми сланцами с гранатом . . . . . 400-500 м
  2. Тонкое переслаивание алевролитов и алевропесчаников окотитизированных, серых и черных . . . . . 480 "
  3. Алевролиты окотитизированные, черные . . . . . 470 "
  4. Тонкое переслаивание алевролитов и алевропесчаников, тонкозернистых песчаников полимитовых, окотитизированных . . . . . 350 "
- Маломощный пласт (0,5 м) мелистых песчаников отмечается в верхах свиты (междуречье Бол. Икабья - Сакукан).
- Состав аляскай свиты выдержан по всей площади, а ее мощность равна 1800-1900 м.

С р е д н я я п о д е р ж и

И н н р о с к а я с в и т а ( $Pt_1, n$ ) развита в бассейнах рек Сакукан, Бол. Икабья, Читкаца. Она согласно перекрывает аляскай свиту и представляется метаморфизованными песчаниками олигомитовыми, известковистыми алевролитами с прослойками кварц-пигментных песчаников. Наиболее типичный разрез аляскай свиты наблюдается в бассейне р. Читкаца (снизу вверх):

1. Переслаивание (1-1,5 м) песчаников мелкозернистых, серых, буровато-серых и алевролитов массивных, темно-серых . . . . . 16 м

2. Алевролиты массивные, серые . . . . . 20 м
3. Переслаивание (1-1,5 м) песчаники мелкозернистые и алевролиты массивные, темно-серые . . . . . 64 "
4. Песчаники крупнозернистые, буровато-серые и серые, массивные, часто неслоистые . . . . . 40 "
5. Переслаивание (0,5-1,0 м) песчаники средне- и мелкозернистые . . . . . 60 "
6. Переслаивание (0,5-1,5 м) песчаников мелкозернистых и алевролитов массивных, темно-серых . . . . . 90 "
7. Песчаники серые, среднезернистые, массивные, прослой (0,3-0,4 м) алевролитов . . . . . 30 "
8. Алевролиты темно-серые . . . . . 10 "
9. Песчаники мелкозернистые, массивные, буровато-серые . . . . . 10 "

Общая мощность 340 м.

Характерной особенностью аляскай свиты является наличие розеткообразных песчаников (слои толщиной до 1,0-1,5 м). В песчаных верхах части свиты нередко отмечается волнообразный состав свиты в целом постоянный на всей площади ее развития, а мощность колеблется от 300 до 500 м.

Ч и т к а ц а с в и т а ( $Pt_1, n$ ) широко развита в бассейнах рек Читкаца и Бол. Икабья. Она согласно залегает на аляскай свите, связана с ней постеленными переходными и представляется метаморфизованными песчаниками олигомитовыми и полимитовыми, иногда кварцитовыми, известковистыми и железистыми песчаниками, алевролитами, мелистыми песчаниками.

В нижней части читкацкой свиты отмечается нарядельно, редко коралловидные, серые и зеленовато-серые, мелкозернистые, но известковые и олигомитовые, иногда известковистые, песчаники со значимым рифом, который получен прослой и небольшие участки темно-серых алевролитов. Мощность этой части свиты 300-600 м.

Средняя часть свиты мощностью 370-600 м состоит из переслаивания серых, темно-серых, мелкозернистых, полимитовых, реже карбонатных и розовато-серых, кварцитовидных песчаников с хорошо выраженной слоистостью и со значимым рифом, который получен прослой темно-серых алевролитов. В верхах и основании горизонты мелистых песчаников.

Верхняя часть свиты сложена розоватыми, светло-серыми, мелкозернистыми, кварцитовидными и олигомитовыми песчаниками с подчиненными прослойками серых, известковистых и полимитовых песчаников и темно-серых алевролитов и железистых (магнетитовых)

песчанников. В верхах редкие невидимые пластины медистых песчанников. Сложность пород отчетлива, отмечается многочисленными волновыми руды и руды течения, редко - косяк слоистость. Мощность верхней части свиты 180-350 м.

Мощность всей чукоткинской свиты изменяется от 850 до 1550 м. Минимальные мощности отмечаются на междуречье Бол. Икабды и Сакукана, а также в районе левого берега р. Чуканда. Мощность свиты закономерно возрастает к юго-востоку и северо-западу от указанных площадей.

А л е к с а н д р о в с к а я о в е т в а (  $Pt_1^{a,b}$  ) развита на междуречье Чуканда - Бол. Икабды и Бол. Икабды - Сакукан. Она органоно перекрывает чукоткинский свиту и сложена тересленвардскими метаморфизованными алевролитами, флинтами, песчаниками олигомитовыми и известковистыми, известняками, кварцитами, мелистыми песчаниками и алевролитами. Один из наиболее типичных разрезов Александровской свиты выклинивается в верховьях кл. Горки (левый приток р. Бол. Икабды) (снизу вверх):

1. Алевролиты массивные, темно-серые . . . . . 42 м
2. Песчаники мелкозернистые, переслаивающиеся с алевролитами . . . . . 38 "
3. Алевролиты и мелкозернистые песчаники, зеленоватые-серые с примесками желухта . . . . . 5,0 "
4. Песчаники карбонатные, мелкозернистые и алевролиты . . . . . 4,0 "
5. Алевролиты известковистые . . . . . 13,0 "
6. Песчаники серые, мелкозернистые . . . . . 10,5 "
7. Переслаивающиеся алевролиты темно-серые и серые, мелкозернистые песчаники . . . . . 8,0 "
8. Переслаивающиеся песчаники массивные, серые и песчаники известковистые, зеленоватые-серые . . . . . 25,5 "
9. Переслаивающиеся алевролиты темно-серые и песчаники серые, мелкозернистые . . . . . 6,0 "
10. Алевролиты серые, известковистые, массивные . . . . . 20,0 "
11. Переслаивающиеся песчаники зеленоватые-серые, известковистые, известняки и алевролиты . . . . . 20,0 "
12. Песчаники розовые, мелкозернистые . . . . . 25,5 "
13. Песчаники серые, мелкозернистые . . . . . 12,5 "
14. Песчаники кварцитоносные . . . . . 6,0 "
15. Песчаники серые, известковистые . . . . . 13,0 "
16. Песчаники серые, известковистые, переслаивающиеся с алевролитами . . . . . 30,0 "

17. Переслаивающиеся песчаники серые, мелкозернистые, известковистые с доломитовыми известняками и алевролитами . . . . . 18,0 м

Выше разрез Александровской свиты 20-40-метровый горизонт белых и розовато-белых кварцитов, иногда выклинивающийся в кварц-альбитовую породу. Мощность свиты по разрезу 327-347 м.

Маломощные (0,8-1,5 м), иногда достаточно протяженные (до 7 км) пластины медистых песчанников и алевролитов приурочены к низам свиты (50-70 м от основания) либо к ее верхам (45-60 м от кровли). Меденосные горизонты известны в бассейнах рек Бол. Икабды и Чуканда.

Типичным для песчанников и алевролитов Александровской свиты является обилие знаков руды и трещин усадки. Состав пород и характер их чередования выдержаны на всей площади разветвленной свиты. Мощность свиты 160 м (междуречье Бол. Икабды - Сакукан) - 360 м (междуречье Бол. Икабды - Чуканда).

Б у т у н с к а я о в е т в а (  $Pt_1^{b}$  ) согласно перекрывает александровскую свиту и развита на тех же площадях. В ее составе отмечаются метаморфизованные алевролиты и песчаники, часто известковистые, доломитизированные и метаморфизованные известняки, строматолитовые известняки и доломиты, конгломераты-брекчии.

Разрез свиты на водоразделе кл. Икар и Красногорского на междуречье Бол. Икабды - Сакукан следующий (снизу вверх):

1. Алевролиты глиново-серые, неслоистые, массивные, иногда известковистые и песчаники тонкозернистые с выклинивающимся гематитом . . . . . 270 м
2. Нижний горизонт доломитов. Доломиты и доломитовые известняки светло-серые, на выветрелой поверхности красно-бурые или кремово-желтые с листовидно сохранившимися остатками строматолитов . . . . . 90 "
3. Брекчия с обломками алевролитов и доломитовых известняков, спелектитованных алевролитов с гематитовой слюдой . . . . . 50 "
4. Алевролиты глиново-серые, массивные, известковистые . . . . . 220 "
5. Верхний горизонт доломитов. Доломиты и доломитовые известняки, выветрившиеся на известняк, но без строматолитов . . . . . 150 "

6. Алевролиты и тонкозернистые песчаники, аналогичные нижеописанным . . . . . 150 м

Общая мощность 930 м.

На юго-востоке площади распространены микропротерозойских толщ в бассейне р.Талыкан Е.М.Фалькиным (1963г) описан аномальный разрез бутунской свиты, но с несколько другими мощностью.

Так, нижний горизонт алевролитов и тонкозернистых песчанников имеет здесь мощность 200 м; промежуточный с брекчией - 70 м, в верхний - 75 м. Нижний и верхний горизонты доломитов имеют мощность соответственно 190 и 115 м, причем в верхнем горизонте найдены остатки строматолитов. Общая мощность свиты здесь равна 650 м. Характерной особенностью бутунской свиты является наличие двух горизонтов доломитов мощностью от 20 до 200 м, которые имеют важное значение для выявления несогласия и чередования между вышележащей сакуканской свитой и нижеописанными свитами удюкянской свиты.

Как уже указывалось выше, в карбонатных породах бутунской свиты сохранились остатки строматолитных построек. Образцы с хорошей сохранным обнаружены Ю.С.Перфильевым (1963г) и Е.М.Фалькиным (1963г) в бассейне кл.Бутун и р.Талыкан. По определению И.К.Королик, эти постройки представляют триады группаж строматолитов: *Sporodontia bagganaicus Korol.*, *Sporodontia frequens Walcott*, *Stratosporolithon*.

Мощность бутунской свиты изменяется от 250 до 950 м, что связано, так же как и вышеописанные в некоторых местах Верхнего Горнозонта доломитов, скорее всего, с размытой частью бутунской свиты, которая несогласно перекрывается сакуканской свитой.

#### Верхняя подсерия

С а к у к а н с к а я с в и т а. Породы этой свиты занимают площадь между речья Талыкан - Бол.Икадыя - Чаткандя. На территории дельты между речья Талыкан - Бол.Икадыя и водораздела дельты сакуканской свиты представлена первая, вторая и третья подсерии (из пяти подовит, известных в Колпоро-Удюкянской районе). Кроме того, выделены небольшие площади разветки пород, отнесенных к неразличимой сакуканской свите.

Первая подсерия (Рt<sub>1</sub>, К<sub>1</sub>) сакуканской свиты сложена метаморфизованными песчаниками олигомиктовые и подмиктовые, часто известковатыми, железистыми песчаниками. Отмечаются прослоки

алевролитов, аргиллитов, мелистых песчаников, грубозернистых песчаников, гравелитов, конгломератов, конгломерато-брекчией. Сакуканская свита с размытом, в местах с угловым несогласием налегает на нижеописанные свиты удюкянской свиты. Так, в бассейне р.Сред.Талыкан, в районе высоты 2009,4 м и в 2 км к юго-востоку от высоты 2096,6 м, породы сакуканской свиты налегают на разветку и поверхность верхнего горизонта доломитов бутунской свиты.

На поверхности доломитов отмечаются многочисленные "кайманы", выполненные осадочной брекчией, состоящей из осколков доломитов, розовых песчаников (типичных для чаткандянской свиты) и алевролитов, сложенных адуванских песчано-карибонатных цементом. Далее следует переделанные гравелитов, иногда содержащих осколки фиделитовых аргиллитов, с песчаниками и конгломератами сакуканской свиты налегают на ледовато-серые известковистые алевролиты более верхних частей бутунской свиты; затем (в верховьях р.Сред.Талыкан) породы сакуканской свиты налегают на известковистые алевролиты, занимающие промежуточное положение в разрезе бутунской свиты между верхним и нижним горизонтами доломитов. В основании сакуканской свиты по правобережью верхнего течения р.Сред.Талыкан отмечаются гравелиты и мелкозернистые конгломераты с осколками бутунских доломитов и с галькой розовых кварцевидных песчаников, встречающихся в чаткандянской свите. К юго-востоку от описанного контакта, на водоразделе р.Сред.Талыкан и Чаткандя, в районе высоты 2002,9 м, дождевые свиты налегают на бутунскую, алеврандров-сакуканскую свиты несогласно налегают на бутунскую, алеврандров-олуд и чаткандяскую, породы которых падают на юго-запад (210-215°) под углом 60-80°, в породе сакуканской свиты - на северо-запад (280-320°) под углом 50-30°. Удуболеня, "кайманы" и западные районы поверхности выполняют конгломерато-брекчия, выше которых следует 5-10-метровый горизонт мелкогалечных конгломератов и гравелитов с галькой и гравелем подстилающих пород: розовых кварцевидных песчаников, черных алевролитов, иногда карбонатных песчаников, темно-серых и черных алевролитов и фиделитов аргиллитов.

В верховьях р.Талыкан и в долинах левых притоков р.Талыкан песчаники и алевролиты сакуканской свиты с мелкогалечными конгломератами и гравелитами в основании залегают с разрыв угловым несогласием, почти горизонтально или слабо наклонно (5-10°) на доломиты и гравелиты осадочных карбонатных алевролитов бутунской свиты, которые имеют широкое простирание и крутые углы падения (до 70-80°); они интенсивно катаклазмированы, мелкоизмельчены.

вплотняющиеся и окварцованы. Местами развиты брекчия и конгломерато-брекчия с карбонатным цементом. Породы сакукянской свиты не несут каких-либо существенных изменений, связанных с разломом, и характерных для дислоцированных образований нижежающей бутунской свиты. К северо-западу от верховьев р. Талаякан, на водоразделе Талаякан - Горки сакукянская свита с угловым несогласием залегает на бутунской свите. Здесь доломиты бутунской свиты образуют синклиналидную складку с азимутом падения пород 0-20°, углом 50° на юго-восточном фланге, и азимутом падения 100°, углом 45° на северном фланге ступенчатой. Песчанники сакукянской свиты с травертинами и мелкогалечными конгломератами в основании, несогласно перекрытые доломиты бутунской свиты, имеют азимут падения 160°, угол 45°. К северу на водоразделе также отчетливо наблюдается угловое несогласие между указанными свитами (аз. падения гор. род сакукянской свиты - 0-20°, угол 30-30° и 50-40°, угол 20°; аз. падения пород бутунской свиты непосредственно у линии контакта 110°, угол 45°) и песчанников сакукянской свиты (падения на север - 0-20°, угол - 20-30°) хорошо видны в стенке кара, образованной в сторону р. Камуствак. В верховьях р. Стрей, Талаякан и кл. Бутун в непосредственном контакте сакукянской и бутунской свит углового несогласия не наблюдается, хотя следы явного разрыва имеются.

Типичный разрез базальтного горизонта нижней подосвиты сакукянской свиты, залегающего на карбонатных алевролитах бутунской свиты в верховьях кл. Бутун, следующий (снизу вверх):

1. Конгломерато-брекчия: обломки доломитов, песчанников, алевролитов в песчано-кварцоватном цементе . . . . .	10,0 м
2. Песчанники массивные, карбонатные . . . . .	12,0 "
3. Травертины и мелкогалечные конгломераты с мелкой плохо окатанной галькой (до 1,5 см) доломитов и алевролитов . . . . .	5,0 "
4. Песчанники мелкозернистые, массивные . . . . .	1,0 "
5. Песчанники среднезернистые с прослойками травертин . . . . .	1,0 "
6. Травертины с обломками алевролитов . . . . .	1,0 "
7. Переслаивание травертин, средне- и мелкозернистых песчанников . . . . .	5,0 "

Общая мощность 35,0 м.  
Мощность базальтного горизонта для различных частей района колеблется от 35 до 5 м.

Выше базальтного горизонта залегает пачка переслаивающихся песчанников полимиктовых, серых, мелкозернистых и темных, почти черных алевролитов. Мощность этой пачки колеблется от 450 до 300 м. Далее следует пачка полимиктовых и олигомиктовых песчанников, розовато-серых, мелкозернистых, иногда известковистых, с тонкими прослойками магнетита. Ее мощность достигает 150 м. Завершает разрез первой подосвиты сакукянской свиты 800-метровая пачка, сложенная олигомиктовыми и полимиктовыми песчанниками, розовато-серыми, иногда слабоизвестковистыми, с редкими прослойками темно-серых алевролитов. На левобережье верховьев р. Амударья (крайний юго-запад района) в составе первой подосвиты отмечается мелкопшый, остро выклинивающийся горизонт медистых песчанников. Мощность первой подосвиты сакукянской свиты 1150-1300 м.

*Вторая подосвита (Рт<sub>1</sub>, № 2).* В составе этой подосвиты выделяется метаморфизованные песчанники, олигомиктовые и полимиктовые, железистые песчанники, алевролиты. Песчанники имеют серую и розовато-серую окраску; в основном мелкозернистые. Второй подосвиты сакукянской свиты характеризуются наличием железистых (магнетит- и маргитсодержащих песчанников). Очень тонкие итервальные прослойки магнетита и маргита иногда достигают I см мощности. В верхах подосвиты и ее основания отмечаются коассоциативные песчанники, в средней части выделяется 350-метровая пачка песчанников с прослойками темно-серых алевролитов. Мощность второй подосвиты сакукянской свиты равна 700-1200 м.

*Третья подосвита (Рт<sub>1</sub>, № 3)* сложена метаморфизованными песчанниками, олигомиктовыми и полимиктовыми, кварцитоидными и известковистыми, песчанниками железистыми (маргит- и магнетитсодержащими) и песчанниками с редкой галькой, отмечаются линзы и прослои алевролитов. Песчанники этой подосвиты отличаются серым цветом, средне- и крупнозернистым строением, повсеместным развитием магнетит- и маргитсодержащих разностей (прослойки до 2-3 см), часто косою слоистостью. В основании подосвиты залегает маркирующийся горизонт песчанников с очень редкой, хорошо окатанной галькой (до 5 см), чуждых данному району флюидогенных олюфиров, яши, кварцитов, кварца и гранитоидов. Этот горизонт имеет мощность около 80-100 м и прослежен на всем протяжении основания третьей подосвиты. В верхах подосвиты отмечаются 150-200-метровая пачка песчанников, содержащих линзы и прослои черных алевролитов. Мощность третьей подосвиты сакукянской свиты равна 1500-1600 м.

С а к у к а н с к а я с в и т а н е р а с о ч д е -  
 н а н а н (Рт<sub>1</sub>  $\frac{1}{2}$ ?). В массивах раннепротерозойских гранит-  
 толов чукско-коларского комплекса, расположенных среди архейских  
 метаморфических образований в бассейне рек Иабыркан и Хани, от-  
 мечается большое количество конглоатов метаморфизованных пород  
 удюканской серии. Наиболее крупные из них представляют собой, ве-  
 роятно, провалы кровли и сложенные метаморфизованными серыми, сред-  
 не- и мелкозернистыми, кварцитоидными, иногда железистыми пес-  
 чаниками, сходными с песчаниками второй и третьей подгруппы саку-  
 канской свиты. Учитывая это сходство, упомянутые песчаники отне-  
 сены условно к сакуканской свите. Плотный выхоллов нерасчлененной  
 сакуканской свиты расположен за пределами современного тундра  
 прогиба, выполненного породами удюканской серии, поэтому можно  
 предположить более широкое развитие сакуканской свиты в прошлом  
 и ее трансгрессивное выделение не только на более древние свиты  
 удюканской серии, но и на архейские образования.

Наивысший метаморфизм в удюканской серии претерпели осадоч-  
 ные породы кварцевой свиты, преобразованные в равнооситовые сланцы,  
 для которых характерны следующие основные парагенетические мине-  
 ральные ассоциации: биокит + кварц + (альбит-олитонказ); био-  
 кит + музонит + кварц + (альбит-олитонказ); биокит + музонит +  
 кит + трамант + кварц + (альбит-олитонказ); биокит + трамант +  
 слеммент; биокит + трамант + кордиерит. Метаморфизм первой  
 группы пород соответствует высокотемпературным субфациям зелено-  
 сланцевой фации, а второй - эликот-эмфиболитовой фации метаморфиз-  
 ма. Степень метаморфизма пород удюканской серии постепенно зату-  
 хает к вершиям разреза, где породы метаморфизованы в низших сту-  
 пнях зеленосланцевой фации. Таким образом, метаморфизм пород  
 удюканской серии в целом значительно ниже, чем архейской чарской  
 серии, и связан как с региональными процессами (глубина, давль-  
 ное, температура), так и с контактово-метасоматическими возде-  
 ствиями раннепротерозойских гранито-гнейсов кварцитоидного комплек-  
 са на пороги основания удюканской серии.

Нижепротерозойский возраст удюканской серии доказывается  
 тем, что она со структурофациальными перепадами залегает на архей-  
 ских кристаллических образованиях, отличающихся от них меньшим ме-  
 таморфизмом. По отношению к структурам архей структуры нижнего  
 протерозоя характеризуются иными планом и стилем складчатости. К  
 протерозоя с различным и угловым несоответствием перегибает сакукан-  
 скую свиту, что и определяет верхний возрастную границу удюкан-  
 ской серии на хр. Удокан (Федоровский, 1963Ф). Нижепротерозойский

возраст удюканской серии подтверждается данными радиологическо-  
 го определения возраста, которые сведены в табл. 2.

Таблица 2

№ п/п	Характеристика образца и место взятия	Метод опреде- ления	Возраст, млн. лет
1	Биокит из слюдяных слан- цев кварцевой свиты, Верховья р. Вол. Иабыр	Калие- аргоновый	1940 В.М. Комарова, ВАИТ
2	То же. Между речью Хани - Саку	"	1866 В.М. Комарова, ВАИТ
3	Браннерит из песчаников	Свинцовый	1950 И.В. Мещин, ИГУ

Цифры радиологического возраста отвечают, вероятно, не  
 времени sedimentации пород удюканской серии, а их метаморфизму,  
 связанному с раннепротерозойской гранитизацией и частично с инд-  
 реином раннепротерозойских гранитоидов чукско-коларского комплек-  
 са. Эти процессы охватывают интервал времени от 2330 до 2000 млн.  
 лет (данные определения возраста раннепротерозойских интрузий  
 приведены ниже).

### В Е Р Х Н И Й П Р О Т Е Р О З О Й

#### П а т о м о к а я с е р и я

##### Средняя подсерия

С е н ь с к а я с в и т а (Рт<sub>3</sub>  $\frac{1}{2}$ ). Вернепротерозой-  
 ские образования сеньской свиты занимают незначительные площади в  
 верховьях р. Амудыя (крайней юго-запад района), где залегает в  
 двух небольших несогласованных тектонических блоках. Они представ-  
 лены серыми, мелко-серыми доломитами, иногда с прослоями и вклю-  
 чениями известняков; кварцевыми, аркозовыми и полужелезистыми песчани-  
 ками, алевролитами, гравелитами, конгломератами. В 300-400 метрах  
 к западу от границ района сеньской свиты с различным залегает на  
 выветрелой поверхности раннепротерозойских гранитов чукско-колар-

ского комплекса. Нижняя часть сеньской свиты с кварцевыми конгломератами и гравелинами в основании представляется переслаиванием буроватых, серых и зеленовато-серых, часто коколоскопных песчаников и зеленовато-серых алевролитов. Мощность 37 м. Верхняя часть разреза существенно карбонатная и ее мощность - 52 м. Базальная мощность сеньской свиты 89 м. Часть доломитов сеньской свиты содержит остатки водорослей (катаграфиды), которые определены И.К.Кородем как *Vesiculolites flexuosus Reite*. По составу и характеру разреза описанные отложения сопоставляются с сеньской свитой, распространяющейся в бассейне среднего течения р.Цары (Перфильев, 1963б). Эта свита относится к верхнему протерозою и для нее характерны те же формы катаграфиды, которые, по данным Э.А.Курьявовой (1963б), типичны для среднего комплекса рифей (Верхнего протерозоя). Непосредственно ниже терригорды лежит 0-30-XXX сеньская свита с размытым перекрывается в южской и пестроцветной свиты нижнего кембрия (Федоровской, 1963б).

#### ЧЕТВЕРТИЧНАЯ СИСТЕМА

Четвертичные отложения занимают около 20% площади района. Среди них выделяются среднечетвертичные, верхнечетвертичные и современные отложения.

#### Среднечетвертичные отложения (Q<sub>1т</sub>)

Описываемые отложения представлены ледниковыми валунными суплинками и супесками и водно-ледниковыми валунными, галечными, песчаными и гравелинами и складывают обширную площадь моренного покрова в бассейне рек Зюратер, Олондо, Разлики Среднечетвертичной морены сохранились в верховьях рек Иччилик, Камында, Атугай, Казакан и в других широких тропях рек Читканда, Амулка и Талыкан. Ледниковые валунные суплики состоят из валунов (2-5 см, редко до 50 см) и мелкой щебенки, количество котловых непостоянно (2-22%). Окатанность мелкообломочного метабазита слабей (коэффициент окатанности 26, реже 30). В составе обломков преобладают местные породы. Количество гравия и песка в валунных теле морены невелико (3-7, редко 15.). Белесо-серый мелкозём, обильнейший фракции мелкозернистого песка, алевроитов, илов и глин, составляет подавляющую часть валунитов морены (80-90%). Предполагается мощность морены 30-50 м.

Среднечетвертичные водно-ледниковые образования представлены неросуплывающей массой разлито окатанных (коэффициент 30-45) мелких валунов, гальки, гравия, на долб которых приходится 40-50% объема породы и валунитов, состоящего из крупнозернистого и мелкозернистого песка и илов. Предполагается мощность их достигает 20-30 м.

Описанные ледниковые и водно-ледниковые отложения местами залегают на допликопеновой поверхности выравнивания и перекрываются озерными супесками и песками, а также альвиальными песчаными, галечными отложениями нижней части верхнечетвертичных отложений, содержащими пыльную растительности казанцевского межледниковья (междуречье Мурулин - Курупт - Бурх, бассейн р.Зюратер). Кроме этого, в бассейнах рек Мурулин, Олондо, Камында и других местах они перекрываются верхнечетвертичными ледниковыми и водно-ледниковыми образованиями, чем определяется их среднечетвертичный возраст.

#### Верхнечетвертичные отложения

#### Нижняя часть (Q<sub>1т1</sub>)

Верхнечетвертичные отложения нижней части представлены альвиальными валунными, галечными, гравелинами, песками, супесками, а также озерными песками, супесками, глинами и торфяниками. Озерные отложения выложены небольшими овальными глыбками, реже изометричные явны, вложенные в среднечетвертичные ледниковые и водно-ледниковые отложения по правобережью р.Мурулин, на водоразделе Мурулин - Курупт - Бурх, в бассейнах рек Зюратер, Алдыкент, Олондо и Камында. Различаются две фации озерных отложений: фация проточной части, представленная мелкозернистыми песками, и фация застойного бассейна, сложенная супесками, глинами, суплинками, потребными почвами и торфяниками. Опорный разрез песков проточной части озерного бассейна выкрывается на правобережье р.Мурулин в районе нагели. Здесь, на среднечетвертичной морене залегают (снизу вверх):

1. Песок серый и темно-серый, мелкозернистый, со слоиками (1-3 м) среднечетвертичного . . . . . 1,37 м.
2. Песок тонкозернистый со слоиками крупнозернистого . . . . . 0,66 "
3. Песок мелкозернистый, глинистый . . . . . 0,28 "

4. Песок мелкозернистый со слюйками круп-

нозернистого . . . . . 0,22 м

5. Песок токо- и мелкозернистый . . . . . 0,47 "

6. Почва, супеси глинистые . . . . . 0,32 "

В бортовых песках притоков р. Мурури встречаются фрагменты антропогенного разреза мощностью 0,3-1,0 м. Озерные пески погребены за возраста (что свидетельствует о наличии двух горизонтов в нижней части верхнечетвертичных отложений) и содержат пыльную взвесь (2 зерна). Отложения vzdольной части озерного бассейна мощностью до 2 м встречаются на правобережье р. Мурури в 1,5 км ниже наледь и на междуручья Мурури - Кокори. Суглинки и супеси, слагающие 0,5-метровые олож озерных террас, разлагаются, глинистыми озерами, но изменены цвета: желто-бурого, палево-серого, темно-серого. Отмечаются также погребенные почвы с бурыми глинами, торфяники. Супеси и торфяники содержат (в %) пыльную взвесь - 55, ольхи - 41, сосны - 4, лвы - 1; на доли мхов приколется 15% от общего количества спор и пылин.

Аллювиальные образования, составляющие верхний горизонт нижней части верхнечетвертичных отложений, представляются узкой полосой вдоль долины р. Кокори и занимают небольшие площади на правобережье р. Мурури и в устье р. Зоты, представляя как средне-четвертичную морену, так и частично озерные отложения. Наиболее полный разрез аллювиальных отложений встречается в террасовидном уступе в устьевой части р. Кокори (см. рис. 1):

1. Песок коссоложский, мелкозернистый, с гравием . . . . . 3 м
2. Песок мелкозернистый, серый, с глинками . . . . . 0,25 "
3. Чередушка глина и песок . . . . . 0,15 "
4. Песок разнозернистый, светло-серый . . . . . 0,38 "
5. Валунно-галеично-песчаные отложения

(коэффициент окатанности гальки до 50) . . . . . 8,0 "

Аллювиальные отложения, как и озерные пески и супеси, перекрыты тугоосрожденными суглинками, содержащими (в %): пыльную сосну - 73-80, березы - 10-11, ольхи - 5-8 и липы - 4. В верхних р. Мурури озерные и аллювиальные образования межледниковья перекрыты мореной и водно-ледниковыми отложениями гомогенного верхнечетвертичного оледенения, что и определяет их верхний возрастную границу.

Верхняя часть (q<sub>111</sub>')

Названные отложения представляются ледниковыми валунными сугленими и суглинками и водно-ледниковыми валунными галеичками, галеичниками, гравием и песками. Ледниковые верхнечетвертичные отложения выделены в виде многочисленных толщ вдоль долины водно-ледниковой, которые располагаются в пределах горного массива северо-восточных отрогов хр. Удокан, а также в бассейнах рек Зотхадир, Олондо, Курган-Юрик, Тарн-Юрик, Токко, Звонский. Кроме того, ледниковые отложения слагают обширные поля конечных морен в депрессионных частях района: оз. Питкандя, бассейн рек Мурури, Зотхадир, Тарн-Юрик. Верхнечетвертичная морена сложена, в основном, белесо-серыми, пылевыми валунными суглинками; валуны (15-20 см - 1,0 м) составляют от 18 до 40% объема породы. Окатанность слабая (коэффициент окатанности 25-28%). Гравий и песок в заложителе морены составляет 10-30% объема. Мелкозем, глинными образам ледниковый ил - от 30 до 70%. Максимальная мощность ледниковых образований в конечных моренах достигает предположительно 50-70 м.

Водно-ледниковые верхнечетвертичные отложения располагаются по периферии конечных морен в бассейнах рек Мурури, Тарн-Юрик, Токко, слагают значительные поля площадью около 10 км<sup>2</sup>. В их составе преобладают разнозернистые пески (до 45%) и слабо сортированный гравийно-галеичный материал (18-72%). На доли мелкоземной породы от 3 до 28% объема породы. Окатанность гравия и гальки 30-40%. Водно-ледниковые образования у края залпового поля образуют сложность, выделенной чередованием слоев песка разной зернистости. Видимая мощность водно-ледниковых отложений не превышает 10 м. Верхнечетвертичный возраст описанных отложений определяется как нагляднее на среднечетвертичную морену, а также на озерные и аллювиальные образования ранневерхнечетвертичного возраста (казанцевское межледниковье).

С о в р е м е н н ы е о т л о ж е н и я

Современные отложения занимают незначительные площади. Среди них выделены современные аллювиальные отложения верхней части и современные несортированные делювиально-пролювиальные отложения.

Верхняя часть ( $Q_{IV}^2$ )

Современные выходы отложения верхней части представлены русловым и поймаемым аллювием всех рек района - валунистами, галечниками, песками, супесями и суглинками. Мощность руслового аллювия 2-4 м. Поймаемые отложения слагают низкие (до 2 м) пойменные террасы таких рек как Эбгах, Эбгадир, Муруди, Курунп-Брах. Помимо галечников, валунов, травя и песка, в составе верхней части поймаемого аллювия отмечаются супеси, илистые суглинки, перекрытые тонким (0,2 м) торфяником.

### С о в р е м е н н ы е о т л о ж е н и я н е р а с ч л е н н ы е ( $Q_{IV}$ )

К современным отложениям отнесены деловиально-продвиальные шельфово-глибовые образования, которые располагаются сравнительно широкой (до 1 км) полосой вдоль подложки тектонических выступов. Мощность этих отложений достигает 30-40 м. Нижний возрастной предел деловиально-продвиальных шельфово-глибовых образований определяется их выделением на верхнечетвертичные деловиальные и водно-ледниковые отложения. Формирование описанных образований продолжается и в настоящее время.

## ИНТРУЗИВНЫЕ ОБРАЗОВАНИЯ

Интрузивные породы подразделяются на архейские, раннепротерозойские, позднепротерозойские (?) и палеозойские.

### АРХЕЙСКИЕ ИНТРУЗИИ

Архейские интрузивные породы представлены гиперотеноним и роговообманковыми гранитами ( $г^2 А$ ), которые обнажаются в бассейне р. До-Кюэль (площадь выхода более 4 км<sup>2</sup>), на водоразделе До-Кюэль - Калкан (15 км<sup>2</sup>) и в бассейне р. Эбгах (площадь выхода около 5 км<sup>2</sup>).

Архейские граниты располагались среди гнейсов давачанской, жемгурской и калаканской свит архей и выклики с ними соляные контакты и постепенные переходы, осуществляемые через сравнительно неширокие (до 500 м) зоны развитых солончатых выветшаний.

Гиперотеноним и роговообманковые граниты - бурые, средне- и реже крупнозернистые породы, состоящие (в %) из калиевого полевого шпата (микроклин-перуита, реже реликтовых микроклина и ортоклаза) - 30-40, плагиоклаза (андезин-алгоклаза № 28-32) - 25-45, кварца - 20-42, гипертена (показатель преломления по  $n_{D1728-1,730}$  - железистость 47-50%) - до 3, дикальцита ( $27-40\%$ ) - до 3, роговой обманки (показатель преломления по  $n_D$  более 1,700 - железистость более 55%) - до 7, биотита - до 3,9, акцессорных минералов (ангидрит, циркон, ортита, сфена, магнетита) - до 1%. В зависимости от количественных соотношений породообразующих минералов среди архейских гранитов выделяются двупородные-роговообманковые и пироксен-роговообманковые граниты, а также граниты, отвечающие по составу граносиенитам. Текстура массивная, у контактов гнейсовидная. Структура гранитная, грано-диалитовая, у контактов микротекстурированная, миктектоничная.

Найболее в гранитоидных двух разновидей калиевого полевого шпата (ортоклаза и микроклина), высокотемпературной роговой обманки (железистость более 55%), а также отсутствующие реликтовые кварцы в гиперотенониме и дикальците, выделенных в крупных выделениях микроклина, свидетельствуют о их формировании в условиях гранулитовой фазы метаморфизма. Архейский возраст описанных гранитов определяется их тесной пространственной связью с архейскими гнейсами.

### РАННЕПРОТЕРОЗОЙСКИЕ ИНТРУЗИИ

#### Т е п р а к а н с к и й к о м п л е к с

О р т о в а м ф и б о л и т н (НР<sub>1</sub>  $г^2 А$ ) и м е т а г н е с и т н о в а з и т н (ЛР<sub>1</sub>  $г^2 А$ ). Ортоамфиболиты выклики на поверхность в долине рек Олюдо и Тарын-Брах (суммарная площадь около 120 км<sup>2</sup>). Наиболее темные ортоамфиболиты отмечаются в верховьях рек Кокорун, Токко, в бассейнах Отчелак и Юнее оз. Чатканда. В бассейне р. Ко-корун ортоамфиболиты прорывают гнейсы калаканской свиты архей без выщипых контактных воздействий. Во всех остальных случаях ортоамфиболиты локализуются среди слюдистых сланцев и металеосцинов кварцовой свиты нижнего протерозоя, где они образуют крупноплавающие (60-80°) линейно-вытянутые тела мощностью от 5-10 м до 2-3 км, простроающиеся обычно согласно вмещающим породам вдоль контактов их распространениям разломов; секущие контакты ортоамфиболитов отмечаются редко.

Ортоамфиболиты - это темно-зеленые, иногда почти черные массивные, крупно-, средне- и мелкозернистые породы, переходящие

в крупных частях в расщепляющиеся, пологие, часто тонко-плитчатые амфиболиты с ориентированным расположением тонкоплатчатого амфибола. В зонах разломов ортоамфиболиты превращаются в хлоритовые сланцы. Контакты с вмещающими породами четкие и резкие.

Ортоамфиболиты состоят из амфибола (с:  $\text{Mg} = 5-12\%$ , показана-тель преобразования по  $\text{Mg} = 1,644-1,670$ ) - 60-95%, плагиоклаза до 30% и кварца - 5-10%, реже присутствуют калцит, биотит, эпидот, миттетит, иногда гранат (до 10%). Текстуры массивные, сланцеватые, иногда пятнистые, структура гранобластные, гетеробластные, нематобластные, иногда псевдоморфные. В этом случае наблюдаются крупные, одновременно увесившие зерна минералов группы эпидота, кварца которого как бы просвечивает реликтовый сетчатая структура, характерная для оливина. Совместно с эпидотом развивается калцит. В крупных выделенных амфибола часто отмечаются пойкило-вые зрелости плагиоклаза.

Металлперовскит встречается в ксенолитах в массиве палеозойских сенил-диоритов (верховья Хани, площадь выхода I км<sup>2</sup>) и нефелиновых сенилов (верховья правого безымянного притока р. Саку, площадь выхода 50х350 м). Ксенолит в верховьях р. Хани имеет экзотрихную форму и сложен в центральной части пироксенитами, ближе к периферии оливиновыми табором, а на контакте с сенил-диоритами амфиболитовыми и биотитовыми сенилами табором. Другой ксенолит сложен пироксенитами, подвергшимся сильному контажно-метасоматическому воздействию и частично преобразованными в шонкитовые породы. Отмечается также окситетраэдрит, калцитоподобная замена, сменяющаяся на контактах мощной зоной фенитов с реликтами окситетраэдричного пироксенита.

Металлперовскит - зеленовато-серые, средне- и крупнозернистые породы, состоящие (в %) из моноклинного пироксена (анцит и ферроанцит -  $2\text{V} = \text{от } 53-56$  до  $65-70^\circ$ , с:  $\text{Mg} = \text{от } 40-42^\circ$  до  $60^\circ$ ) - 45-75, плагиоклаза (табор и 58-65) - до 40, оливина - до 10, амфибола - до 5-10, биотита - до 5, апатита - до 8. Вторичные процессы проявляются в сосуществовании плагиоклаза, развитых амфибола - до 35, биотита - до 15, серпентина, лейкоксена, минералов эпидот-диазитовой группы, а также микроклина (до 10). Текстуры пород массивные, пятнистые, структура панакиоморфнозернистые, дислопационные в микроклинитовых равновесиях и гетерозернистые на контактах.

Возраст ортоамфиболитов определяется тем, что они прорывают песчанники и сланцы икабильской свиты нижнего протерозоя и, в свою очередь, прорываются и магнетитизуются (с образований алмазитов раннепротерозойскими гранитоидами кувандицкого комплекса (вер-

ховья р. Олди). Радиометрическое определение возраста окситетраэдричного палеозойского ксенолита в палеозойской интрузии в верховьях р. Саку (калий-аргоновый метод, В.М. Комарова, ВЛТ) равен 2070 млн. лет. Учитывая, что анализированная порода подверглась контактовому воздействию со стороны палеозойской интрузии, ее возраст может быть более древним.

#### Кувандицкий комплекс

Иваза - гранито-гнейсы, анатектонические гнейсы, граниты ( $^{87}\text{Rb}/^{87}\text{Sr}$ ), гранитизированные породы ( $^{87}\text{Rb}/^{87}\text{Sr}$ ). Гранито-гнейсы и анатектонические гнейсовидные граниты занимают около 5% площади листа, образуя в одних случаях субмеридиональные вытянутые массивы (северная и северо-западная части района), в других широко изогнутые, овальные гранито-гнейсовые купола и синклинальные структуры (чаши) в верховьях рек Хани и Икабилькана, Ю-Юрды и Калакана. Подверженное большинство гранито-гнейсов и гнейсовидных гранитов развивается по архейскому субстрату. Внутри этих массивов отмечаются многочисленные реликты и гены миттетитов архейских пород, сохранившиеся ориентировку, согласную с вмещающими архейскими толщами. Контакты гранито-гнейсов и гнейсовидных гранитов с архейскими гнейсами и кристаллическими сланцами, как правило, постепенные, осуществляемые через широкую зону разнообразных миттетитов. По амфиболовым кристаллическим сланцам архей, а также по раннепротерозойским ортоамфиболитам обычно развивается сеть многочисленных секущих инъекций (алмазиты) гнейсовидных гранитов. Контакты гранито-гнейсов и гнейсовидных гранитов с раннепротерозойской толщей Икабильканской свиты, хотя в основном и тектонические (верховья рек Хани, Икабилькан, Чаткалца), однако элементы гнейсовидности в гранитах, обусловленные ориентированным расположением биотита и линзовидных осослоевидных кварца и полевого шпата, здесь все же согласны с простиранием и падением базальных слоев икабильской свиты.

Гранито-гнейсы и гнейсовидные граниты - лейкократовые средне- и мелкозернистые, светло-серые, розовато-серые породы. Порообразующие минералы представлены (в %) плагиоклазом (олитоклаз и 15-25, реже андезит и 34-35) - 35-60, микроклинном - 5-15, кварцем - 30-35, биотитом (с пока выделен преобразованием  $\text{Mg} = \text{от } 1,630$  до  $1,654$ , что отвечает железистости 35-45%) - до 3, акцессорными

минералами (офен, апатит, ортит, пирокон, монацит, рутил) - до 3. Характерно, что состав андезита и биотита идентичен с составом этих же минералов во вмещающих архейских гнейсах. Текстуры гнейсовидные, структуры гранобластные, гетеробластные, гетерогранныбластные, реже гранитные, участками петлеватые.

Транзитивные породы темневшим образом пространственно и генетически связаны с гранито-гнейсами и анатектичными гранитами. Они повсеместно встречаются внутри полей гранито-гнейсов на их контактах, в зонах мигматитов и, кроме того, образуют самостоятельное поле, обрамляющее выход пород кябейской свиты в центральной и юго-восточной частях района. Отличие транзитивных пород от гранито-гнейсов и гнейсовидных гранитов заключается в насыщенности их темнопигментными минералами (амфиболом и биотитом - 15-20%), присутствии вмещающим архейским породам, в наличии многочисленных темных мигматитов, а также оксидитов как архейских гнейсов, так и нижепротерозойских пород базальнотого горизонта кябейской свиты (бассейн р. Хана, верховья р. Икюбькан). Правда, в большинстве случаев контакты транзитивных пород с образующими кябейской свиты чешки, солдские, что, вероятно всего, связано с акриллившим воздействием сланцев новейших удоканской серии на фронт транзитивации, которая развядась в основном по архейскому субстрату. Процесс транзитивации, вероятно, сопровождался структурной перестройкой архейского субстрата, чем и можно объяснить наличие солдские соотношения между контактово-метаморфизованными породами основными кябейской свиты и транзитивными породами архей.

П фаза - метасоматическая кованейшая и маосивная граниты и граноиды ( $T_2 P_1 K_n$ ). Эти гранитоиды развиты в восточной части района, где они слагают средние архейских субмеридиональный массив протяженностью около 62 км, шириной от 3 км на юге до 13 км в центральной части и 8-5 км на северном фланге. Линейно-вытянутая форма массива обусловлена его пророченностью к мощной зоне катаклизма и микротектоникой. Рельефы катаклизмов и микротектоник отмечаются в теле массива и фиксируются вдоль его контактов. На северо-востоке района массив по тектоническим контактам соприкасается с породами кябейской свиты нижнего протерозоя. Менее значительные по масштабу выходы метасоматических очковых гнейсовидных гранитов отмечаются вдоль тектонического контакта архей с породами удоканской серии, в бассейне р. Чатканда, в центральной и северо-западной час-

тах района. Метасоматические граниты не проникают в толщу удоканской серии; они метаморфизируют ее основание, что выражается в микроклинизации кварцитов, мраморов и слюдистых сланцев основными кябейской свиты.

Наиболее полно метасоматические гранитоиды II фазы хуантинского комплекса изучены в восточной части района. Массив их включает здесь зональное строение. Центральные части массива сложены крупнозернистыми массивными розовыми гранитами и граноидными биотитовыми и амфибол-биотитовыми, содержащими 3-5% темнопигментных минералов. Слегучшая, ближе к периферии, зона характеризуется преобладанием розовых порфиробластических гранитов и транзитивных с характерной очково-полосчатой текстурой, обусловленной преобладанием очковых выделений розовых и серых полевых шпатов, между которыми располагаются преимущественно мелко- и обособленные темнопигментных минералов (до 10% объема породы). Ширина этой зоны, облегающей центральную часть массива, изменяется от 1 до 4-5 км. Третья зона - зона эконоконтакта сложена очковыми гнейсовидными гранитами и граноидными, отличающимися наличием порфиробласт розовых полевых шпатов, обтекаемых ветвями темнопигментных минералов (оксит и амфибол), которые слагают до 15-20% породы. Контакты массива с вмещающими гнейсами архей характеризируются постепенным переходом от очковых гнейсовидных гранитов до очковых гнейсов на сравнительно коротком (20-100 м) отрезке. Контакты очковых гранитоидов второй фазы с гнейсовидными гранитами первой фазы менее четкие (бассейн р. Чатканда) и характеризуются широкими зонами перехода: в гранито-гнейсах понылаются мелкие включения микроклина, а они постепенно сменяются крупноочковыми гнейсовидными гранитами. Широкая зона микроклинизации с отдельными телами метасоматических очковых гранитоидов фиксируется вдоль меридиональных разломов в бассейне рек Куунг-Фрак, Эртах и Эртакляра.

Метасоматические гнейсовидные очковые и массивные гранитоиды состоят (в %) из микроклина - 30-65, плагиоклаза - 10-30, кварца - 10-25, биотита и амфибола - 3-20, акцессорных минералов (офен, лейкоксен, монацит, ортит, пирокон, поликрас, зксенит, мигматит, ильменит, фидерит, апатит) - до 1. Текстуры гнейсовидные, такситовые и массивные, структура бласогранитные, гетеробластные, гранобластные, порфиробластные с участками монотиповой. Намечается следующая закономерность образования основных породобразующих минералов. Повсеместно в эконоконтактах, в фельдшпатизированных очковых гнейсах, развиты крупные коенобла-

основне выделения альбита, который включает реликтовые минералы субстрата. По мере увеличения степени фельдшпатизации, то есть в сторону массива, наблюдается микроклинизация пород, выраженный в развитии псевдоэпидеритов, замещения пидроклазов по периферии микроклина и в появлении линзовидных агрегатов микроклина. Крупные порфироиды позднего грубошерстчатого микроклина, найденные на первично метасоматически измененные (альбитизированные) меньшие породы, резко преобладают в зоне непосредственного контакта массива с очками гнейсами. В зоне эндоконтакта грубошерстчатые коенодопловые и реже идиодопловые зерна (до 1 мм) позднего микроклина, ассоциируемые с поздним же альбитом (№ 5-8), содержат многочисленные реликты замещенных агрегатов раннего плагиоклаза (олгоклаз № 20-27), тонкошерстчатого микроклина, биотита, амфибола и кварца. Ближе к ядру массива роль позднего микроклина в составе пород возрастает (до 65%) за счет уменьшения количества плагиоклаза, кварца и темнопетельных минералов. Все они слатают интрузии между порфироидными микроклинами, который иногда образует каймой более позднего альбита, а также содержит его в поргетях замещения. Совместно с альбитизацией происходит и окварцевание; агрегаты кварца размером до 3,5 мм секют все минералы.

Химический состав пород ряда: а) биотитовый гнейс, б) очковый гнейсовидный амфибол-олигоновый гранит зоны эндоконтакта, в) очково-пеллосчатый, гнейсовидный гранит, г) массивный метасоматический щелочной гранит центральной части массива приведен в табл. 3.

При формировании метасоматических транзитионов происходили примерно щелочей (главным образом калия) и вынос магния. В эндоконтактных зонах отмечается увеличение содержания железа, кальция и алюминия, возможно, за счет их выноса из центральных частей зоны метасоматоза. Незначительный прирост натрия связан с центральными частями зон метасоматоза. Возможно, что микроклинизация раннего плагиоклаза и альбитизация микроклина привели к выводу из щелочных элементов примесей, входивших в кристаллические решетки полей шпатов, как цирконий, титрий, втербий, неодим, лантан и бериллий. Это подтверждается наличием таких ассоциаций как олигит и ширкон (в протоколках до 140 г/т), а также монашита, полизурза и эвкселита. По своей геохимической характеристике (данные спектрального анализа 380 спектров проб) метасоматическое транзитионное кварцевание отличается повышенными

Таблица 3

	SiO <sub>2</sub>	TiO <sub>2</sub>	Al <sub>2</sub> O <sub>3</sub>	Fe <sub>2</sub> O <sub>3</sub>	FeO	P <sub>2</sub> O <sub>5</sub>	MnO	CaO	MgO	K <sub>2</sub> O	Na <sub>2</sub> O	H <sub>2</sub> O	п. п. п.	Сумма
а)	71,20	0,38	13,88	0,51	2,22	0,03	сл.	1,48	1,96	4,00	3,50	0,10	0,68	99,94
б)	68,23	0,47	14,82	1,71	3,88	0,18	0,09	2,54	0,30	3,70	3,70	0,15	0,78	100,55
в)	71,0	0,32	13,29	0,94	3,23	0,11	0,052	2,21	0,20	4,69	3,52	0,03	0,14	99,63
г)	70,08	0,31	14,13	0,71	3,01	0,087	0,026	0,76	0,08	5,08	3,74	0,21	0,28	99,51

(по отношению к кварцам для данного типа пород) содержаниями (в %): никеля - 0,001, кобальта - 0,001, хрома - 0,003. На отдельных площадях, сложенных массивными гранитоидами, выявляются повышенные содержания (в %): цинка - 0,03-0,06, ванадия - 0,004-0,01, вольфрама - до 0,001, ниобия - 0,003-0,03, лантана - 0,01, бериллия - 0,001.

**Ж и л ь н а я ф а з а - п е г м а т и т н (P<sub>2</sub>P<sub>1</sub>fn).**  
 Раннепротерозойские пегматиты кварцитского комплекса встречаются повсеместно вблизи полей метасоматических тейсовидных гранитоидов и зон микроглинизации. Мощность этих жил колеблется от нескольких сантиметров до 4-5 м. Жилы с максимальной мощностью обычно прорублены к более трещиноватым амфиболовым тейсам руден и амфиболитам. Их морфология разнообразна - это сплошные и секущие линзовидные жилы и прожилки. Представляются они крупными тейсовидными, розоватыми и серыми породами, состоящими из кварца, полевого шпата и подчиненных им биотита, роговой обманки и магнезита, присутствующего в виде мелкой рассеянной акриллиноста и жидраков (до 3 см в поперечнике). Минералогическим анализом протолючек в пегматитах установлены: климента, офеит, пидрит, талекит, халькопидрит, подкрас и энсевит, ортит (иногда до 2%), циркон, шпегит, иногда флюорит, тринат и молибденит. Пространственная связь этих пегматитов с метасоматическими гранитоидами кварцитского комплекса, близость состава акцессориев свидетельствует от их генетическом родстве.

Как видно из вышесказанного, формирования гранитоидов кварцитского комплекса происходило в несколько последовательных стадий, среди которых наиболее четко выделяются: I) стадии региональной павлюгунитизации, охватывавшей большие площади восточного субстрата и экранлируемы вышедшими ниже протерозойскими толщами; 2) стадии каленового метасоматоза, проявленная в широких тектонически ослабленных зонах в вуджейском субстрате.

Раннепротерозойский возраст гранитоидов кварцитского комплекса определяется как гранитизациями и метасоматическим воздействием на пошшу кварцитской свиты нижнего протерозоя, также проявляем их следующими по возрасту раннепротерозойскими гранитоидами чуйско-кодларского комплекса (бассейн р.Ханга). Помимо этих геосторических факторов имеется ряд радиологических определений возраста кварцитских гранитоидов и пегматитовых жил, с ними связанных (табл.4).

Таблица 4

№ п/п	Характеристика образца и место взятия	Метод определения	Возраст, млн. лет
1	2	3	4
1	Биотит из гранито-тейсов I фазы. Берховья р.Ханга	Калий-аргоновый	1770 В.М.Комаров, Ва, ВаГТ
2	Биотит из гранито-тейсов I фазы. Дерховья р.Ханга	"	1683 В.М.Комаров, Ва, ВаГТ
3	Валовая проба из тейсовидных гранитов I фазы. Водораздел Бол.Икабья-Икабьяекан	"	1422 В.М.Комаров, Ва, ВаГТ
4	Биотит из зоны гранитизированных пород. Левобережье р.Саку, в 3 км от устья	"	1945 В.М.Комаров, Ва, ВаГТ
5	То же. Левобережье р.Ханга, в 5 км ниже устья р.Саку	"	1798 В.М.Комаров, Ва, ВаГТ
6	То же. Левобережье р.Саку, в 7 км выше устья	"	1893 В.М.Комаров, Ва, ВаГТ
7	Циркон из гранитизированных пород I фазы. Устье р.Саку	Свинцовый	1890 А.И.Тугаринов (1967)
8	То же	"	2330 А.И.Тугаринов (1967)
9	Валовая проба из метасоматических тейсовидных гранитов второй фазы. Ог.Читканца	"	1770 В.М.Комаров, Ва, ВаГТ
10	Ортит из метасоматических тейсовидных гранитов II фазы. Водораздел Болгах-Кудунг-Юрах	"	1950 И.В.Михин, МГТ



64 млн) и Горное - в верховьях левого безымянного притока р. Саку в зоне северо-западного экзоконтакта Ханьинского массива (площадь 15 км<sup>2</sup> - 64 млн). Отдельные жилы и группы жил отмечены в бассейне рек Олондо, Каманда, на междуречье Ю-Хельд - Сакуйан, в верховьях рек Бол.Икэвэй, Уйткандя. Пегматовые жилы образуют куполообразные (50-90°) согласно тела, выположенные пологости расчленены в замке антиклиналей второго порядка, в так же сухие тела, приуроченные к трещинам, опирающим крупные разрывные нарушения. Среди соляных жил отмечаются маломощные (от первых сантиметров до 1-2 м) прожилки и линзы, плотные чистые тела как с раздуралж, так и без них. Сухие жилы обходятся большими размерами (мощность до 110 м, протяженность до 1000 м), чистого четкой формы, многочисленными впадинами.

Пегматиты сложены (в %): серым кварцем - 20-25, розовым микроклином - 50-70, альбитом до 5, олигином и мусковитом до 15. Повсеместно отмечается тушмелин (шерш и реже ингиолит). В отдельных жилах (р.Олондо) встречен сподумен (20-80% объема) и берил (Читкандинское пегматитовое поле). Акцессорные минералы представлены гранатом, цирконом, монацитом, ксенотимом, торитом, эксенит-тонкиразом, домоновокитом, самарскитом, пирохлором, сфеном, рутилом, халькопиритом, галенитом, сфалеритом, аргентом, флюоритом. В экзоконтактах жил отмечаются коунин, топаз, энгидрат. Большая часть жил имеет зональное строение: кварцевое ядро-кварцево-микроклиновый оловяный пегматит с мусковитом и, в отдельных случаях, с бериллом - крупнокристаллический пегматит плагио-микроклинового состава с участками туфобуффической стурктуры и блоками (10-12 см) кварц-мусковитового замещения - плагио-микроклиновый пегматит трещинной стурктуры с ксенотимом и энгидратом пород - энгидратовая зона пегматита с унаследованной пологостной стурктурой. Мощности зон непостоянны и часто по простиранию или отдельные зоны выклиниваются.

Магматические и жилные образования чуйско-кодарского комплекса прорывают и метаморфизуют нижнепротерозойские отложения Уловянской серии. На юго-западе района на размытой повзвухости трещинок первой фазы, прорывающих сакуйанскую свиту, задевают верхнепротерозойские отложения сеньской свиты, а трещинки Икэвэйканского массива, содержащего многочисленные ксенотимы пород Уловянской серии, прорываются позднепротерозойскими (?) гранитами. Данные радиологических определений возраста трещинок и пегматитов чуйско-кодарского комплекса приведены в табл.5.

Становление раннепротерозойских магматических пород озна-  
 чивает большой интервал времени, который по радиологическим  
 определениям возраста изменяется от 2330 млн. лет (тепханский  
 и куандинский комплексы) до 2000-150 млн. лет (чуйско-кодарский  
 комплекс).

Таблица 5

№ п/п	Характеристика образцов и место взятия	Метод опреде-	Возраст, млн. лет
1	Блокит из трещинок I фазы Икэвэйканского массива	Калий-арго-	1676
2	То же	"	1727
3	Мусковит из пегматитовых жил, водораздел рек Хани и Алтуаль	"	1930±50
4	Блокит из пегматитовой жилы. Водораздел рек Хани - Саку	"	1832
5	Калиевый полевой шпат из пегматитовой жилы. Дер-ховья р. Хани	Свинцовый	2000

С раннепротерозойскими метасоматическими трещинокными гранитоидными породами куандинского комплекса связана рассеянная (акцессорная) гранито-диоритовая (поликриза-эксенит) и релктоважидная (оригит-пироклиновая и ортит-монацитовая) минерализация. Последняя локализуются как в связи очковых трещиноклах, так и в зоне их экзозивязны ортитовые пегматиты. С трещиновыми I фазы чуйско-кодарского комплекса теснейшими и простирательно связаны мусковитовые и оловяные релктоважные (натро-литиевые, мусковит-бериллиевые и шери-мусковитовые) пегматиты формации средних глубин. Сама трещиновиты несут рассеянную (акцессорную) релктоважидную (ксенотим) минерализацию.

ПОЗДНЕПРОТЕРОЗОЙСКИЕ (?) ИНТРУЗИИ

Д о р о с с к и й к о м п л е к с

Г а б б р о и г а б б р о - д и а б а з и (V.P.32d) и у л ь т р а с о в н ы е п о р о д ы (V.P.32d). Г а б б р о и г а б б р о - д и а б а з ы м н о г о ч и с л е н н ы е д а ж е п р о т я ж е н н о с т ь о т 500 м до 15 км и м о щ н о с т ь о т 2-5 до 40-50 м. Э т и д а ж е р а з в и т ы п о в с е й п л о ш а д и и х а р а к т е р и з у ю т с я в ы д е р ж н о й м о щ н о с т ь ю , п р я м о - л и н е й н ы м и к о н т а к т а м и , н а л и ч и е м а н о ф и з , к р у т ы м и (50-70°) и р е ж е п о л о г ы м и (до 25°) у г л а м и п а д е н и я . Б о л ь ш а я ч а с т ь н а б л о д а е т с я п р о т я - ж е н ы х д а е к в ы п о л н я е т ш е р о т ы н е р а з р ы т ы , м е н е е о б ы ч ы н ы с е в е р о - з а - п а д ы н е , с е в е р о - з а с т о ч ы н ы е и м е р и д и о н а л ь н ы е п р о с т ы р а н ы , х а р а к т е р - н ы е д л я н е п р о т я ж е н ы х д а е к и а н о ф и з . Д а ж е г а б б р о и г а б б р о - д и а - б а з ы п р о к ы в а ю т г о л ы ш а в ы х о д , н и ж н е г о п р о т е р о з о и и р а н н е п р о т е - р о з о й с к и е и н т р у з и и .

Г а б б р о и г а б б р о - д и а б а з ы - с е р ь е , т е м ь о - с е р ь е с з е л е н о в а т ы м и о т ы н к о м , с р е д ь н е - и м е л ь к о з е р ь н ы м и п о р о д ы . В п о л ь с е а к з о к о н т а к т - т о в м о щ н о с т ь д о 1 м н е п о в о с м о ж е т ь н а б л ю д я т ь с я я в л е н и я з и л ь к о т ы - з а щ и т ы , а в в ы д ы к о н т а к т а т е - з о н а (до 20-30 см) з а к а л ь к и . П о р о д о - о б р а з у ю щ и е м и н е р а л ы п р е д с т а в л е н ы (в %): п л а т ь к о л ь ц о в о м (о т а н ь к ы з ы н а 40 до д и а б а з о р а 50-58) - 40-65, а в ы т ы с ь - 25-35 л ь в о в ы т ы - т о м и г л и ц е р о т е н ы - в с ы м ь е 30-45, к а р ь к а п р ы с ь т ь с ь т ь к ы в ы р - 1-5, а к с е с о о р ь н ы е - ш п а т ы т и м а г н е т ы т - д о 7. Т е к с т у р ы п о р о д м ь о - с ы н ь е , с т р у к т у р ы г а б б р о в ь е и г а б б р о - о ф и т ь о в ь е . Х а р а к т е р ь н о й о с о - б е н н о с т ь ю г а б б р о и г а б б р о - д и а б а з ы в ы д ы л ь с я п о в с о м е с т ь ю п р о а в - л е н ы е в ы р ы т ы ч ь е и з м е н е н ь я , в ы р а ж е н ы е в а м ф и б о л ь з а щ и т ы п е р о к с е - н о в , в ы л ь с ь д о п о л ь н ы х п е с ь ч а н о м о р ь о в , с о с ь р ь у т ь с ь з ы л ь к и п л а т ь к о л ь ц о в , б ь ю т ь к ы з а щ и т ы , в ы д ы к ы з а щ и т ы и х ь о р ь т ь к ы з а щ и т ы .

У л ь т р а с о в ь н ы е п о р о д ы н е з ь н а ч и т е л ь н о р а с п р о с т ь р а н ы . О н и п р е д - с т а в л ь н ы д у н и т а м и , о л ь в ь н ы т а м , с е р п е н т и н и т а м , т а л ь к - к а р б о н а т - с е р п е н т и н о в ы м и , к а р б о н а т - т а л ь к о в ы м и , к а р б о н а т - д ь о р и т - т а л ь к о в ы м и с ь л ь н ы м и . У л ь т р а с о в ь н ы е п о р о д ы с л ы т а ю т т р и н е о б ь е м ь н ы ш т о к а н а м е ж д у р е ч ь е Г у р ь м ы к а н - З о г ь а х ь л ь е р р а з м е р о м о к о л о 30x30 м , а т а к ж е т р ь д ш т о к о о б ь е м ь н ы х т е л и д а е к в з о н е р а з ь e т ь e н ь я г л у б о к и х р а с ь o - д о в в в е р х о в ь х р е к О л ь н ь о , Т о к ь о и Т а р ы н - К ы р ь к . Д а ж е х а р а к т е р - з у ю т с я к а к к л ь у т ы л ь (50-70°) у г л а м и п а д е н ь я , т а к и б о л ь e п о л о г ы м и п а д е н ь я м и . У л ь т р а с о в ь н ы е п о р о д ы п р о к ы в а ю т с л ы щ ы т ы е с ь л ь z и и ж е т а п е с ь ч а н ы к и к а р б ь о й с к о й с ь z ь ю н и ж ь e г о п р о т е р о з о в , а р х ь e й с к ь e т ь e й с ь , р а н н е п р о т е р о з о й с к ь e о у т о м а й с ь o л ь t ы и г р а н и т ь o - г л ь e й с ь , б е з в ы д ы м ь х с л ь e д о в к о н т а к т ь o в ь o г о в о з д ь e й с ь t ь e .

Д у н и т ы - п л о т ь н ы е т е м ь o - з е л е н ы е п о р о д ы , с п о в е р х ь н о с т ь ю п о - к р ы т ы х а р а к т е р ь н о й к о р ь i н ь e в ь o - о б у р ь н о з ь d ь e в ь o т ь o й к о р ь o ч ь k . О н и с о с т о я т (в %) из о л ь в ь н а - 90 (100% - о л ь в ь н и т ы ) , с е р п е н т и н а - д о 10, м а г н е т ы т а и х ь o м ь t ь e - д о 2-3. Т е к с т у р а м а с с ь v ь n ь я , с т р у к - т у р а п е н ь i л ь o м ь o р ь n ь o з е р ь n ь e с ь t ь e . С у в е л ь ч ь e н ь e м с ь e п е н ь i с е р п e n t и н - z a щ и т ы д у н и т ы п р е в р а щ а ю т с я в з е л е н о в а т ы е с е р п e n t и н ы т ы (с е р п e n - т и н - 60-70, о л ь в ь n ь e в р е л ь k ь t ь x - 10-20, к а л ь c ь t - 20-25, м а г н е - т ы т - 2-5, т а л ь k ) . Р а з л и ч ь n ы е с ь l ь n ы , в о з ь n и ж ь n ы е в р е з ь l ь t ь e и з - м е н ь e н ь я д у н и т о в , и м е ю т н е о ь n ь o л ь o c ь t a т ь ю с ь l ь n ь e в ь o т ь u ь t ь e т е к с т у р ь i c o c ь t o я т (в %) из х л ь o р ь t ь e - 5-50, т а л ь k ь a - 5-75, к а р б о н а т ь a - 20-30, с е р п e n t и н ь a - д о 30, м а г н e t ь t ь a - д о 3 .

Х ь m ь e c ь k ь i а н а л ь z п р о б (в к о л ь ч ь e с ь t ь e 10, к а ж ь d ь n ь я из к о т о р ь x о ь e ь d ь n ь e ь t ь 10 т о ч ь e н ь n ь x ) , o ь o ь r ь n ь n ь x из д у н и т о в в в е р х о в ь х р . О л ь n ь o , п о к а з ь a л , ч ь t o к о л ь ч ь e с ь t ь o н и к ь e л ь в п o р o д ь x и з м е н ь e т с я o т 0,07 до 0,29%, а к о б а л ь t ь o t 0,01 до 0,015% (х ь m . л ь o б о р а т ь o р ь d ь i в ь m ь s ь a ) . П о л ь n ы м с ь p e к т р ь e л ь n ь m а н а л ь z o м 130 с ь o л ь k ь o в ь x п р o б , п о м ь i н ь o э т o г о , у с т а н о в ь e н ь o п р ь c ь t ь u ь t ь e х ь o м ь a в к о л ь ч ь e с ь t ь o t 0,4 до 1%. Т а к ь m o o ь r ь e z o m , в д у н и т ь x o т ь e ч ь e т ь s ь e н ь e н ь e н ь e н ь e (o т н ь o с ь - т ь e л ь n ь o к ь l ь o p ь o в д ь l ь n ь o г ь o т ь t ь a п o р o d ) c o д е р ж ь n ь e н и к ь e л ь (в 2 p ь - z a ) . M и н е р а л ь o г ь i c ь k ь i а н а л ь z o м п р o т ь o л ь o ч ь n ь x п р o б в д у н и т ь x с у л ь - ф ь i d ь o в н и к ь e л ь n ь e o ь n ь a в ь r ь u ь e n ь o . Э т o п о з в ь o л ь e т п р e д ь o л ь o ж ь t ь e , ч ь t o н и - к ь e л ь в с р ь e д ь n ь e т ь e л ь n ь o п о в ь n ь e н ь n ь x к о л ь ч ь e с ь t ь o x c o д е р ж ь t ь s ь e в о л ь v ь - n ь x , т ь e o n п р ь c ь t ь u ь t ь e в к а ч ь e c ь t ь e и з ь o м ь o ф ь i d ь n ь oй п р ь m ь e c ь k ь i .

Г а б б р о , г а б б р о - д и а б а з ы и у л ь т р а с о в ь н ы е п o р o d ы c o c ь t a в ь l ь - ю т с я с а н ь a л ь o г ь i c ь k ь i м и o ь r ь a z ь o в ь n ь m и , р а з ь v ь t ь m ь n ь e n ь e т е р ь r ь t o r ь m д ь i c ь t ь a 0-50-XXXVI, т ь e o n o т ь n ь o c ь t ь a к д ь o p ь o c ь k ь o м у к о м п ь l ь e к ь u (p . Д ь o p ь o c , 0-50-XXXVI, т ь e o n o т ь n ь o c ь t ь a к д ь o p ь o c ь k ь o м у к о м п ь l ь e к ь u o ь p ь e d ь e л ь k ь e - t ь e п р ь e m ь i п р ь e т ь o k p . Ч ь i n ь i ) . В о з ь p a c т д ь o p ь o c ь k ь o г ь o к о м п ь l ь e к ь u o ь p ь e d ь e л ь k ь e - t ь e у c л ь o b ь n ь o . П o р o d ы k o м ь l ь e c ь a п р o к ь v ь a ю т в с ь e н и ж ь n e п р o т e р o z o й c k ь e o c ь a d ь o ч ь n ь e т o л ь ш и и р а н ь n e п р o т e р o z o й c k ь e и н т р у з ь i , а в б a c ь c ь e й n ь e p . К ь e м ь e n (д ь i c ь t 0-50-XXXVI), п o д ь n ь m ь i Д . И . С а л ь o n ь a (1967), д а ж ь e г а б б р о - д и а б а з ы в ь e p ь e k ь v ь a ю т с я o ь r ь a z ь o в ь n ь m и н и ж ь n e г ь o н ь e o ь b ь r ь e n .

ПОЗДНЕПРОТЕРОЗОЙСКИЕ (?) ИНТРУЗИИ НРАСЧЛЕНЕННЫЕ

Б ь o т ь i т ь o в ь n ь e и 6 ь o т ь i т ь a м ф ь i б ь o л ь o - в ь n ь e г р а н и т ы (V.P.32g). Э т и г р а н и т ы с л ы т а ю т т р ь d р а з ь o ь - н ь e n ь n ь x н е o ь b ь o л ь n ь x т e л и м а c ь o ь k ь o в . M а c ь s ь v ь e в в е р х o в ь х р . З o г ь a x ь z a - н ь m ь e т п л ь o ш ь d ь 36 км<sup>2</sup>. В б a c ь c ь e й n ь e p . Т o k ь o o ь n ь a з ь a ю т с я д ь v ь a м а c ь s ь v ь a п л ь o ш ь d ь 30 и 4,5 км<sup>2</sup>. В в е р х o в ь х р . К ь o - К ь o ь e л ь п л ь o ш ь d ь в ь x ь o л ь d ь t р а - н ь t ь o в c o c ь t a в ь l ь e т 4 км<sup>2</sup>. А н а л ь o г ь i c ь n ь e п o р a з м е р ь a т ь e л ь a o ь p ь e d ь e л ь k ь e - t ь e п л ь o ш ь d ь в ь x ь o л ь d ь K ь i ь o ь e k ь a n ь c k ь o г ь o м a c ь s ь v ь a р а н ь n e п р o т e р o z o й c k ь e г р а н и -

только. Наибольшие интрузии описываемых гранитов отмечаются в бассейне р. Мурубин и в верховьях р. Икэбэкан. Устанавливается четкая преемственность биотитовых и биотит-амфиболовых гранитов к зонам разломов северо-западного и меридионального простирания, что подчеркивается как положением интрузий в указанных структурах, так и их линейно-вытянутой формой. Позднепротерозойские (?) граниты проявляют нежпротерозойские и архейские толши и раннепротерозойские гранитоиды куандинского и чульско-кодарского комплексов. Порода в центре массивов представлена средне- и крупнозернистыми, иногда порфиридными биотитовыми гранитами серо-розового, розового и краснового-розового цвета. Эпиконтакты интрузий сложены среднезернистыми слабогликофильными биотит-амфиболовыми гранитами и содержат конглоаты вмещающих пород размером от 0,5 до нескольких десятков метров. В эоконтактах отмечаются фельдшпатизация и окварцевание. Наиболее характерны многоочисленные кварц-полюсовитовые розовые жилы и прожилки, которые вмещают меньшие породы эоконтакта.

Биотитовые и биотит-амфиболовые граниты состоят (в %) из плагиоклаза (раннего альбита и 18-22 и альбита и 13-17) - 20-35 и позднего альбита и 1-8 - до 10. Последний, как правило, развивается по неокорретному микроклину, составляющему в среднем 25-40% породы, кварца - 20-35%, до альбитизированных износостатков 25-40% породы, кварца - 20-35%, биотита - 0,5-6%, амфибола - до 2%. Акцессорные минералы - ортит, циркон, рутил, сфен, турмалин, апатит, молибденит, теллурид, халькопирит, пирит, не все они связаны с биотитом. Вторичные минералы - эпидит, мусковит, пеннин, соосидит, гематит. Текстуры массивные, иногда слабопорфироидные, структура гипидиоморфнозернистые, гранитные, местами катекластические.

Д и а б а з и к и в а з о н е п о р ф и р и т н (в р. р.?). Длительный период проявляет позднепротерозойские (?) граниты либо локализованы в неокорретивной области от массивов. Мощность даяк от 1-2 до 15-20 м. Протяженность до 300-500 м. Дивизия - черные афанитовые породы, состоящие (в %) из лабрадора 55-58 - 45-55, ангита - 25-30, редко гиперстена - до 15, магнетита - до 5. Текстура массивная, структура дивизивная, афанитовая. В дивизивных породах встречаются включения в породе, представляющие полевые шпаты. Вторичные изменения в этих породах проявляются в слабой соосидитизации плагиоклаза. Отмечается незначительная хлоритизация, эпидотизация. Каким-либо достоверных данных, свидетельствующих о позднепротерозойском возрасте гранитов, не имеется. Их более молодой,

чем раннепротерозойский, возраст определяется только тем, что они вступают чульско-кодарские гранитоиды и отключаются от последних внешним обломом, составом, набором акцессорных минералов, среди которых отмечаются халькопирит, теллурид, молибденит, базовые мугит, и структурами положежом. Радиогеохимические определения возраста биотитовых и амфибол-биотитовых гранитов, приведенные в табл. 6, свидетельствуют, скорее всего, в пользу позднепротерозойского возраста этих интрузий (определенны В.М. Комаровой, ВАГТ).

Таблица 6

№ п/п	Характеристика образца и место взятия	Метод определения	Возраст, млн. лет
1	Вяловая проба из среднезернистых гранитов. Верховья р. Хани	Калий-аргоновый	876
2	То же	"	865
3	Вяловая проба из эпоконтакта среднезернистых гранитов. Верховья р. Токко	"	986
4	Вяловая проба из гранитов в верховьях р. Хани	"	954
5	То же	"	1007

С позднепротерозойскими ультраосновными породами связаны проявления гальки. С гранитами и зонами контролирующих их разломов протерозойского возраста связаны шихоние ореолы молибденита и теллурида.

ПАЛЕОЗОЙСКИЕ ИНТРУЗИИ

С а к у н с к и й к о м п л е к с

Палеозойские интрузивные образования сложены Сакунский массив (откуда и дано название комплексу) и Мурубинский массив Сакунский массив (площадь 150 км<sup>2</sup>) занимает водораздел в верховьях рек Сакунана, Хани, Сакун и водораздел рек Сакун и Чук...

канда. Прогроченность Сакунского массива к габрокому расколу предопределяла линейно-вытянутую форму интрузии, характерную для извилистых в плане, крутопадающих контактами. Мудуринский шток (около 4 км<sup>2</sup>) располагается в верховьях р. Мудурин в зоне субширотных разломов. Большая часть его перекрыта рыхлыми отложениями. Интерпретация карты магнетного поля (гл. "Тектоника") позволила классифицировать эту интрузию как изометричный шток. Наиболее полно выделенные фазы и фации на геологических интрузий изучены в Сакунском массиве.

I ф а з а - с и е н и т и к н е ф е л и н о - в н е о к с и д н ы й (  $\xi_1, Pz_1$  ). Эти породы занимают около 50% площади Сакунского массива, распространяясь в его центральной части и на южном фланге. В экзоконтактах шлочных сениитов вмещающие их метапесчаники и слюдястые сланцы икэбийской свиты микроклиматизированы и ожелезнены. Ширина этой измененной зоны 30-50 м. В краевой части тела шлочных сениитов в зоне шириной от 50-70 до 500 м развивается фенит. Это - зеленовато-серые, купино- и титанопопиритовидные породы, связанные постепенными переходами с породами экзоконтакта. Среди фенитов отмечаются реликты вмещающих пород. В остове фенитов преобладает микроклиматизированный нефелин (до 5%) в сочетании с мелкими зернами микроклина (размером до 10-15 см) распространяется мелкокристовый изобластовый, пофитровидный, титанообластовый и похлитообластовый алрит (20-30%), состоящий из пироксена, биотита, граната, кальцита, апатита, магнетита, титаномагнетита, иногда кварца и плагиоклаза. Спорадически встречается наложенный, часто канкрипитизированный нефелин (до 5%) в сочетании с мелкими зернами микроклина, а также албит. Фениты краевой зоны постепенно сменяются серыми титаноциновыми эгирин-эвгитовыми и эгириновыми сениитами, занимающими центральные части массива. Шлочные сенииты крупно-среднезернистые и пофитровидные породы, состоящие на 90% из клиноморфных выделений микроклинопегрита, ориентированное расположение кристаллов которого создает титаноциновый облик пород. Темноцветные минералы, на долю которых приходится около 10% объема породы, представлены эгирин-эвгитом, эгирином, полумелочной или мелочной роговой оманкой и биотитом. Изредка отмечается плагиоклаз (олигоклаз-андезин № 25-32). Повсеместно развивается албит в перлитах замещения, в реакционных камях по микроклину и в интрузивных. Акцессорные минералы представлены сфеном, апатитом (до 2,3 кг/т), ортитом, рутилом, торитом, пирроном, магнетитом (до 40 кг/т), халькопиритом, таленитом, швелитом,

молибденитом. Вблизи с зоной фенитизации отмечается широкое развитие процессов более позднего метасоматоза, приведшего к появлению нефелиновых сениитов с похлитовой структурой, которые имеют постепенные переходы со шлочными сениитами и фенитами.

Нефелиновые сенииты отличаются от шлочных сениитов наличием новообразованных агрегатов ортоклаза, калиофлита (?), а также часто канкрипитизированного нефелина (до 5-10%) с характерными симплектиковыми структурами. Темноцветные замещающие агрегаты бурого биотита и граната. Помимо нефелинизации и албитизации отмечаются, видимо, более низкотемпературные процессы метасоматоза, проявленные в локальных зонах с образующим крупнозернистых слабо диспергизированных красных эгириновых микроклинов с кварцем (каньон р. Саку, Мудуринский шток). Либеритизированные сенииты состоят (в %) из пелитизированного микроклина-перлита - 95, лимонита - до 1, албита - до 1, эвгита и эгирин-эвгита - 1-2, кварца - 1-2. Акцессорные минералы: ортит, пиррон, рутил, сфен, апатит, флюорит, гранат, магнетит (до 120 кг/т), климентит.

II ф а з а - д и о р и т н ы й (  $\xi_2, Pz_2$  ). Диориты II фазы Сакунского комплекса встречаются в виде небольших штокообразных тел вдоль западного контакта Сакунского массива. На южном фланге массива диориты пронизаны шлочными сениитами и фенитами I фазы, а также риннотрогерозовидные гранитоиды кувандицкого комплекса. Диориты отмечаются и в пределах Мудуринского штока. Диориты - темно-серые и серые породы, мелко-, даже среднезернистые. Они состоят из плагиоклаза (андезин-лабрадор № 50-65), зеленой и зеленовато-роговой оманки - 15-25%, редко отмечается гиперстен и хлоритизированный и эгиритизированный биотит. В небольших количествах (до 5%) наблюдаются коеноморфные выделения кварца и микроклина. Акцессорные минералы: сфен, апатит, ортит, пиррон, магнетит.

III ф а з а - т р а н о д и о р и т н ы й (  $\xi_3, Pz_3$  ), сениито-диориты (  $\xi_3, Pz_3$  ). Эти породы занимают около 40% площади Сакунского массива, обнажаясь на его южном и на северо-западном флангах, и отмечаются в Мудуринском штоке. Трансдиориты и сениито-диориты либо связаны постепенными переходами (верховья р. Саку, либо между ними отмечаются более резкие, вероятно, интрузивные, контакты (верховья р. Хани). В экзоконтактах трандиоритов и сениито-диоритов Сакунского массива с метаспещивками и слюдястыми сланцами улукянской серии нижнего протерозоя наблюдается ореол ортогипсованных пород шириной 200 м и повсеместно проявленная, острое всего наложенная, сульфидная минерализация похлито-

вкрапленного типа. В андлоконтактах отмечается обилие коеноидов и мелких пород, обогащенные темнопигментными минералами и сравнительно более мелкозернистое сложение. Трансидиориты и сиенитидиориты проявляют шлошные и нефелиновые сиениты I фазы, мелкозернистые диориты II фазы и содержат в себе их ксенолиты.

Породы третьей фазы включают в себя целую гамму переходных между трансидиоритами - сиенитидиоритами разновидностей; кроме трансидиоритов и сиенитидиоритов отмечаются кварцевые сиенитидиориты, кварцевые диориты, транссиениты как мелкозернистые (до 25% темнопигментов) в андлоконтактах, так и лейкократовые в центральных частях массива. Все вышеназванные разновидности серого, розоватосерого цвета, среднезернистого сложения с неравномерным распределением темнопигментных минералов. Породообразующие минералы (в %): зональный плагиоклаз (от андизина № 40-50 до олигоклаза № 20) - 40-65, микроперлитовый калиевый полевой шпат - 20-35, кварц - 1,5-20, злирши и злирши-эвгит - 1-13, роговая обманка - до 10, биоксит - до 10, акцессорные минералы (апатит, магнетит, сфен, пирон, ортит, флюорит) - до 3. Вторичные минералы - апатит, серпентин, текстуры массивные, структуры типичноморфнозернистые с изменениями моноклиновой, трахтоидной, самшитовой.

IV фаза. Гранозиты (гт рз.) Трансидиориты IV фазы наблюдаются в пределах Сакунского массива, где они проявляют фениты, шлошные и нефелиновые сиениты I фазы (среднее течение р.Саку), а также сиенитидиориты и трансидиориты III фазы (верховья притока безымянных притоков р.Саку). Тела трансидиоритов сложены лейкократовыми, розовыми, мелкозернистыми породами, в акзоконтактах которых отмечается слабое окварцевание и пелитизация вмещающих сиенитов. В андлоконтактах выделены изменения не установлено. Трансидиориты состоят (в %) из микроклин-перуитового полевика и роговой обманки - 3-5. Акцессорные минералы представлены апатитом, цирконом, сфеном, ортитом, магнетитом. Вторичные минералы - апатит и кальцит. Текстура массивная, структура равномернозернистая, гранулитовая и типичноморфнозернистая.

Жидкая фаза - сиенитидиориты (гт рз.) и гиты (гт рз.) слыват дайки, пространными пророченными к массивам палеозойских шлошных интрузий. Большая часть протяженных даек расположена в окрестностях Мурудинского шлока, некоторые из них контролируются мезокальциевыми разломами в 12 км к северу от него. Маломощные дайки сиенитидиоритов

фигур выполняют субширотные трещины в зоне западного контакта Сакунского массива.

Дайки сиенитидиоритов и гиты имеют мощность до 40 м и протяженность до 2-3 км имеют призматические контакты с породами архея и раннепротерозойскими гранито-гнейсами.

Сиенитидиориты - розовые порфиритовые породы с основной массой трахитовой структуры, сложной агрегатом микролитов кварцевого полевого шпата, ничтожным количеством апатита, магнетита и сфена. Вкрапленники, составляющие 15-20% породы, представлены крупными (5 мм) розовыми выделенными нерешетчатого кварцевого полевого шпата.

Гиты - порфиритовые породы с плотной, зеленоватосерой, тонкозернистой основной массой, состоящей из олигоклаза (?), нефелина, канкрита и значительного количества тонкокристаллического злирши. В порфиритовых выделенках, составляющих 3-5% породы, отмечаются крупные (5-7 мм), таблитчатые выделенки розового цвета этого микроклина.

Палеозойский возраст Сакунского комплекса установлен на территории, расположенной к югу от границы территории джета, где шлошные породы, выделенные описанным, проявляют отложения кембрий, в контактах с нижней кры содержат их галек. Рядомолитический определений возраста пород Сакунского массива (В.М. Комарова, Вайт) свидетельствуют о его палеозойском возрасте табл. 7.

Таблица 7

№ п/п	Характеристика пород и место взятия выделов	Метод определения	Возраст, млн. лет
1	Микроклиниты I фазы, р.Саку	Калий-аргонный	268
2	Сиениты I фазы, верховья р.Саку (три определения)	"	283
3	Сиенитидиориты III фазы, верховья р.Хани	"	252
4	"	"	329
5	" (для определения)	"	344
6	Трансидиориты IV фазы, р.Саку	"	329

Породы Сакунского массива, образовавшиеся в результате многообразных метасоматических и магматических процессов, проявившихся в тектонически освоенной зоне, относятся к гранитоидной щелочной фации. Метаморфические особенности щелочных и нефелиновых снгитов (альбитизация и флюоритизация, наличие редкоземельных апгесордов — таких как торит и цитрон) в целом благоприятны для заключения о возможной локализации как в самых щелочных породах, так и за их пределами рудопроизводительных редкородных руд, так и за их пределами рудопроизводительных редкородных руд. С гипотетической фазой, завершающей становление Сакунского массива, связано образование небольших по размерам прожилково-вкрапленных сульфидных зон, несущих неравномерную медь, медно-молибденовую и бедную золото-сульфидную минерализацию.

#### К в а р ц в е ж и л д н

Эти жилы развиты среди нижнепротерозойских гонд удоканской серии. Мощность жил до 2 м, длина до 10 м. Некоторое жилы содержат халькопирит, телурит, молибденит, пирит. Кварцевые жилы содержат раннепротерозойские пермита чуйско-кодарского комплекса (Верховья р. Хани); кварцевые прожилки локализованы в экзоконтактах палеозойского Сакунского массива или вблизи его, что в какой-то мере свидетельствует об их палеозойском возрасте.

#### ТЕКТОНИКА

Территория листа 0-50-XXX расположена в южной части Сибирской платформы на стыке ступеней, образующих чарской серии архея и удоканской серии нижнего протерозоя. Обширная площадь, сложенная удоканской серией, выделена в Кадаро-Удоканскую ступенчатую-формационную зону (Салоп, 1967). В настоящее время существует две тектонические схемы региона. Согласно первой (Салоп, 1964, 1967), Кадаро-Удоканская зона входит в состав Байкальской складчатой области, обрамляющей с юга Чарско-Алданский шит, причем удоканская серия складывается в неотектоническом этапе развития. А. М. Лейтес (1965) кроме архейских ступеней, сформировавшихся в прототектоническом этапе развития, выделяет область нижнепротерозойской складчатости, обрамляющей Алданский шит, а также область Байкалца, расположенную лишь западнее Байкала. Он считает нижнепротерозойские отложения удоканской серии протоплатформен-

ными образованиями, локализованными в пределах Кадаро-Удоканской зоны протоплатформенного прогиба.

В соответствии со взглядами А. М. Лейтеса в рассматриваемом районе выделяются структуры архейского прототектонического прогиба (нижний структурный комплекс) и нижнепротерозойского прогиба (верхний структурный комплекс), которые соответственно с раннепротерозойскими интрузивными формированиями складчатые структуры фундамента эпиранинепротерозойской платформы. Помимо этого выделяются фрагменты верхнепротерозойского платформенного чехла, интрузивные массивы позднепротерозойского и палеозойского тектоно-магматических этапов аккумуляции платформ (рис. 1).

С к л а д ч а т н е с т р у к т у р н ы ф у н д а м е н т а в п и р а н н е п р о т е р о з о й с к о й п л а т ф о р м е

#### Н и ж н и й с т р у к т у р н ы к о м п л е к с

Объединяет глубокотектонические породы чарской серии архея, состоящие в крутые субмеридиональные линейные складки.

В районе выделяются две антиклинали: Турчанская, ядро которой сложено давачанской свитой (бассейн рек Эбгахлур, Ивобьен, Мурдан), и Токканская, ядро которой складывается из свиты (междуречья Токко — Таран-Драх). Ось Турчанской антиклинали имеет меридиональное простирание, а ее ширину поперечается к северу и югу. Видимая протяженность складки 40 км. Восточное крыло антиклинали осложнено линейными, часто святими синклиналями и антиклиналями шириной от 4 до 12-15 км и падением крыльев от 30 до 70° (междуречья Эбгахлур — Таран-Драх). Турчанская антиклиналь отдалена от расположенной восточнее Токканской антиклинали грабеном, выполненным нижнепротерозойскими отложениями. В ядре антиклинали развиты святие и неотектонические антиклинали и синклинали второго порядка с падением крыльев 50-70°. К востоку от Токканской антиклинали расположена моно-клиналь, наклоненная на восток под углом 50-60°. В бассейне р. Но-Кель простирание архейских структур север-северо-западное; здесь обнаруживаются фрагменты ядра антиклинальной складки, основная часть которой расположена за пределами территории.

Архейские структуры сформировались, скорее всего, в результате наиболее ранних складчатых движений. В нижней структурном комплексе выделяются граниты, образовавшиеся в результате гранитизации и ультраметаморфизма.

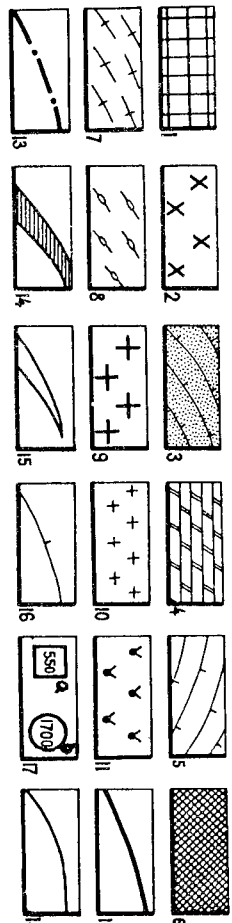
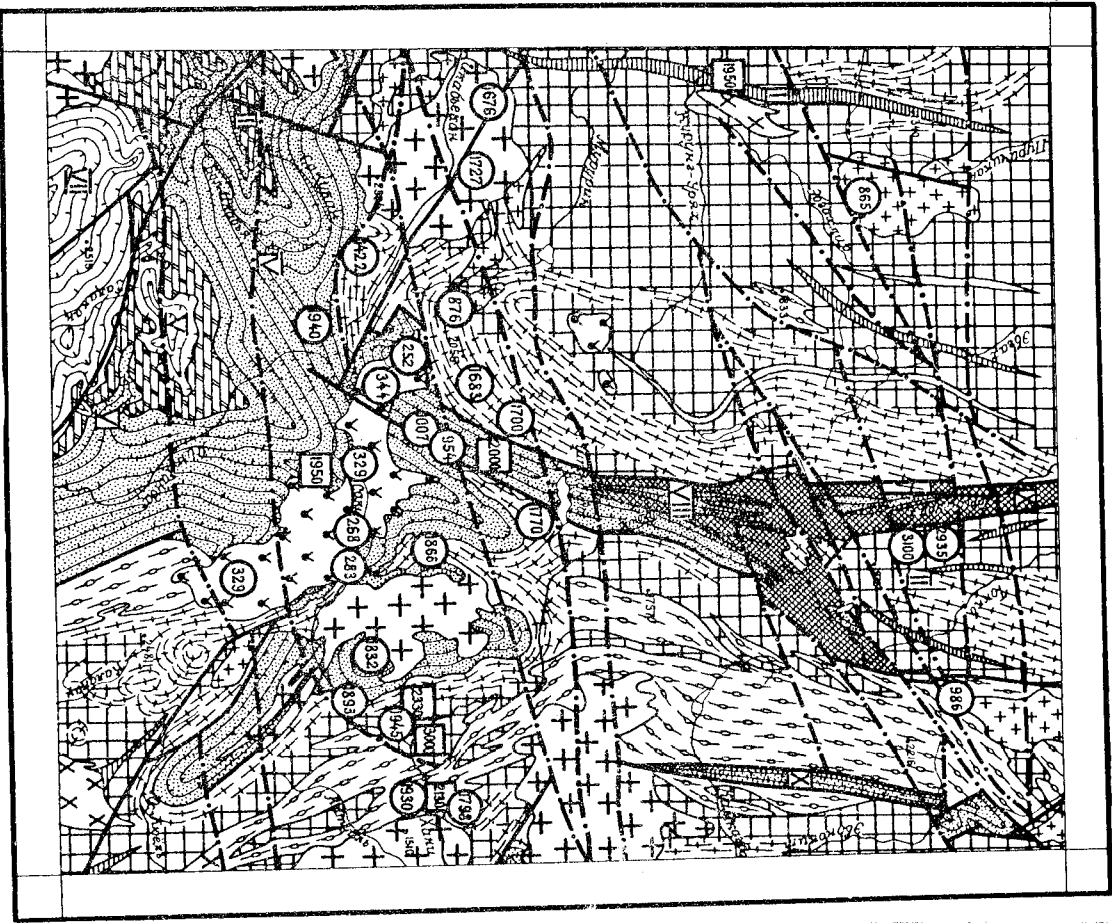


Рис. 1. Тектоническая схема

Складчатое основание эоценопротерозойской платформы. Нижний структурный комплекс: 1 - крупные субэридинальные линейные складки в глубокометаморфизованных породах чарской серии архей. В зонах интенсивной раннепротерозойской гранитизации - митатитовые купола, "чаши", межкупольные килевидные синклинали и гребневидные антиклинали; 2 - синклинальные архейские граниты. Верхний структурный комплекс: 3 - простые, открытые, симметричные брахиантиклинальные складки, образованные породами глинисто-песчаной формации иквобской-чигайкинской свит. В зонах разломов узкие линейные синклинали и антиклинали; 4 - те же складчатые формы, образованные породами терригенно-карбонатной формации александровской и бутуновской свит; 5 - широкая мультисубразная синклиналь, образованная породами песчаной формации сахалинской свиты; 6 - раннекладчатые породами раннепротерозойские интрузивы ортоамфиболитов тепранского комплекса; 7 - гранито-гнейсы, гнейсо-видные граниты и гранитизированные породы раннепротерозойского этапа гранитизации и ремобилизации архейского кристаллического щита (1-й фаза куандинского комплекса); 8 - раннепротерозойские метасоматические гранитоиды (2-й фаза куандинского комплекса в зонах диванометаморфизма); 9 - посткладчатые интрузивы гранитоидов чуйско-коларского комплекса. Интрузивные "часовые пояса" протерозойского и палеозойского этапов тектоническо-метаморфической активизации платформы; 10 - приразломные позднепротерозойские (?) интрузивы гранитов; 11 - приразломные палеозойские интрузивы шелочных и нефелиновых сиенитов и шелочных гранитоидов. Прочие обозначения: 12 - разломы архейского времени заложения, долготажушие, местами отраженные в верхнем структурном комплексе; 13 - разломы раннепротерозойского времени заложения, долготажушие; 14 - ось антиклиналей архейских складок; 15 - ось синклинали архейских складок; 16 - структурные линии (стратосиолисы) в нижнепротерозойских породах; 17 - места отбора проб на определение абсолютного возраста. Методы определения: в) свинцовый и б) калий-аргоновый. 18 - геологические границы. Римскими цифрами на схеме обозначены структурные антиклинали: I - Пурчиканская, II - Токканская, III - Иквобская, IV - Чигайкинская. Синклинали: V - Бутунская, VI - Валканская, VII - Талканская, VIII - Оюндинская, IX - Тарын-Дрякский, X - Ичгайский.

Археюские структуры, переработанные в эпоху раннепротерозойской гранитизации, в современном своем виде сохранили структуру раннепротерозойских гранито-гнейсовых куполов и "чаш" (гранито-гнейсовые купола - структуры антиклинальной формы, в "чашах" - синклиналиподобной формы). Структуры, созданные митматизированными и гранитизированными гнейсами архея, развиты, главным образом, на юго-востоке района и в его центральная части, вплоть до границы с прогибом, сложным нижепротерозойскими породами удюканской серии. Митматитовые купола и "чаша" имеют в плане овальные очертания и большей частью пологие падения (10-30°) гнейсовости. Отдельные купола, иногда вытягиваясь, переходят по простиранию в преобладающие антиклинали (митматитовые валы) либо кизвидные синклинали с крутыми (до 70°) углами падения гнейсовости.

Наиболее крупный митматитовый купол с радиусом 6 км располагается в верховьях рек Хани, Икабьекан и Муудрин. Внешняя (южная) часть купола, сложенная раннепротерозойскими гранито-гнейсами и гранитизированными породами, принаклет к тектоническому шву, являющемуся в пределах рассматриваемого района северной границей Коларо-Дюканского прогиба. В северной части купола располагается митматизированные гнейсы архея, элементы залегания которых подчинены внешнему гранито-гнейсовому оформлению. На юго-востоке района на водоразделе Калакан - Ю-Кюэль отмечаются две изометричные "чаша" диаметром 1,5-2 км, смежные с вытянутой в северо-западном направлении (параллельно долине р. Ю-Тянутуй в северо-западном направлении) параллельно долине р. Ю-Кюэль) антиклиналь в. Падения гнейсов в "чашах" 30-35°, в антиклинали от горизонтальных в замке до 35-40° на крыльях. От вершины р. Калакан к северу-северо-западу протягивается еще одна вытянутая структура, в пределах которой (междуречье Калакан - Ю-Кюэль и Калакан - Саку) фиксируется две изометричные (кольцевые) синклиналиподобные складки с наклоном гнейсовости 30°. В крыльях и ядрах описанных структур располагаются раннепротерозойские гранито-гнейсы с элементами гнейсовости, андологичной митматитовым куполам и "чашам". Оригинальной структурой является синклинали, протягивающаяся от р. Ю-Кюэль на северо-запад до широтного участка р. Хани. Длина структуры по оси 28-30 км, размах крыльев от 10 до 8 км. Ее крылья образованы гранитизированными породами каляканской свиты архея, ядро складки метаморфизованные породы кивейской свиты нижнего протерозоя.

Заложены в археюскую эпоху тектогенеза разрывные нарушения образуют две системы: субмеридиональную и северо-запад-

ную. Субмеридиональные нарушения возникли, вероятно, одновременно с субмеридиональными складчатыми структурами архея и являются протяженными круглоциклическими глубокими разломами. Последствия по этим нарушениям развивалась зона дислокационного метаморфизма шириной от 50 и до 8-14 км. Глубинный и долговязый характер субмеридиональных разрывов подтверждается тем, что часть их ограничивает грабени, выполнение нижепротерозойскими отложениями, и контролирует выделение раннепротерозойских ультрабазитов и позднепротерозойских (?) гашебазитов и гранитов. Помимо линейнометаморфизма в зонах субмеридиональных разломов широко проявился процесс раннепротерозойского метасоматоза, выразившись в микроклинизации мигматов и катаклизитов вплоть до образования метасоматических гранитоидов. Северо-западные разрывы отщипываются от вышеописанных нарушений меньшими размерами зон митматизации и катаклиза (до 100 м). Эти разломы сопровождаются тектонитами и мелкими святими, иногда опрокнутыми окладками, чем и доказывается древний возраст их заложения. Наиболее крупный разлом северо-западного направления проходит вдоль долины р. Ю-Кюэль. Здесь отмечается зона (до 2,5 км ширины) субпараллельных оближенных (0,3-1,5 км) разрывов круглоциклических (70-80°) на пл. Крайний северо-восточный шов зоны Ю-Кюэльского разлома разгрягивает гранитизированные породы архея и метаморфизованные нижепротерозойские породы кивейской свиты. Северо-западное продолжение зоны Ю-Кюэльского разлома заложено позднее протерозойскими (?) гранитами и палеозойскими шлочными и субшлочными породами Сакунского массива. Большинство из заложенных в архею разрывов сохранили овод мобильность и в последующие периоды геологической истории. Поэтому те из них, которые фиксируются в верхнем структурном комплексе и имеют северо-западное и субмеридиональное простирание, могут рассматриваться в качестве отраженных разломов археюского цикла.

Большая мощность и первично линейные протяженные складчатые структуры архея свидетельствуют о возможно протогоеоинклинальном (по терминологии Е.В. Лавловского) характере его развития. Археюский этап развития (накопление эффузивно-осадочных и осадочных толщ, которые в результате метаморфизма были превращены в амфиболиты, амфибол-пиперитовые, биотит-амфиболиты, биотитовые и гранатосодержащие слитковые гнейсы и кристаллические сланцы; складчатость, палингено-метасоматические граниты) завершился на рубеже 3000-3100 млн. лет.

Верхний структурный комплект сформирован породами нижнепротерозойской улуканской серии, залегающей со стратиграфическим несогласием на архейских толщах. Накопление многокилометровой толщи улуканской серии произошло в двух структурно-формационных зонах, образовавшие которых связано с этапом мощных дифференциальных движений архейского кристаллического покрова. Первая структурно-формационная зона - зона устойчивого прогиба, вторая - зона относительно устойчивых поднятий.

Зона устойчивого прогиба охватывает площади бассейнов рек Бол.Икюбья, Сакукан и Читканди и относится к северо-восточной части обширного Колдиро-Улуканского прогиба (по Лейтесу) прогиба, простирающегося далеко на юг и юго-запад за пределы района. Отложения улуканской серии представлены здесь всеми подержными и имеют суммарную мощность около 12 тыс. м. В пределах района северная и восточная границы прогиба с архейскими структурами, большей частью переработанными раннепротерозойской трансформацией - тектоническое (р.Сакукан, верховья рек Икюбьякан и Читканди). Северо-восточная граница прогиба залечена интрузивной палеозойских щелочных и субщелочных пород и частично раннепротерозойскими метасоматическими трансформациями II фазы куандинского комплекса.

Зона относительно устойчивых поднятий располагается к северу и северо-востоку от указанных трендов и охватывает более 75% площади района. В этой зоне образованы, формируются верхний структурный комплекс, располагаются ядро в локальных вложенных синклинальях (междуречье Ко-Кюэль - Саку - Хани), ядро в тектонических трендах (река Олондо, Тарын-Юрх, левобережье р.Эвонокит) и представлены только икюбийской свитой мощностью до 2500 м.

В Колдиро-Улуканском прогибе преобладают простые симметричные брахиоклиналильные складки, образованные породами лингистопеучаной формации икюбийско-читкандинской свиты, терригенно-карбонатной формации александровской и бутунской свит, а также выделены широкая мультисубразная синклиналь, образованная породами песчаной формации сакуканской свиты. В зонах разломов, большая часть которых является структурными расколами кристаллического покрова, формируются узкие линейные синклинали и антиклинали, которые наиболее типичны для зоны устойчивых поднятий.

Ядро тектонических контактов окраины прогиба обычно моноклиналиные (в сторону от контактов) наклоняются над углом 50-70°. Ближе к центральной части прогиба отмечается усложнение складчатости. Здесь наблюдаются три открытые синклинали (Сакуканская, Бутунская и Талаканская) и две приазомные антиклиналильные складки (Икюбийская и Читкандинская). Сакуканская синклиналь осложнена синклиналями второго порядка, большая часть которых располагается вдоль ее индентурирующей шариры северо-восточного (правобережье р.Бол.Икюбья), субширотного (междуречье Бол. Икюбья - Сакукан) и вновь северо-восточного (на месте воздымания шариры, верховья р.Сакукан) простирания. Крылья Сакуканской синклинали, сложенные породами икюбийской - икюбской свит, падены под углами от 50° до 60° (северное и северо-восточное крылья), до 40-45° (южное и юго-восточное крылья). Синклинали второго порядка, образованные породами читкандинской - бутунской свит, выделены центральную часть основной структуры, имеют линейную протяженность оси до 8 км) и брахиформную конфигурацию, падены (протяженность оси до 60°). Сакуканская синклиналь на юго-востоке соприкасается с Икюбийской антиклиной. Периглициальный замок этой антиклинали располагается в месте резкого изгиба р.Бол.Икюбья, где складка имеет складку узкую линейную форму (40-60°). Икюбийская антиклиналь, ось которой совпадает с северо-восточным разломом, залеченным дайкой позднепротерозойских (?) гранитоидов, расширяется к северо-востоку и на участке воздымания шариры (верховья р.Бол.Икюбья) переходит в моноклинали (30-70°) северной окраины прогиба.

Икюбийская антиклиналь разделяет Сакуканскую и Бутунскую синклинали. Последняя занимает междуречье Бол.Икюбья, Талакана и Читканди. Ось этой широкой структуры протягивается от верховьев р.Талакан на северо-восток к верховьям р.Саку. В том же направлении происходит и воздымание ее шариры. Северо-западнее крыла синклинали, образованное породами читкандинской свиты, падены под углом 30-45°. Местами отмечается усложнение крыла более мелкими складками. На участке воздымания шариры углы падения складки - 35-20°. Восточное крыло структуры осложнено ядром поперечными складками, углы падения крыльев, образованных здесь икюбийско-читкандинской свитами, колеблется от 30° до 60°. Центральная часть Бутунской синклинали имеет сложное строение. Породы бутунской и александровской свит образуют здесь ряд мелких, часто поперечных основному направлению, крутых (50-60°) складок, которые срезаны ориентально пологими (от 5-10° - верховья р.Тар-

дажен до 20-30°) структурами, образующими несвязными связующей свиты; последние заходят со стратиграфическим, в местами и с угловым несогласием на подстилающих породах.

Читкилинская интрузивная пророчка к зоне северо-западного разлома, проходящего поперечно всем основным направленным прослоям, выше охарактеризованных складок, от Верховьев рек Сред. Талыкан и Талыкан в долину р. Бог. Кюель. Ось складки согласна на контрполюсному разлому. Ее северо-восточное крыло является одновременно крылом Бутунской синклинали. Юго-западное крыло образуют породы Бутунской, александровской и читкилинской свиты, которые имеют подчиненное разлому прослоение. Вблизи тектонического шва указанные породы падает на юго-запад (50-80°). Они интрузивно дислоцированы, микровентилированы и каталогизированы, эпидотизированы, хлоритизированы и окварцованы. Среди доломитов и известковистых известняков Бутунской свиты в зоне разлома развиты сингенетические брекчии и конгломерато-брекчии, которые свидетельствуют о долгоживущем характере нарушения, вплоть которого безразлично происходила дивергенция, достигшие своей кульминации в предсакунское время. Сакунская свита, которая образует крылья разложенной ниже Талыканской синклинали, в зоне разлома нарушена сравнительно слабо; заметна она почти горизонтально (5-10°), либо под небольшими углами (30°) на дислоцированных ниже нижележащих Бутунской и отчасти александровской и читкилинской свитках. Читкилинская интрузивная разломляется к востоку, ее крылья выдвигаются (40-50°) и сдвигаются со структурами юго-восточного крыла Бутунской синклинали. К западу же Читкилинская интрузивная суживается, углы падения слоев достигают 60-80°, иногда вертикальные. Нередко наблюдаются и опрокинутые залегания слоев. Фрагменты этой поперечной, предразломной структуры отмечены в Верховьях кп. Торки и р. Амудуша.

Широкая мультисубразная Талыканская синклинали образована породами сакунской свиты. Талыканская синклинали, которая выходит далеко за пределы района, имеет брахиформные очертания, умеренные углы падения крыльев (25-45°). Вблизи с разломом отменяется более крутые (до 70°) залегания слоев.

Нижепротерозойские структуры в зоне относительно устойчивой полиэпидотит представляются либо синклиналими, вложенными в тело триэпидотитованного и ремоделизованного архейского фундамента, либо узкими линейными складками приразломными складками в пределах ограниченных швами глубокых разломов.

Структуры первого типа представляются несколькими синклиналими, расположенными на юго-востоке района. Наиболее крупные синклинали, сложенная породами кивийской свиты, располагается на междуречье Юс-Кюель - Хани - Саку. Ось ее протягивается с юго-востока на северо-запад на 28-30 км. Ширина складки от 3 до 8 км. В зоне возмущения шарира этой структуры (р. Юс-Кюель) падения слоев не превышают 30°, к северо-западу крылья синклинали сорваны по разломам, правые скланы, слагающие северо-восточное крыло, падает на юго-запад под углами 40-45°, в юго-западное крыло подвернуто по линии взброса, а слой здесь имеет либо почти вертикальное, либо юго-западное крутые (70-80°) углы падения. Осевая часть синклинали нарушена многочисленными согласными разломами, контролируемыми раннепротерозойские интрузии. К северо-западу, на междуречье Хани - Саку, окривляется синклинали из среднеглыбоко-узкой линейной структуры превращается в брахисинклинали (падения крыльев 20-30°), центральная часть которой занята линколитооподобными массивом раннепротерозойских гранитов. Западнее фиксируется еще одна синклинали с северо-восточным прослоением осм и пелликами крыльев от 30 до 40° (правый водопад р. Сакунки, к юго-востоку от оз. Читкилин). Характерной особенностью синклиналей в зоне устойчивых попятки является их падение согласно с подстилающими триэпидотитованными породами архея.

К структурам второго типа относятся грабен: Олондинский, Тарын-Юрхский и Итчиликский. Олондинский грабен протягивается от вершины Хани и Сакуна, где его ширина равна 2,5 км, на северо-северо-востоке. Вдоль долины р. Оюндю в Верховья р. Токко. Максимальная ширина грабена - 11 км (в районе водопада Оюндюсеверу (вершина р. Токко) грабен выклинивается, переходит в меридиональную тектоническую зону. Тарын-Юрхский грабен ответвляется от Олондинского и протягивается от водопада Оюндюсеверу-Юрх, где имеет ширину 11 км, на север вдоль долины р. Тарын-Юрх, суживаясь здесь до 2-3 км. Протяженность Олондинского грабена - 45 км, Тарын-Юрхского - 20 км. Отчиликский грабен протягивается на 22 км от р. Каминда на север до вершины р. Эвонокит. Ширина грабена 0,8-1,5 км. На северном фланге он резко расширяется до 3-5 км и имеет в плане многоугольную конфигурацию. Породы кивийской свиты, выходящие грабены, сбиты в крутые симметричные (45-80°) синклиналине складки (Олондинский, Итчиликский грабены) либо образуют опрокинутые синклинали с крутым (до 80°) падением осевой плоскости (Итчиликский, Тарын-Юрхский грабены), реже

отмечается сочетание скатых крутых (60-80°) синглинадей и анти-клиналей с размахом крыльев 0,5-2 км (северный фланг Инчильского гора преобед). Скалчатые структуры преобед осложнены параллельными и секущими разломами, в пороги, их выполняющие, пронизаны телами раннепротерозойских оловитов.

Разрывные нарушения нижепротерозойской эпохи тектонеза подразделяются на субмеридиональные и северо-западные разломы, которые являются отрезанными разломами ардейского цикла, и субширотные и северо-восточные разломы, видимо, протерозойского цикла. Субмеридиональные и близкие к ним отрезанные разломы в пределах Кодаро-Доканского прогиба развиты слабо. Один из них (бассейн р. Джелтукта) ориентирован прогиб с востока, имеет крупное западное падение (30°) и сопровождается довольно широкой (1-1,5 км) зоной расчленения. Ряд крутопадающих субмеридиональных разломов располагается на крайнем западе района и сопровождается среднеглыбоко узкими (15-150 м) зонами катякыза, мелко-нелазавии и расчленения. Амплитуды перемещений по отрезанным разломам, видимо, не превышали первых сотен метров.

Северо-восточные и субширотные разломы развиты широко. Часть их осложняют структуры преобед и сопровождаются зонами миконитов, в один разлом отрезывается с севера нижепротерозойский прогиб от выступа ардейских образований и зон трансформации. Он представляет собой крутопадающий (70°) на юг сброс с амплитудой не более 100-150 м. Как правило, северо-восточные и субширотные разломы имеют крутые углы падения плоскости смещения и сопровождаются среднеглыбоко узкими (50-100 м) зонами катякыза и миконитов. Эти разломы контролируют внедрение раннепротерозойских (?) даек габбро-диабазов.

Из приведенной характеристике всех разломов видно, что они являются долгоживущими, в многие из них проявились и в каменноугольном периоде. Долгожизненность структур современного рельефа. Судя по мере, в основном вертикальные, амплитуды смещения по некоторым долгоживущим разломам достигают 1000-1500 м.

Согласно положению линейно-выступов, крутопадающих тел раннекаменноугольных оловитов тепранского комплекса во впадинах толщ в трубах обусловлено совпадением простирания впадинных пород с направлением основных контролируемых разломов.

Большую роль в формировании структур района сыграли раннепротерозойские трансформации I фазы кувандицкого комплекса, которые возникли в результате ультраметаморфизма и антексиса в ардейском кристаллическом цикле. При этом породы ардейского цикла претер-

пели пластичные деформации, выраженные в образовании трансформационных куполов и "чаш". Выявленное соподчинение структур современным нижепротерозойским толщ локальным вторичным структурами ремоделированного архая, при явном стратиграфическом и региональном структурном несогласии этих комплексов, характеризует специфику их структурно-стратиграфических взаимоотношений. Можно предположить возможность взаимосвязь процессов становления Кодаро-Доканского прогиба и трансформации, которая, зародившись в кристаллическом основании, может пройти все стадии от антексиса, палингенеза (I фаза кувандицкого комплекса) и метасоматоза, прорывленного вдоль мощных зон дислокационного метаморфизма (II фаза кувандицкого комплекса), до образования магматического интрузивного расплава и внедрения его в верхние горизонты земной коры (шкорообразные и внедрения поперечные, реже линейные трещинные тела чужко-кодарских гранитов). После внедрения чужко-кодарских гранитов (1850-2000 млн. лет) структуры архая и нижнего протерозона приобрели жесткость, образовав гетерогенный фундамент эли-раннепротерозойской платформы.

Верхнепротерозойский платформенный чехол, образованный подоглаженными карбонатно-терригенными отложениями сельской свиты, сохранился в двух небольших изолированных тектонических блоках. На тектонической схеме эти фрагменты чехла не показаны из-за очень небольших размеров.

#### ИНТРУЗИВНЫЕ МАССИВЫ ПОЗДНЕПРОТЕРОЗОЙСКОГО И ПАЛПРОЗОЙСКОГО ЦИКЛОНА-МАГМАТИЧЕСКИХ ЭТАПОВ АКТИВИЗАЦИИ ПЛАТФОРМЫ

Предполагается, что активизация тектонической деятельности в верхнем протерозое связана с формированием в это время определенной с широты Верхне-Кавказской депрессии. Все позднепротерозойские (?) интрузивы, известные в районе (дайки габбро и гитеробазитов доорского комплекса и трещинные интрузивы гранитоидов), располагаются в теле платформенного основания, используя для своего внедрения ожилы в верхнем протерозое разломы и тектонические осадочные зоны более древнего залегания. Этап позднепротерозойской активизации платформ завершился на рубеже 1000-1100 млн. лет.

Палеозойские шедочные и субшедочные интрузивы, внедрились по наиболее осадочным зонам глубоких разломов на рубеже 340-250 млн. лет.



Муруринского штока, большая часть которого перекрыта рыхлыми отложениями.

## ГЕОМОРФОЛОГИЯ

Современный рельеф района представляет собой сочетание двух основных тегетических групп: скульптурной и аккумулятивной (рис. 3).

### Скульптурный рельеф

Дополненная денудационная поверхность в районе (5-8°) рельефа, в пределах которой отмечаются небольшие куполообразные возвышенности высотой 40-50 м. Поверхность плоских водоразделов покрыта крупнолыбовым эльфом, на фоне которого выступают редкие денудационные останцы коренных пород. Эта поверхность в результате новейших движений была переделана на различные гипсометрические уровни.

На относительно стабильных участках на северо-западе района (междуречье Мурурин - Эгтахир) реликты денудационной поверхности сохранились на сравнительно широких плоских водоразделов. Здесь она располагается на абсолютных уровнях 1000-1300 м и местами погребена под средневетеручными рыхлыми отложениями. Минимальные абсолютные уровни выровненной поверхности (1000 м) отмечены в аналогичном уровне неогеновых (а, возможно, и верхне-мезозойских) поверхностей Байкало-Татского нагорья (Золотарев, 1964), которые маркируют относительно стабильное соотношение региона к началу плицена. На участках относительно умеренных поднятий (верховье рек Эгтахир, Курун-Арак, бассейн рек Олондо, Хани, Камканд) реликты этой поверхности представляются на высотах 1300-1800 м. На участках максимальных поднятий реликты выровненной поверхности располагаются на высотах 1800-2300 м (бассейны рек Чатканд, Ю-Кюль). Помимо этих перемещений, связанных со значительными деформациями коры (вплоть до 1000-1200 м), на отдельных плоских водоразделах отмечаются и более мелкие локальные поверхности выравнивания, в результате чего создаются многоступенчатые строение водоразделов при высоте тектонических ступеней от 15-20 до 100-150 м. Дополненная возрост выровненных поверхностей водоразделов определяется тем, что к западу от района, в пределах хр. Улокан, аналогичные поверхности перекрыты плиценовыми базальтами (Буфеев, 1965б).

Плиоцен-нижнечетвертичный разрывной денудационный рельеф в основном занимает площадь междуречья Мурурин - Эгтахир, в центральной и юго-восточной частях района - бассейны рек Олондо, Хани и Ю-Кюль, а на юге территории - бассейны р. Чатканд. На северо-западе района на относительно стабильном участке развит в основном эрозивно-денудационный низкорослый слабообширенный рельеф, морфологически приближающийся к пологосклонному нагорью. Крутизна склонов здесь не превышает 20°, а энергия рельефа не более 300 м. Большая часть центрального и юго-восточного района относится к участку относительно умеренных поднятий. Здесь наиболее широко развит среднегорный рельеф расчлененный рельеф, который характеризуется более крутыми (до 30°) склонами. Относительные превышения достигают 500-600 м. На участке максимальных поднятий (бассейн р. Чатканд) развит высокогорный острый расчлененный рельеф. Реликты доплиценовой денудационной поверхности, поднятые здесь до уровня 2200 м, отмечаются в крайних редко. Расчленение интенсивное, относительные превышения достигают 800 м, склоны крутые (до 40°), иногда образуются водоразделы узкие.

Плиоцен-нижнечетвертичный рельеф в среднечетвертичное время подвергся денудационной обработке. Наиболее пониженные участки пологосклонного нагорья перекрыты рыхлыми средневетеручными отложениями, а на склонах и водоразделах отмечаются следы денудационной экзарзации и отдельные денудационные валуны. В пределах высокогорья наиболее крупные речные долины, такие как Чатканд, Та-дван, верховья Амудиса совместно с кл. Унар, приближались по своим формам к тротуарам, а дна долины выполнены средне-четвертичными ледниковыми отложениями. Средневетеручная ледниковая обработка плиоцен-нижнечетвертичного рельефа имеет драматичный облик, является наложенной и не может рассматриваться как самостоятельный тип рельефа.

Возраст эрозивно-денудационного рельефа определяется по аналогии с морфологическими ополочными рельефом, развитым к западу от района в бассейне рек Лурбун и Эманак (лист 0-50-XXXIV). В долинах рек Лурбун и Эманак известны кораллитные ступени рельефу плиоцен-нижнечетвертичные аллювиальные отложения (Музис, 1964д).

Верхнечетвертичные разрывной денудационный рельеф в основном выделен на востоке, юго-востоке и северо-западе района. К ним относятся меркциональный отрезок долины р. Хани,

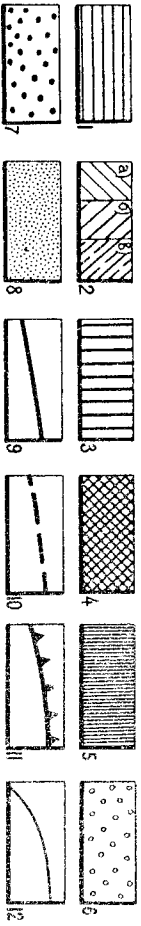


Рис. 3. Геоморфологическая схема

Скульптурный рельеф: 1 - долинкованная поверхность эрозионными; 2 - излощен-каменистый типичный эрозионно-ледниковидный рельеф; 3 - низкорослый слабо развитый на участках отложениями (сильный); 4 - среднерослый умеренно развитый на участках отложениями (умеренный); 5 - высокогорный сильно развитый (высокий); 6 - долинкованная поверхность эрозионными; 7 - долинкованная поверхность эрозионными; 8 - долинкованная поверхность эрозионными; 9 - долинкованная поверхность эрозионными; 10 - долинкованная поверхность эрозионными; 11 - разломы, выраженные крутыми уступами; 12 - геоморфологические границы.

р.Юз-Кыль, р.Эвонokit и верховья р.Курунт-Юрэх. Все эти долины врезаны в доплищеную денудационную поверхность вырванных-ния и плищен-нижневетвистый среднегорный рельеф. Они характерны глущими врезом (до 600 м), имеют круглые склоны и иногда каньонобразные формы. Возраст первоначальных долин определяется по комплексу сложенных в них рыхлых отложений, которые содержат в себе образованные древние верхневетвистые. Корректные описанию рельефу аллювиальные верхневетвистые отложения известны на рассматриваемой площади.

Верхневетвистый верховный верховный рельеф денудационный высочайший горный приурочен к участкам максимальных поднятий: между речью Амудия и Талканя; водораздельное пространство рек Читканди, Талкан, Амудия, Мурун, Курунт-Юрэх, Хани и Саку; водораздел рек Эвонokit, Олондо, Токко, Тарын-Юрэх, Эбгах, Курунт-Юрэх. Абсолютные максимальные уровни водоразделов этого рельефа снижаются с запада на северо-восток от 2500 до 2200 м. Как правило, верхневетвистый денудационный рельеф развивается по эрозивно-денудационному плищен-нижневетвистому высокогорному и отчасти среднегорному рельефу, при этом площади, занятые денудационным рельефом, занимают северные склоны поднятий. В результате дополнительного эрозивного расчленения и интенсивной переработки каровыми и горно-долинными денудациями был создан альпийский рельеф с относительной энергией до 1000-1200 м. Основные формы рельефа - кары, каровые трещины, пики, карлики, тропи. К этому же типу рельефа отнесены тундровые троповые долины, пересекающие участки более древнего рельефа.

Современные эрозивные долины доминируют в области своих формирования новейшим блоковым перемещением. Наиболее крупными эрозивными долинами этого возраста являются долины на перехватах в верховьях р.Сакукан и протяженный каньон р.Юз. Инабы. Повсеместно отмечаются также отдельные мелкие эрозивные каньоны, борозды, цирки, которые резко наложены на все более древние складчатые и аккумулятивные формы. Глубина современного врезания составляет 50-100 м. Корректные описанию долинам современные отложения выстилают днища всех крупных рек района.

Общее положение в складчатом рельефе занимают тектонические уступы, которые относительно друг друга на различные геоморфологические уровни. Они являются наиболее яркими геоморфологическими выражением новейших движений. Тектонический уступ, расположенный

шился вдоль северной границы территории, ограничивается с запада Токкинской котловиной, выходя к западу за пределы района, к востоку этот уступ индифицируется верхневетвистым морем. Бровка уступа выражена четко, ее превышение над подножием достигает 360 м, крутизна склона 45-60°. К югу от этого уступа на межречье Эбгах - Турккан располагаются два горных поднятия, водораздел которых занимает абсолютные уровни 1360 и 1548 м. Морфология уступов аналогична описанному выше, высота их колеблется от 200 до 400 м, крутизна склонов 40-60°, протяженность от 2 до 8 км. Крупный тектонический уступ располагается в бассейне р.Мурун. Он разграничивает депрессионную северо-западную часть территории от наиболее поднятой высокогорной юго-западной части. По геоморфологии и основным параметрам он аналогичен вышеописанным. Склоны всех тектонических уступов прогибаны современными эрозивными долинами, верхневетвистыми тропами и у подножья этих уступов формируются конусы выносов и денудационно-проливиальные предгорные шлейфы. В формировании тектонических уступов принимала участие движения различного времени. Поскольку на рассматриваемой площади разделение уступов по возрасту не представляется возможным, их возраст определяется как верхневетвистый.

#### Аккумулятивный рельеф

Средневетвистая моренная равнина развитая главным образом на северо-западе района, в бассейне р.Курунт-Юрэх. Моренная равнина располагается на покое доплищенной поверхности выравнивания и плищен-нижневетвистого пологоосклонного нагорья. Основными формами моренной равнины являются бесплещиночно разработанные холмы высотой 3-4, реже до 10-12 м и западины - плоские участки до 2-3 км ширины. Вершины холмов уплощенные, склоны пологие, углы незначительные, редко достигают 10°. Время формирования моренной равнины определяется возрастом сложенных ее средневетвистых отложений.

Верхневетвистый холмистый трапезный рельеф конических отложений и более отчетливо выражен по периферии крупных поднятий. Наиболее крупные моренные валы наблюдаются в долинах рек Токко, Тарын-Юрэх, по р.Олондо, у оз.Читканди и в бассейне р.Мурун. Рассматриваемый рельеф представляет собой окончание бесплещиночно разработанных

холмов и гряд высотой от 4-6 до 100 м и более. В некоторых случаях валы сглаживаются, образуя моренный шлейф подолья. Подложки между моренными холмами и грядами, как правило, заболочены или заняты небольшими озерами. Лучшее разнание конечно-моренные валы обычно имеют крутой (до 20°) внутренний склон приледникового контакта и несколько более пологий (до 15°) лобовой уступ. Возраст рельефа определяется по возрасту формирующих его образований (второй половина верхнечетвертичного времени).

С о в р е м е н н ы й р е л ь е ф в л т о в а л ь н о й л о й м н развит вдоль русла основных водотоков. Подняма высотой до 2 м, как правило, очень узкая, но на отдельных участках встречается расширение, образные озерам приосхождением развитий наледей.

В геоморфологическом развитии района можно наметить четыре основных этапа. Первый относится к доплистоценовому времени (верхний мел - палеоген), когда происходило формирование повзросности выравнивания. Второй этап охватывает период от начала неогена до конца среднечетвертичного времени; он характеризуется первоначально своловыми, а затем блоковыми движениями, разнанием по интенсивности расчленением участков и формированием эрозивно-денудационного среднегорного и высокогорного рельефа. На заключительной стадии этого этапа наиболее возвышенные аккумулятивные формы рельефа подвергались денудационной обработке, а на пониженных участках накапливались ледниково-аккумулятивные образования и формировалась моренная равнина. Третий этап характеризуется новыми интенсивными олоковыми движениями, оживлением линейной грядовой эрозии и локальным для района верхнечетвертичным оледенением. Происходило образование альпийских форм рельефа и холмисто-грядового рельефа моренных валов. Заключительный, четвертый этап относится к послеледниковому времени. Здесь отмечаются продолжающиеся сейсмическая активность, широким масштабом эрозийных процессов и незначительная аккумулятивная рыхлого материала в долинах современных долин.

## ПОЛЕЗНЫЕ ИСКОПАЕМЫЕ

На территории листа 0-50-XXX известно 120 проявлений и месторождений полезных ископаемых.

### МЕТАЛЛИЧЕСКИЕ ИСКОПАЕМЫЕ

#### Ц в е т н ы е м е т а л л ы

##### Медь

Коренные проявления меди связаны с медистыми песчаниками и алевролитами удюканской серии нижнего протерозоя, а также с сульфидной гидротермальной минерализацией, приуроченной к разломам и кварцевым жилам.

Пласты медистых песчаников и алевролитов известны в Икандской, Янсюкой, Чжэньцзянской, Янсюаньцзянской, Сунцунской и Сякуаньской святах.

Медистые песчаники отмечаются в нижней и в верхней половинах Икандской святи, в верховьях р.Хани (49) и в верховьях р.Сякуань (52). В первом случае оруденение приурочено к пласту мелкозернистых метаморфизованных медистых песчаников мощностью 9,2 м и прослеженной протяженностью 30 м. Песчаники содержат между кристалленостью борнита и ковеллита и залегают среди метаморфизованных, биотитизированных алевролитов и песчаников. Содержание меди - 0,1%. Во втором случае песчаники с кристалленостью халькопирита, халькозина, пирита, реже телурита и молибденита залегают пласт мощностью до 1,5 м, который прослежен по простиранию на 150 м, а по падению (аз.пад. 70°, угол 45°) - на 50 м. Среднее содержание меди (по 40 спектрометрическим анализам скелетных проб) - 1%, максимальное (по данным хим.анализа ступной пробы) - 1,69%.

Проявление меди в Янсюкой святе расположено в верховье р.Бол.Икандь (33). Здесь прослежен пласт алевролитов мощностью 0,5 м и протяженностью 30 м с тонкими прослойками выделенными, налетами и привазами махаита и азурита. Спектральный анализ ступных проб показал содержание меди 0,1-0,6%.

В Чжэньцзянской святе установлено 12 проявлений меди. Наиболее крупное из них (95) расположено в нижнем течении кл.Красного, правого притока р.Бол.Икандь. Медистые песчаники, обнаруженные в правом борту каньона кл.Красного, приурочены к верхам средней части разреза Чжэньцзянской святи. Медленосная гонша мощностью 200 м и протяженностью 1000-1200 м состоит из ритмично чередующихся песчаников, косядокосистых, волнистослоистых и торсионных осадочных, олигомитовых и известковистых и яньюролитов. В них

Таблица 8

№ п/п	№ про-явления	Местонахождение проявления	Мощность пластов, м	Протя-женность пластов, м	Содержание меди, %
1	35	р. Бол. Исады, Верховья	0,5	400	До 2,9, ср. 0,8
2	98	кл. Скалистый	0,5-2,0	1500	0,4
3	100	р. Камустях	0,5	Первые метры	0,07
4	102	р. Бол. Исады, левый берег	0,4	200	0,4
5	103	кл. Торки, правый водораздел	0,5-1,0	1000	0,1-0,2
6	104	Левобережье кл. Камустях	0,5-1,0	600	0,1-0,2
7	105	кл. Торки, правый водораздел	0,5-0,1	1500	0,1-0,2
8	107	кл. Торки, верховья	1,0	1500	0,1
9	110	кл. Торки, верховья	15,0	50	0,15
10	112	кл. Долгий	1,8	2000	0,05-0,07
11	113	кл. Грыбной	1,0	3500	0,2-0,5

Коренные проявления меди, связанные с нижним меденосным

горизонтом, известны в бассейне р. Сакугян (94), в верховьях кл. Бугун (114), в истоках кл. Камустях (115), в бассейне р. Бол. Исады (106). Во всех случаях меденосные горизонты сложены тонкопелерскалькшиски (мощность слоёв от 0,5 до 5-10 см) розовато-серыми и серыми карбонатными (до 30% карбоната) песчаниками и алевролитами. Мощность меденосных пластов невелика - 0,20-0,35 м. Руды бедные (содержания меди 0,2%, редко до 0,35%), что обусловлено убогой выщелоченностью халькопирита и борнита с примесью пирита. Протяженность меденосных пластов значительна: от рудопоявления р. Сакугян (94) меденосный пласт прослежен на 7 км.

зах толщи (80 м) отмечается переслаивание песчаников и алевролитов. В верхах (120 м) преобладают песчаники. Песчаники с выщелоченной халькопирита и борнита, реже пирита, арсенопирита, пирротина и легкой руды слатаги 17 кудиообразно расположенных горизонтов различной мощности и протяженности. Верхний - семнадцатый горизонт, имеющий мощность 25 м, и прослеженный протяженностью 100 м, опробован на всю мощность по 5 профилям через 20 метров. Средневыщелоченное содержание меди 1,48-3,34%. Медленосная пачка, включающая 11-16 горизонты, характеризуется средневыщелоченным содержанием меди, равным 0,26%. Содержание меди для 38,5-метровой пачки, объединяющей горизонты 7-10, равно 0,17%. Нижняя часть разреза сплошному опробованию не подвергалась. Максимальные содержания меди достигают здесь первых десятков долей процента. Ориентировочные запасы по кл. Красному оцениваются в 50-100 тыс. тонн металла (Ботдаков, 1960ф). По простейшему округлению же прослеживается, но предполагается продолжение рудной залежи на глубину. Другое проявление меди, локализуемая в чукчандинской свите, пророчены либо к верхам средней части ее разреза, то есть занимают тот же стратиграфический уровень, что и выщелоченное проявление (98 100), либо к низам этой же части ее разреза (103, 104, 105, 107, 113). Ряд проявлений отмечается в нижней части разреза чукчандинской свиты (102, 110, 112). Реже пласты мелистых песчаников отмечаются в верхах свиты (35). Для всех проявлений характерно наличие пластов мелистых карбонатных метазернистых песчаников и реже - мелистых алевролитов. Основные рудные минералы халькопирит, борнит, халькозин. Текстуры руд выщелоченные, прожилково-выщелоченные. Оруденение неравномерное. Основные параметры этих проявлений и содержания меди следующие (табл. 8).

Проявления меди в песчаниках и алевролитах меденосной свиты пророчены к двум стратиграфическим уровням. Нижний меденосный горизонт залегает в 50-70 м от основания свиты и представлен одним, реже двумя пластами мелистых песчаников и алевролитов. В последнем случае пласты разделены 15-20-метровой пачкой безрудных пачкой безрудных пород. Верхний меденосный горизонт залегает в 45-60 м от кровли свиты и представлен одним, реже двумя пластами мелистых песчаников и алевролитов. В последнем случае пласты разделены 35-метровой пачкой безрудных пород.

Медноосный пласт в кд. Перевальном (114) протягивается на запад до истоков кд. Камустях (115) на 6 км и на восток до устья кд. Бугун на 4 км. Распределение сингенетичной медной минерализации внутри протяженных пластов крайне неравномерное, прерывистое, вплоть до полного ее исчезновения.

Наиболее богатое проявление меди в Верхнем медноосном горизонте известно в бассейне р. Бол. Икбады, на водоразделе кд. Индр и кд. Домомитового (97 и 99). Здесь александровская свита залегает в кряжых синклинали. Протяженность пласта - 6 км. В восточной части северного крыла синклинали (97) мощность пласта равна 0,8 м. Руды вскрыленные (халькопирит, борнит, халькозин), убогие. Наблюдается ветка малыхита по трещинам и пласкостям напластования. Содержание меди на всю мощность пласта - 1,5%. В 400 метрах западнее содержание меди падает до 0,42%, еще в 1,5 км западнее при мощности пласта 1,5 м содержание меди равно 0,5%. На центри-клинальном замкнутый складки мощность пласта равна 40 см, а содержание меди изменяется от первых сотых процента до 1,69%. На этом крыле синклинали отмечается крайне убогие руды с содержанием меди от 0,1% до 0,2%, редко 0,43%.

Менее значительные проявления меди, связанные с верхним горизонтом александровской свиты, отмечаются по р. Бол. Икбады (96, 101, 106) и в истоках р. Амудиса (109). Мощность пластов здесь варьирует от 0,5 до 1,0 м, протяженность их составляет 1300 м, а содержание меди, при крайне неравномерном оруденении, колеблется от 0,09 до 0,88%.

Проявление меди, связанное с породами бугунской свиты.

Известно на водоразделе рек Бол. Икбады и Талыкан (108). В пласте доломитовых известняков отмечается крайне убогая и неравномерная вскрыленная халькопирита и борнита. Мощность доломитовых известняков - 200 м, мощность оруденелых пород - 50-100 м. Средняя содержание меди 0,1%.

В сакуханской свите (первой подсвите) известно одно проявление осадочных медных руд (111). Оно расположено в левом борту долины верховьев р. Амудиса. Здесь, в одной из промыв борта долины, обнажается меридионально простирившийся пласт медистых песчаников и алевролитов, содержащих неравномерно вскрыленную халькопирита, борнита и халькозина. Породы с поверхности покрыты налетом малыхита и азурита. Мощность оруденелых пород - 100 м. По простиранию к югу пласт перекрывает меднокованый отложениями, к северу оруденение отсутствует. Содержание меди, по данным спектральных анализов, достигает 1% и более.

Для всех осадочных медных руд характерно почти повсеместное присутствие серебра (до 10 г/т), висмута (0,001%), реже олова (0,003%) и молибдена (до 0,06%).

Медная минерализация тигротермальное типа, приуроченная к разрывным нарушениям, известна в бассейнах рр. Токко, Икбадыкан, в верховьях рек Ханк. Сакухан, Саку, Талыкан. В бассейне р. Токко отмечаются два проявления (14, 17), которые тяготеют к меридиональному разлому. Оруденение представлено вскрыленной сульфидной минерализацией (халькопирит, пирит, галенит), наложенной на миконитизированные тейсы аржар (14) и раннепротерозойские ортоамфиболиты, на выветрелой поверхности которых фиксируются лимонитизация и примазки медной зелени (17). Ширина оруденелых зон 10 м, протяженность - первые метры. Содержание меди, по данным спектральных анализов точечных проб, в обих случаях равно 0,3%. Аналогичное по типу проявление меди располагается и в истоках р. Сакухан (26), где в зоне субширотного разлома на площади 30 м<sup>2</sup> встречены глины катаклазирванных и оксидированных тринитро-тейсов с вскрыленностью халькопирита и пирита. Спектральный анализ точечных проб показывает здесь содержание: меди - до 1%, серебра - 0,001%, висмута - 0,01%. С зоной северо-восточного разлома связано проявление меди, расположенное в истоках кд. Березового - левый составяющей р. Хани (44). Здесь встречаются таклазирванные, лимонитизированные ильменитовидные грениты. Ширина измененных пород 0,3 м, протяженность 10 м. Породы секются маломощными (до 2 см) прожилками молочно-белого кварца. По данным спектральных анализов лимонитизированных пород (3 точечных проб), содержание меди достигает 1% и более. Сопутствующим элементом - серебром до 0,001%, золотом - 0,005 г/т.

Коренные проявления меди в верховьях р. Талыкан (116, 117) приурочены к северо-западному разлому. На всем протяжении тектонической зоны (около 4 км) между проявлениями 116 и 117 опорами отмечаются примазки медной зелени. В местах максимального дробления, на пересечениях зоны разлома с дикими позднепротерозойскими (?) тавбур, отмечается наибольшее обогащение халькопиритом и борнитом, образующими неравномерную вскрыленность. Мощность оруденелой зоны от 0,1 м до 50 м. Содержание меди, по данным химических анализов, колеблется от первых десятых долей процента до 0,5%.

Большая группа проявлений меди, связанных с зонами сульфидной минерализации, располагается в окрестностях палеозойского шельфового Сакуханского массива, внутри его, в тавке в его экзо-

и экзоконтактах. Проведения 50, 56, 61 приурочены к северо-восточному разлому. В левом борту канонической долины р. Сакукан на протяжении 100 м в катеризированных песчанниках кварцевой свиты отмечаются примазки медной зелени, линзовидные выделения халькопирита, кварца о малахитом и азуритом (50). Мощность зоны - первые метры. Содержание меди, по данным химического анализа штучной пробы из центральной части зоны, равно 0,6%, оцинца - 0,06%.

Сопутствующие элементы: серебро - 0,001%, висмут - 0,001%, золото - 0,01 г/т. В районе проведения 56 указанная тектоническая зона прослежена на протяжении 1500 м. Мощность зоны кровленки и окварцевания равна 10 м. Рудное тело представляло окварцованными микронитами с окремленностью халькопирита, халькозина, пирита, таленита, примазками малахита, азурита. Мощность его 2 м, протяженность по простиранию 45 м, по падению 12 м. Содержание меди, по данным спектрального анализа 20 точечных проб, равно 0,3-1%, среднее - 0,7%. Химический анализ штучной пробы показал содержание меди - 2,9%. Сопутствующие элементы: молибден до 0,03%, серебро - 0,001%, висмут - 0,001%, золото до 0,1 г/т.

Проведение 61 расположено среди катеризированных трианглов, которые на площади около 400 м<sup>2</sup> несут опордическую мелку вкрапленность халькопирита, молибденита и пирита. Содержание меди, по данным спектральных анализов 4 проб, составляет 0,6%, молибдена - 0,01%, серебра - 0,001%. С другими разломом северо-восточного направления и о параллельными ему трещинами связаны проявления меди: 58, 60, 64, 66, 67, 68, 81. Это проявления локализованы в оном Сакуканском массиве (58, 60), либо в его экзоконтактах (64, 66, 81), либо в орынтальной олизости от них (67, 68). Во всех случаях вмещающие породы интенсивно микронитизированы, катеризированы, окварцованы и несут мелку вкрапленность халькопирита, пирита, иногда пирротина, борнита и ковеллина, отечается примазки малахита. Протяженность измененных оруденных пород составляет 70 м при ширине 3-15 м, иногда прожилково-вкрапленное оруденение отмечается на площади до 4250 м<sup>2</sup> (81). Содержание меди, по данным спектральных анализов штучных и точечных проб, колеблется от 1 до 0,01%. Сопутствующие элементы: серебро - 0,001%, иногда золото - 0,01 г/т, редко 0,5 г/т (64). В бассейне р. Сакук известны три коренных проявления меди (82, 83, 84), которые приурочены к разрывным нарушениям. Вмещающие слениты катеризированы и несут мелку вкрапленность халькопирита, пирита (83, 84) и иногда пронизаны сетью кварцево-карбонатных прожилков, содержащих сульфиды меди (82). Мощность орудененных зон колеблется от 5 до 20-30 м. Протяженность - первые сотни метров.

Содержание меди, по данным спектральных анализов точечных проб, колеблется от 0,1 до 1%. Одна из олопопригитных рудовмещающих структур, помимо указанных выше, является тектоническая зона Брекчид, которая иногда отмечается вдоль контакта палеозойского шельфового массива. К такой структуре приурочено коренное проявление меди в потоках р. Уни (54). Здесь вдоль контакта интрузива на протяжении 60 м прослеживался брекчия, состоящая из обломков вмещающих пород докембрийской серии и триангловитов. Обломки окварцованы и пиритизированы, цемент - кварцевый. Среди сватов брекчий на площади 500 м<sup>2</sup> встречается глыба (0,3 м) с густой вкрапленностью халькопирита, борнита, пирита и примазками малахита в кварцевом цементе. Размер рудных выделений составляет 2 см. Химический анализ штучной пробы показал содержание меди, равное 0,79%. Сопутствующие элементы: серебро - 0,001%, золото - до 0,5 г/т.

Кварцевые жилы, несущие бедную сульфидную минерализацию, известны в верховьях р. Терин-Брах (7, 10), в верховьях р. Олондо (20), в верховьях р. Уни (39) и в верховьях р. Бол. Икабья (93). В проявлениях 7 и 20 кварцевые жилы несут раннепротерозойские халькопиритовые оруденения. Мощность кварцевых жил от 0,5 до 3 м, протяженность от 5 до 12 м. Жильный кварц несет вкрапленность халькопирита, пирита и примазки малахита. Химическим анализом штучных проб установлено содержание меди 0,15 и 0,06%. Проявление 10 представлено крупноплакицей кварцевой жилой (мощность 4 м, протяженность 13 м), двусей метаморфизованные песчанники кварцевой свиты. Кварц несет вкрапленность халькопирита, пирита. Отмечается малахит. Содержание меди, по данным химического анализа штучной пробы - 0,15%. Сопутствующие элементы: цинк - 0,03%, серебро - 0,001%. Серия связанных кварцевых прожилков мощностью до 1 см и протяженностью 4 м, несущих примазки малахита, отмечается в песчанниках кварцевой свиты (39). Содержание меди, по данным химического анализа штучной пробы, составляет 8,32%. В верховьях р. Бол. Икабья (93) установлена штокервовая зона на площади 3000 м<sup>2</sup>. Вмещающие породы - окварцованные и пиритизированные песчанники чукотинской свиты. Отдельные кварцевые жилы прослежены по простиранию на 3 м, максимальная мощность 5 см. Жилы, прожилки несут вкрапленность халькопирита, таленита, пирита. Спектральным анализом точечных проб установлено присутствие меди - до 1%. Сопутствующие элементы: серебро - 0,001%, висмут - 0,001% и руть - 0,058%.

В районе выделены четыре шликтовых ореола, внутри которых отмечаются халькопирит, ковеллин, малахит в оычной ассоциации с шельфом, монашеством, оритом. Шликтовой ореол меди (4) охватывает

ет долину р.Тарлы-Юрты. Совместно с минеральными медями здесь помещено перечисленных минералов изредка отмечается молибденит. Предположительно коренные источники - кварц-сульфидные жилы и, возможно, медистые песчаники известковой свиты. Шлиховой ореол меди (5) обнаруживается в верховьях р.Тюкко. Совместно с минеральными медями в шлихах иногда отмечается молибденит и галенит. Предполагаемые коренные источники - оруденные зоны разломов. Шлиховой ореол меди (42) обнаруживается в верховьях рек Хани, Сакукан и Саку. В шлихах минералы меди ассоциируются иногда с галенитом, молибденитом, флюоритом, очень редко с касситеритом и кинноварью. Все эти минералы попадают в аллювий из кварцевых жил, зон кварцотермальномасляных пород, обрематых палеозойской шелочной Сакуканской массива, и из самого массива (флюорит). Шлиховой ореол меди (92) обнаруживается в бассейне р.Бог.Икарья. В шлихах неповсеместно отмечается также галенит, арсенопирит, золото (редкие единичные знаки), касситерит, молибденит. Коренными источниками минералов меди, а также галенита, арсенопирита и молибденита являются медистые песчаники и алевролиты члнкандиной и алеоксандровской свиты и члстично кварцево-сульфидные жилы. С последними, вероятно все-го, связан касситерит и золото.

#### Свинец

В районе известно два шлиховых ореола галенита. Ореол (3) охватывает долину р.Пурчилян и верховья р.Сотях. Совместно с галенитом в шлихах встречаются минералы из группы тангстадо-ниобатов (поликрез-эксенит), шезит, иногда молибденит, флюорит и ортит. Коренным источником является массив позднепротерозойских (?) гранитов, где галенит и часть сопутствующих минералов отмечается как акцессорные. Ореол галенита (28) охватывает площадь развития пород удоканской серии. В ассоциации с галенитом (не во всех шлихах) отмечается вудфенит, халькопирит, арсенопирит, молибденит, редко золото, очень редко касситерит. Коренными источниками сноса служат, в основном, песчаники члнкандиной и алеоксандровской свиты (галенит, вудфенит, халькопирит, арсенопирит, молибденит - встречаются в искусственных шлихах из протодочек этих пород). Золото, касситерит, а также часть сульфидов попадает в аллювий при разрушении кварцевых и кварцево-карбонатных жил, несущих крайне обогатив сульфидную минерализацию.

#### Цинк

Проявление цинка (62) расположено в верховьях р.Икарьякан. Оно приурочено к скандированным марморам известковой свиты, слагающим несомненно тектонический блок среди гранито-гнейсов. Марморы проявляются в виде солончатых кварцевых жильных массивов шириной 0,5 м каждая. Протяженность жил 15-25 м, ширина жильной зоны - 10-15 м. В экзоконтактах жил марморе интенсивно антимонизированы, отмечаются кристаллы лимонита (до 3 см) и вкрапленность кристаллов (до 0,5 см) бурого сфалерита. Спектральный анализ 2 шлифовых проб показал содержание цинка более 1%, меди - 0,01%, свинца - 0,03%, кадмия - 0,06%, серебра - 0,001%. Вероятнее всего, свинц проявлен связанно присутствием сфалерита совместно с молибденитом и галенитом в шлихе в верховьях р.Икарьякан.

#### Благородные металлы

##### Золото

Все коренные проявления золота, известные в районе, преимущественно тяготеют к кварцотермальномасляным зонам разломов. Проявление золота (25) в бассейне р.Муртин приурочено к зоне тектонического контакта архейских гнейсов и позднепротерозойских (?) гранитов. Передобренные гнейсы архей интенсивно пиритизированы, лимонитизированы. Ширина зоны жемчужных пород - 1 м, прослежена протяженность - 5 м. Пробы анализом штифной пробы установили содержание золота 0,6 г/т, серебра - 5,9 г/т. Сопутствующий элемент - медь 0,6%. Проявление золота (46) известно на левобережье р.Сакукан, в зоне северо-восточного разлома. Пиритизированные и окварцованные, местами карбонатизированные раннепротерозойские граниты содержат, по данным спектрального анализа, до 0,1 г/т золота. Подобного же типа проявления золота отмечаются в верховьях р.Саку (63) и в верховьях правого берега восточного разлома. В первом случае зона пиритизации шириной 3-5 м и протяженностью 10 м тяготеет к экзоконтакту палеозойских трансформитов, во втором (параметры те же) - к гранитизированным гнейсам архей. Содержание золота, по данным спектрального анализа, колеблется от 0,1 (63) до 0,5 г/т (4).

С зонами гидротермальной связи проявления золота на правобережье р. Уэни (70) и в верховьях левого безымянного притока р. Сяку (78). Ширина этих зон — первые метры, протяженность до 10 м. Содержания золота, по данным спектроскопического анализа точечных проб, в обоях проявлений 0,5 г/т.

Помимо указанных проявлений, незначительные содержания золота (по данным спектроскопического анализа) установлены в вышеописанных проявлениях меди (44, 50, 56, 64, 66, 68, 81), которые в большинстве случаев контролируются теми же разрывными нарушениями, что и проявления золота. Во всех случаях в зонах сульфидной минерализации видимого золота не обнаружено, что может свидетельствовать о его преимущественно дисперсном характере. По данным Е. М. Фалькина (1963 г.), в кварц-кварцовых жилах, развитых в пределах толщ удюканской серии, отмечаются крайне высокие содержания золота.

Золото в шпихлах (в знаковых количествах) отмечается в бассейнах рек Бол. Икюбья, Чикянда, Эбгата, Огондо. Коренными источниками его могут служить кварцево-сульфидные жилы и зоны пиритизации.

#### Р е д к и е м е т а д л и

##### Молибден

Коренные проявления молибдена в большинстве своем связаны с кварцевыми прожилками и жилами, часть которых несет между выщелоченность сульфидов. Проявления молибдена пологого типа известны в верховьях р. Бол. Икюбья (32 и 34). Они расположены среди сульфидных сланцев и метапесчаников икюбийской (32) и янской (34) свит, которые секутся сериями тонких согласных кварцевых жилков без видимых следов сульфидной минерализации (мощность от 0,5 до 1 см). Протяженность штокервовых зон от 15 м (32) до 30 м (34). Эти прожилки секутся молочно-белыми кварцевыми жилами мощностью 0,5-0,7 м, протяженностью до 70 м, с выщелоченностью молибдена, халькопирита, пирита. С поверхности жилы обочены ферримолибдидом и лимонитом). Во вмещающих породах отмечаются выщелоченность молибдена, пирита. Спектральным анализом точечных проб установлено присутствие молибдена — 0,008-0,01%, меди — до 0,006%. Химический анализ штучной пробы показал содержание молибдена 0,005%, а в проявлении 34 — руды — 0,029-0,038%. Видимой рудной минерализации, так же как и в проявлениях меди 93, распро-

ложенном в 2,5 км к юго-западу от проявления 34, не установлено. Отметим, что киноварь встречается в редких шпихлах в верховьях рек Икюбья и Сяку, что может служить подтверждением наличия гидротермальной рудной минерализации, видимо, не получившей в районе широкого развития.

Небольшие штокервовые зоны, несущие молибденовую и другую сульфидную минерализацию, известны в верховьях р. Сякуян (53, 55) и в верховьях р. Икюбьян (57). В проявлениях 53 и 55 прожилки молочно-белого кварца, а также измененные вмещающие породы (палеозойские гранодиориты и граносениты) содержат мелкую выщелоченность молибдена, халькопирита, пирита. Некоторые кварцевые прожилки (53) содержат гнезда молибденита размером до 1,5 см. Химическим анализом штучной пробы оруденелого кварца установлено содержание молибдена — 1,7%, меди — 0,03%. В измененных вмещающих породах (55), по данным спектрального анализа сколовых проб, содержание молибдена колеблется от 0,001 до 1%, меди до 0,06%. Параметры описанных проявлений невелики и составляют для кварцевых жил: мощность 7 см, протяженность (в делевальных тльбах) до 1 м. Площадь измененных пород изучается первыми метрами. Штокервовая зона в верховьях р. Икюбьян (57) локализуется среди раннепротерозойских гранито-гнейсов. Здесь отмечается серия из 10 тонких (2 см) прожилков кварца, протягивающихся в северо-западном направлении на 35 м. Рудная минерализация: молибденит (иноты до 20 см по простиранию прожилков), выщелоченность халькопирита, пирита. Вторичные минералы: лимонит, гематит, малахит, ферримолибдид. Химическим анализом 2 штучных проб установлено содержание молибдена 0,004% и 2,48%, меди — 0,04 и 0,06%, свинца — 0,06%. Вмещающие породы практически безрудные.

Проявления молибдена прожилково-выщелоченного типа известны в бассейне р. Сякуян (28, 30, 31) и в верховьях р. Икюбьян (51). Прурочены они к разрывным тектоническим нарушениям (окаймленные зоны дробления). Пролегенные параметры оруденелых зон не превышают 7 м по ширине, 50 м по простиранию и 20 м по падению (51). Оруденение представлено выщелоченностью и мелкими прожилками молибденита, халькопирита, галенита, ковеллина и борнита; гипсерегние — ферримолибдид, малахит, лимонит. Содержание молибдена, по данным спектральных анализов точечных проб, не превышает 0,01%, меди — 0,06%.

Коренные гидротермальные проявления молибдена пространственно связаны как с позднепротерозойскими (?) гранитами, где отмечается выщелоченность молибденит, так и с палеозойскими шедочными по-

родами Сакунского массива. Шлиховые ореолы молибденита, а также отдельные шлихи, содержащие молибденит, преимущественно приурочены к долинам рек, дренажных зон и разрывных нарушений, которые контролируют либо палеозойские и позднепротерозойские (?) интрузии в бассейне рек Саяку и Ю-Квель (П18), либо только позднотерозойские интрузии (шлиховой ореол № 15 - долина р. Эвонокит).

#### Бериллий

Все известные в районе коренные проявления бериллия генетически связаны с раннепротерозойскими пегматитами Чуйско-коларского комплекса, причем 5 проявлений из 9 распространены в пределах Читкинского пегматитового поля, охватывающего между реками Верховьев рр. Хани и Сакукан, правую и левобережье р. Сакукан.

Наиболее крупные проявления бериллия расположено на северном фланге Читкинского пегматитового поля на правом склоне долины р. Хани, в 1,5 км к югу от оз. Читкиндя (Читкиндское промышленное месторождение мусковита 69). Пегматитовая жила протяженностью 170 м и мощностью до 20 м простирается на  $033 - 345^\circ$ , падает на СВ под углом  $50^\circ$ . Внешние породы - раннепротерозойские гранитоиды и метапесчаники. Жила имеет сложную форму и зональное строение. Крутильды берилля размером от 1 до 15 см по длине оси и до 3 см в поперечнике образуют радиально-лучистые агрегаты, локализуемые в зоне контакта кварцевого ядра и кварц-микроклинитового блокового пегматита с мусковитом. Мусковит образует пластинки площадью от 20 до 100 см<sup>2</sup>. Средняя толщина крутильды мусковита до 1,5 см. Мусковит естественный флюоресцент, андалузитом, магна, акцессорные минералы представлены флюоритом, андалузитом, сфеном, рутилом, пироксом, шпидель, самарскитом, хальколпритом, мнгалитом. Жила вскрыта 9 канавами (Савченко, 1965ф). Протяженность рудной зоны - 160 м, средняя мощность ее 2 м. Среднее содержание  $Be_2O_3$ , по данным полуколичественного анализа 4 бороздочных проб - 0,0075%. На предполагаемую глубину обрушения, равную 40 м, ориентировочные запасы  $Be_2O_3$  достигают 2,4 т. Среднее содержание мусковита по этой жиле равно 4,25 кг/м<sup>3</sup>.

В центральной части Читкинского пегматитового поля на водоразделе Хани и Сакукан, а также в долине р. Хани известны три проявления бериллия (43, 45, 48). В проявлении 43 пегматитовая жила мощностью до 3 м и протяженностью до 70 м, рудная слюдистая сланцы кварцевой свиты, не содержит никаких кристаллов бериллия, однако полным спектральным анализом штурфаж проб установлено со-

держание бериллия 0,01%, ниобия - до 0,1%. В 1,5 км южнее в проявлении 48 в пегматитовой жиле мощностью до 0,7 м и протяженностью 120 м обнаружены отдельные редкие кристаллы берилля; размеры кристаллов: по длине - 5 см, при сечении - 0,9 см. Спектральным анализом 3 бороздочных проб установлено содержание бериллия до 0,03%, ниобия до 0,06%. Химический анализ подтверждено присутствие ниобия ( $Nb_2O_5 - 0,012\%$ ), а также тантала ( $Ta_2O_5 - 0,0035\%$ ). В проявлении 45 отмечается делевидные свяды глыб пегматитов без видимой бериллиевой минерализации. Спектральным анализом штурфаж проб установлено содержание бериллия до 0,1%.

В Верхнечиткинском непромышленном месторождении мусковита (65), расположенном в верховьях р. Читкиндя, обнаружена серия из 12 пегматитовых жил протяженностью до 100 м и мощностью 0,3-2,5 м (аз. падения  $230^\circ$ , угол  $60^\circ$ ). Внешние породы - слюдистые сланцы кварцевой свиты. Видимой бериллиевой минерализации обнаружено. По результатам спектрального анализа штурфаж проб, содержание бериллия достигает 0,01%, ниобия 0,01%, титрия - 0,01%. Химический анализ подтвердил присутствие ниобия ( $Nb_2O_5 0,016\%$ ) и тантала ( $Ta_2O_5 - 0,0006\%$ ). Помимо этого в пегматитах содержится мусковит, составляющий 3% от объема жил. Площадь этого массива достигает 4 км<sup>2</sup>. Необходимо отметить, что на площади центральной части Читкинского пегматитового поля, в районе проявления 43, 45, 48, а также на его южном фланге, на площади, охватывающей истоки рек Читкиндя, Хани, Сакукан в спектрометаллометрических пробах отмечены повышенные содержания бериллия - от 0,001 до 0,01% и ниобия - от 0,003 до 0,05% (Найденков, 1965ф).

Остальные проявления бериллия, известные на восточном фланге Читкинского пегматитового поля по р. Сакукан (76), на южном фланге Сакунского пегматитового поля, на левом склоне долины р. Саяку (85, 90), а также в бассейне р. Кыркиндя (23) представляются собой делевидные свяды глыб пегматитов, содержащих кристаллы желтого-зеленого берилля размером до 8 см по длине оси и до 1 см в поперечнике. Одно из проявлений бериллия (21) будет описано ниже при характеристике проявления лития.

#### Литий

Проявление лития распространяется в долине правого безымянного притока р. Олоццо (21). Здесь вскрыта линейчатая пегматитовая

жиды протяженностью 200 м, мощностью от 20 до 62 м (Савченко, 1965б). Внешние породы - ортоамфиболиты, амфиболитизированные песчаники икэбидской свиты. Простирание жиды северо-восточное, падение на северо-запад, угол 70-80°. Жиды зональная - в вышележающей кварц-микроклинной пелитит (5-10 м), центральная часть сложена кварц-мусковит-сподуменовым агрегатом с участками кварц-мусковитового и альбитового замещения. Мощность центрально-го ядра 10-12 м. Сподумен составляет до 40% центральной части жиды и представляет мелкими (2х2х0,1 см), реже крупными (25х24 см) кристаллами. Длина оруденелой части жиды - 120 м, средняя мощность 30 м. Оруденение прослежено 6 канавками и охарактеризовано 19 бо-розловыми пробками. Среднее содержание лития составляет 0,13%, в отдельных блоках - до 0,85%. Ориентировочные запасы Li<sub>2</sub>O<sub>3</sub> при предположительной глубине оруденения 25-30 м оцениваются в 2480 т. Кроме этого, в жиде отмечается повышенное содержание ниобия - 0,018% и бериллия - 0,0036%. При тех же параметрах оруденения ориентировочные запасы Nb<sub>2</sub>O<sub>5</sub> оцениваются в 83,6 т, в Be<sub>2</sub>O<sub>3</sub> - 32,5 т. Бериллиевой минерализации не обнаружено, в присутствии ниобия объясняется наличием в пелититовой жиде минералов группы скаржукита; возможно также, что ниобий входит как изоморфная примесь в мусковит, турмалин и сподумен.

#### Танталы и ниобий

Коренные проявления тантала и ниобия тесно связаны с ранне-протерозойскими пелититами чуйско-кодарского комплекса, часть их встречается совместно с бериллием и литием и описана выше (21,43, 48,65). На левооберье р. Хани (38) и в истоках левого притока р. Мурдин (47) известны пелититовые жиды мощностью от 0,3 до 2,5 м и видимой протяженностью от 5 м (47) до 80 м (38). Внешние жиды породы - раннепротерозойские гранито-твейсы. Минералогический анализом борозловых проб установлено присутствие минералов группы тантал-ниобатов (микролита?) до 4,5 г/т, а также цирконя, монацита, климента, сфена, рутила, магнетита, пирита, флюорита. Минералогическим анализом 3-х борозловых проб из пелититов проведены 38 установочных содержания: Nb<sub>2</sub>O<sub>5</sub> - 0,012%, Ta<sub>2</sub>O<sub>5</sub> - 0,0011%, в обих присутствуют спектральными анализами глубинных проб отмечается присутствие ниобия - 0,01-0,03% и титрия - до 0,01%.

В районе выделены три шликтовых ореолов, внутри которых отмечаются минералы тантал-ниобатов и их спутников. Один шликтовой ореол (1) охватывает бассейны рек Пурджикан, Эбеглир, Эбегих,

Курун-Курх, Мурдин, частично икэбидская и верхняя р. Хани. В его пределах повсеместно отмечаются значительные содержания тантал-ниобатов группы тантал-ниобатов как поликраз-эксенит, а по р. Хани - микролит, пироксор и бетрафит (?). В ассоциации с этими минералами отмечаются повсеместно циркон, монацит, шеллит, ортит, изредка флюорит, ксенотим, галенит, молибденит, халькопирит. Вторым шликтовой ореол (16) охватывает площадь бассейнов р. Ичидик, Каяндя и меридионального отрезка р. Хани. Минералы группы тантал-ниобатов представлены поликраз-эксенитом, на юге ореола встречается климелит. Содержания этих минералов, как и ассоциируемых с ними цирконя, монацита, ортита, шеллита, реже молибденита, ксенотима, халькопирита и флюорита, не превышают значительных. Третий шликтовой ореол (86) занимает площадь между речья Чаткандя-Саку-Юс-Кюель. В его юго-восточной части преобладают минералы группы поликраз-эксенита, а в северо-западной - климелит. Постоянные спутники - циркон, монацит, ортит, ксенотим (последние два только в северной части ореола), редко галенит, флюорит. В шликах поликраз-эксенит представлен обломками (до 0,5 мм) кристаллов неправильной формы. Цвет медово-желтый, темно-коричневый. С поверхности зерна покрыты корочкой продуктов окисления.

Анализ пространный собственного размещения шликтовых ореолов достаточно четко позволяет установить коренные источники сноса минералов группы тантал-ниобатов. Шликтовые ореолы I и 16 совпадают с геологическими контурами площадей развития метасоматических очковых и массивных раннепротерозойских гранитоидов II фазы Куандиинского комплекса, а также зон микроклиннизации, проявившихся вдоль крупных меридиональных нарушений. Как уже отмечалось выше (в гл. "Интрузивные породы"), указанные гранитоиды и зоны фельдшпелитизации несут рассеянную тантал-ниобидную минерализацию (поликраз-эксенит). Предположительный генезис акцессориев в метасоматических гранитоидах Куандиинского комплекса рассматривается при их характеристике. Напомним, что это предположение подтверждается результатами спектральных анализов окловых проб (содержание ниобия иногда достигает 0,03%). Максимальное содержание ниобия в пробах отмечается на участках флюоритизации (точка флюоритизации показаны на геологической карте). Коренным источником шликтовой минерализации и бетрафита (?) (р. Хани) является пелитит чуйско-кодарского комплекса. Шликтовой ореол 86 охватывает площадь развития метасоматических гранитоидов Куандиинского комплекса, а также шеллитных и нефелиновых осленгов и гра-

Носители палеозойского Сакунского массива, с породами которого, вероятнее всего, связан Ильменорудит, ксенотим, ортит и флюорит.

#### Редкие земли

Коренные проявления редкоземельной минерализации генетически связаны с раннепротерозойскими метасоматическими гранитоидами II фазы Куандинского комплекса и раннепротерозойскими гранитами II фазы Чуйско-кодарского комплекса.

Проявления первой группы локализуется в самых метасоматических гранитоидах, в зонах их акзоконтактов, а также в ортитоволодородных в 4 км к северо-западу от слияния рек Курунт-Юрх и Эртах (18). Редкоземельная минерализация (гнездовывкрапленные выделения оррита) приурочена к небольшому коренному останку (15х5 м) метасоматических крупнозернистых очковых гранитоидов. II фазы Куандинского комплекса, развивающихся по трапп-биститовым гнездам давчанской свиты архая. Размер гнезд оррита от нескольких миллиметров до 5-7 см. Размер отдельных пластинчатых кристаллов оррита достигает 3 см. Оруденение крайне неравномерное. Содержание оррита в породе колеблется от 1-2 до 15-25%, реже до 30%. Сопутствующие минералы - магнетит, ильменит и циркон, образующий микроскопические сростания с орритом. В штуфной пробе наиболее руденелой породы спектральным анализом установлено присутствие (в %): церия - более 1, иттрия десятые доли процента, гадолиния - до 1, тория - более 1, циркония - более 1, таллия - 1, иттербия - 0,001. Максимальная радиоактивность - 225 мкР/час, средняя - 50-75, при фоне окружающих пород - 20-25 мкР/час.

Проявления редких земель (87) расположено на левом водоразделе р. Хуни, ниже устья р. Сяку. Приурочено оно к акзоконтакту метасоматических гранитоидов. Микроглинизированные высокоглинозистые гнезды аэоноктокой свиты архая насыщены сложными кварц-полевшпатовыми прожилками (до 0,3 см), несущими мономинеральные скопления кристаллов монацита (до 0,5 см), который отмечен и в акзоконтактах прожилков, реже оррита, таллия и бастназита (?). Площадь оруденения, совпадающая с радиоактивной аномалией (270 мкР/час) - 75х50 м. Спектральный анализ 2 штуфных проб показал содержание (в %): церия более 1, лантана более - 1, тория более - 1, таллия - до 0,01, бериллия - 0,01,

свинца - до 0,6. На площади аномалии метадломатическим опробованием установлены повышенные содержания (в %): циркония - 0,03, иттрия - 0,003-0,01, иттербия до 0,003, лантана 0,003.

Проявления редкоземельной минерализации, связанные с ортитоволодородными пегматитами, известны по р. Турчижан (2), на правом водоразделе р. Курунт-Юрх (19) и на правобережье прутьевой части р. Сяку (89,91). В левом борту долины р. Турчижан, у устья в долине, на протяжении 30-40 м выкраиваются 4 пегматитовых жил мощностью 2-4 м, протяженностью до 8 м; на водоразделе р. Курунт-Юрх в коренном остатке отмечается маломощный (2 см) пегматитовый прожилок, а по р. Сяку отмечается развяди тальб тнейсов, наощенных 0,1-0,5-метровыми пегматитовыми жилами. Для всех проявлений характерна приуроченность жил к амфиболовым тнейсам архая и солглане, реже секуше, контакта, рудная минерализация представлена орритом, образующим либо неравномерную мелкую вкрапленность, либо крупнее (до 3 см) выделения сростков иртратов оррита, магнетита с мелкой вкрапленностью монацита и циркона. Наиболее богата рудная минерализация отмечается в пегматитах протяжения 91, где количество составляет (в кг/т): ортита - 1,5, циркона - 3,9, монацита - 2,6, магнетита - 44, клинкента - 13, ангита - до 0,37. Спектральным анализом точечных проб в ортитоволодородных пегматитах установлено повышенное содержание (в %): иттрия до 0,06, редко 0,1, иттербия - до 0,003, лантана обычно 0,01, редко - 0,1-1, циркония обычно 0,01, редко до 0,1-0,3, тория - 0,03-0,06; в двух случаях (89,91) отмечается присутствие церия - 0,1-0,6.

Повышенное содержание редкоземельных элементов (иттрия до 0,01%) отмечались в пегматитах чуйско-кодарского комплекса, содержащих бериллий (65), тантал и ниобий (38). С подобными пегматитами связаны редкоземельные проявления в верховьях р. Икюбекан (59). Здесь раннепротерозойские траппито-тнейсов проявляются двумя пегматитовыми жилами мощностью 0,5 м и видимой протяженностью 30 м. Кварц - микроклиновое с мусковитом пегматиты содержат мелкую вкрапленность желтовато-бурого ксенотима. Содержание иттрия, по данным спектрального анализа точечных проб, равно 0,03%, иттербия - 0,003%.

Найболее ксенотима, как акцессорного минерала, в траппитах II фазы чуйско-кодарского комплекса и в пегматитах, предопределяющих пространственное размещение шиховых ореолов этого минерала. Один ореол ксенотима (36) располагается в бассейне р. Сякужан, второй (71) охватывает часть бассейна р. Сяку. В шихвах ксенотим

представлен слабоокрашенными обломками октаэдрических кристаллов (0,2 мм) медово-желтого цвета. В ассоциации с ним встречаются пирит, шелиф, иногда кльменчутил, поликраз и зксенит, редко галенит, молибденит.

#### НИМЕТА ЛИПЕВСКИЕ ИСКУПАЛЬНЫЕ

Прочие неметаллические  
ископавные  
С и л и к а т н ы е

#### Тальк

Почти все известные в районе коренные проявления талька сосредоточены в верховьях р.Олонго, где они генетически и пространственно связаны с телами позднепротерозойских (?) ультраосновных пород (8,9, II, 12, 13). Одно проявление расположено на правом склоне долины р.Тарын-Юрх (6). Во всех случаях проявление талька тяготеет к тектоническим нарушениям, вдоль которых проявились процессы авто- и динамометаморфизма (серпентинизация и озмеевикование), в также наложенная термальная минерализация (хлоритизация, карбонатизация, оталькование).

Проявление талька в долине р.Тарын-Юрх (6) представляется собой линзообразную залежь талькового явни среди хлоритизированных и эпидотизированных раннепротерозойских ультраосновных пород. Максимальная мощность линзы 5,0 м, прослеженная протяженность по простиранию 6 м, по падению 3,5 м. Залежь почти мономинальная, с незначительной примесью актинолита, серпентина и хлорита. Остатки проявления талька - это коренные выходы и декарбонизованные развалы светло-серых, карбонат-хлорит-тальковых, декарбонизованных и тальковых сланцев (до 75% талька), проницаемых сетью тонких (до 1 см) прожилков мономинерального талька. Зоны талькодержащих сланцев достигают нескольких сотен метров ширины и прослеживаются по простиранию дайковых тел типероазитов на протяжении 0,8-2 км (8,9, II), иногда тальковые сланцы локализованы в элик зонах в виде линз, неправильных тел среди дунитов. В последних нередки гнездообразные участки (до 0,5 м<sup>2</sup>), сложенные мономинеральным тальком (13).

#### Мусковит

Все без исключения непромышленные месторождения мусковита связаны с раннепротерозойскими пегматитами чуйско-колдрского комплекса.

В пределах Читрындинского пегматитового поля известно 5 непромышленных месторождений мусковита: Ханинское I (37), Ханинское II (40), Ханинское III (41), Читрындинское (69) и Сакуканское II (75). Пегматитовые жилы с мусковитом, расположенные на водоразделе рек Хани и Сакукан и на правобережье р.Сакукан (37, 69, 75), разведаны квантами (Савченко, 1965б). Протяженность жил от 100-200 до 700 м, максимальная мощность 25 м. По данным разведки, максимальные содержания мусковита по отдельным жилам колеблется от 3,36 до 9,3 кг/м<sup>3</sup>, при балансовом показателе от 0,04 до 0,19 кг см<sup>2</sup>/м<sup>3</sup>. Мусковит обрывает гнездообразные окрестности размером до 10 см в диаметре. Мусковит едчатый, в клиновидных сростанках, с "зайчаром". Размер кристаллов, часто просоших кварцем, турмалином и трепаном, от 2х2 до 5х8 см. Непромышленные месторождения мусковита, расположенные на левобережье р.Хани (40, 41), характеризуются более округлыми кристаллами пегматитовых жил (мощность 0,7-1,5 м, протяженность до 50 м) и меньшими размерами кристаллов мусковита (высота кристаллов 1,5 см, площадь до 6 см<sup>2</sup>).

В пределах Горного пегматитового поля известно 5 непромышленных месторождений мусковита: Горное I-V - 72, 73, 77, 79, 80. Протяженность круглопадающих пегматитовых жил с мусковитом не более 100 м, мощность 1-10 м. Размер пластин мусковита 1-2 см<sup>2</sup>, реже до 6-9 см<sup>2</sup>. Высота кристаллов до 3 см. Мусковит в клиновидных сростанках, едчатый. Большая часть жил разведана горными работами (Савченко, 1965б). Содержание мусковита от 0,85 до 2 кг/м<sup>3</sup>.

Отдельные непромышленные месторождения мусковита расположены в верховьях р.Сакукан - Сакуканское I (27), в бассейне р.Олонго - Олондинское (22), на р.Камганда - Камгандинское (24), на водоразделе р.Хани и р.Алтуаль - Алтуальское (88), в верховьях р.Читканди - Верхнечиткандинское (65), в бассейне р.Сакукан - Сакуканское (119) и на Ю-Кудель - Ю-Кудельское (120). Все они по типу минерализации, характеристике мусковита и параметрам эндогенных процессов в пределах от 0,2 до 3 м, в прослеженная

протяженность от 5-10 до 50 м. Высота кристаллов мусковита достигает 3 см, площадь пластинок от 2 до 25 см<sup>2</sup>. Эти мусковитовосные пематитовые жилы залегают среди слюдястых сланцев кибайкинской свиты (22, 24, 119, 120), либо среди раннепротерозойских тринитов чуйско-колларского комплекса (27) или в их экзоконтактах (38).

Анализ результатов валового опробования и технологических исследований мусковита (38 проб из 13 жил) показывает, что содержание мусковита в жилах района обычно не превышает 5 кг/м<sup>3</sup>. Выход обогащенного сырья в этих пробах от валового составил всего 0,3%, а выход коллоидной слюды 0,02%. В связи с низким качеством и небольшими размерами кристаллов балансовые показатели в пробах не превышают 1 кг см<sup>2</sup>/м<sup>3</sup>. То есть ни в одной из пематитовых жил района промышленной концентрации мусковита не установлено (Завенко, 1965б).

#### СТРОИТЕЛЬНЫЕ МАТЕРИАЛЫ

Тринитовый район обладает всеми внешними качествами облицовочных камней. Они характеризуются выдержанностью внешнего вида на больших площадях, естественной огледеленностью, превышающей по объему 0,5 м<sup>3</sup>. Изверженные и метаморфические породы могут быть использованы в качестве бута; щебеня, полученный путем дробления этих пород (ввиду отсутствия в их составе аморфного кремнезема и пирита в неприкритизированных зонах), годится для заполнения тяжелых бетонов. Доломитизированные известняки булунокской свиты, по данным лабораторных исследований, обладают высоким содержанием  $MgCO_3$  (до 20%). По содержанию хлоридной соли пористой лабораторной строительной фальки (1963б), эти породы годятся для изготовления гидравлической извести низкого качества, некоторые разновидности могут быть использованы для изготовления воздушной извести III сорта, что не удовлетворяет современным требованиям к качеству этого вида сырья.

Альпидальные, озерные, ледниковые и водо-ледниковые образования могут являться сырьевой базой валуно-галечниково-гравийно-песчаного материала. Альпидальные отложения рек, разлаварших вихревые топи и тринитоиды, по своему петрографическому и петрометрическому составу отвечают требованиям для заполнения тяжелой бетонной смеси и также для дорожных покрытий и балластных железнодорожных путей. Аналогичное применение могут найти и ледниковые отложения, содержащие песок (0,1-3 мм) в количестве 54-78% и гравий (до 100 мм) - 22-46% (без учета валунов).

В качестве строительных песков могут быть использованы кварц-полевошпатовые пески водо-ледниковых, альпидальных и озерных отложений (реки Муруди, Копорди). Повышенные содержания мелкого зема (более 5%) в ледниковых отложениях не позволяют использовать их в качестве заполнителя тяжелых бетонов без предварительного обогащения.

#### ОБЩАЯ ОЦЕНКА ПЕРСПЕКТИВ РАЙОНА

Подводящее большинство проявлений осадочных медных руд, известных в районе, характеризуются незначительными масштабами и содержатными меди. Среди пород Удонанской свиты района могут быть можно выделить богатых протажных и мощных горизонтов медистых песчаников, хотя не исключена возможность обогащения осадочных пород с участками богатых медных руд. Подобное предложение известно в г. Куаном (95). Однако масштабы рудной минерализации, а также горнотехнические условия не позволяют оценивать это проявление как промышленно-перспективное.

С раннепротерозойскими метасоматическими тринитоидными куанданского комплекса связана рассеянная (экзосортная) тантал-ниобиевая (поликристаллическая) и редкоземельная (независимая) лентная ортит-циркониевая, ортит-монацитовая минерализация. С этими же тринитоидными связанны ортитовые пематиты, относящиеся к непродуктивному типу редкоземельной минерализации. В связи с этим можно предположить, что в пределах массива метасоматических раннепротерозойских тринитоидов куанданского комплекса возможны концентрации минералов редких земель и тантал-ниобиевые. Выявленные проявления редкоземельной минерализации из-за небольшого масштабов не имеют промышленной ценности, однако положительное значение, так же как и слюдяных ореолов тантал-ниобиевых образований. Раннепротерозойские пематиты, с которыми связаны проявления бериллия, лития, тантал-ниобатов и непромышленные месторождения мусковита, представляли заводский интерес. Каждое отдельное проявление бериллия, лития и непромышленное месторождение мусковита вряд ли может представлять промышленную ценность как самостоятельный источник сырья. Однако наличие пематитовых жил пематитов является перспективным на поиски комплексных месторождений бериллия, лития, мусковита и сопутствующих им редкоземельной и тантал-ниобиевой минерализаций.

С позднепротерозойской (?) метаматической деятельностью связаны проявления тальца (в гиперазитях дооросского комплекса),

когда в настоящее время не представляется промышленной ценности, однако при дальнейшей доработке здесь возможно открытие мелких месторождений талька и, возможно, провалений асбеста. Необходимо также отметить присутствие в дунитах никеля. Однако его низкие и неравномерные содержания и небольшие масштабы тел гиперфазитов не позволяют рассматривать их в качестве перспективных объектов для поисков силикатных никелевых руд. Пространственная связь провалений молибдена прожилково-вкрапленного типа, а также шихтовых ореолов молибдена с позднепротерозойскими (?) гранитами и зонами контролирующих их разломов свидетельствует о возможности обнаружения подобных провалений в этих зонах, а также на площадях развития указанных гранитов. Известные прожилково-вкрапленные проваления молибденовой минерализации из-за небольших содержания и размеров оруденения промышленной ценности не представляются.

С палеозойскими этапом тектонической активизации района связано становление многофазной интрузии щелочных и нефелиновых сиенитов, транссиенитов и гранодиоритов (Сахунский массив). Хотя в пределах Сахунского массива не обнаружено каких-либо редких металлов рудопроизводитель, его площадь все же следует рассмотреть как благоприятную для обнаружения различных генетических типов редкометалльной минерализации. С гипотетической фазой, завершающей становление палеозойской интрузии, связано образование оруденительно небольших по размерам прожилково-вкрапленных сульфидных зон, неущих медную, медно-молибденовую и золотосульфидную минерализацию. С этой же фазой, вероятно всего, связаны небольшие проваления молибденовой минерализации штокерского типа, а также отдельные кварцевые жилы с золотом. Все эти проявления, из-за небольших содержания и ограниченных размеров, не представляются промышленной ценности, хотя не исключено обнаружение более богатых прожилково-вкрапленных медноколчеданных зон с дисперсным золотом, которые могут локализоваться, как и большинство выявленных проявлений, по разломам, близки с контактом Сахунского палеозойского массива.

Оценивая в целом площадь листа 0-50-XXX, следует отметить возможность обнаружения здесь: 1) комплексов месторождений бериля, лития, мусковита, редких земель и керамического сырья, связанных с раннепротерозойскими пермитами Чуйско-колчарского комплекса; 2) редкоземельной и тантал-ниобиевой минерализации особенно магматического и пневматолито-гидротермального типа, связанной с раннепротерозойскими метасоматическими гранитоидами

Куандицкого комплекса; 3) редкоземельно-тантал-ниобиевой минерализации в альпидных в связи с палеозойскими щелочными и нефелиновыми сиенитами и транссиенитами.

## ПОДЗЕМНЫЕ ВОДЫ

Среди подземных вод района выделяются пороховые и трещинные воды, которые по отношению к многолетнемерзлотным породам подразделяются на над- и полмерзлотные (рис. 4).

### Пороховые и трещинные воды

Пороховые трещинные воды выделяются надмерзлотными и циркулируют в рыхлых отложениях: современных аллювиальных, средне-верхне-четвертичных ледниковых, волю-ледниковых.

Водоносный горизонт составляет соевременных и древних крупных рек района. Водоносные породы представлены вулканогенными отложениями, имеющими хорошие фильтративные свойства и небольшую (до 2-4 м) мощность. Воды этого горизонта частично дренируются на уровне низкой поймы для уреза воды. Мощность горизонта соответствует мощности сезонного протаивания и равна 1,5-2 м, а его воды имеют г-гидрокарбонатный или хлоридно-гидрокарбонатный кальциевый, натриевый или магниевый-кальциевый состав. Воды чистые, прозрачные, без вкуса и запаха, ультрапресные, магние (жесткость 0,3-2,8 мг·экв), реакция слабощелочная или нейтральная.

Водоносный комплекс состоит из верхне- и средне-ледниковых и волю-ледниковых отложений. Главным образом на северо-востоке района. Состав водоносных пород: преимущественно, вулканогенные и супески, реже вулканогенные галечники. Воды этого комплекса проморожены на всю мощность водоносных отложений (до 40-50 м). Мощность надмерзлотного дельтового горизонта 1-2 м. Воды его дренируются в пониженных участках рельефа, где образуются небольшие озера; родники редкие, они, в основном, выходящие с уклоном 0,3-0,4 л/сек. Минерализация этих вод низкая (20-30 мг/л), реакция слабощелочная; воды магние (до 0,5 мг·экв), гидрокарбонатные; как правило, они содержат ион аммония до 1 мг/л (25 мг·экв), железа до

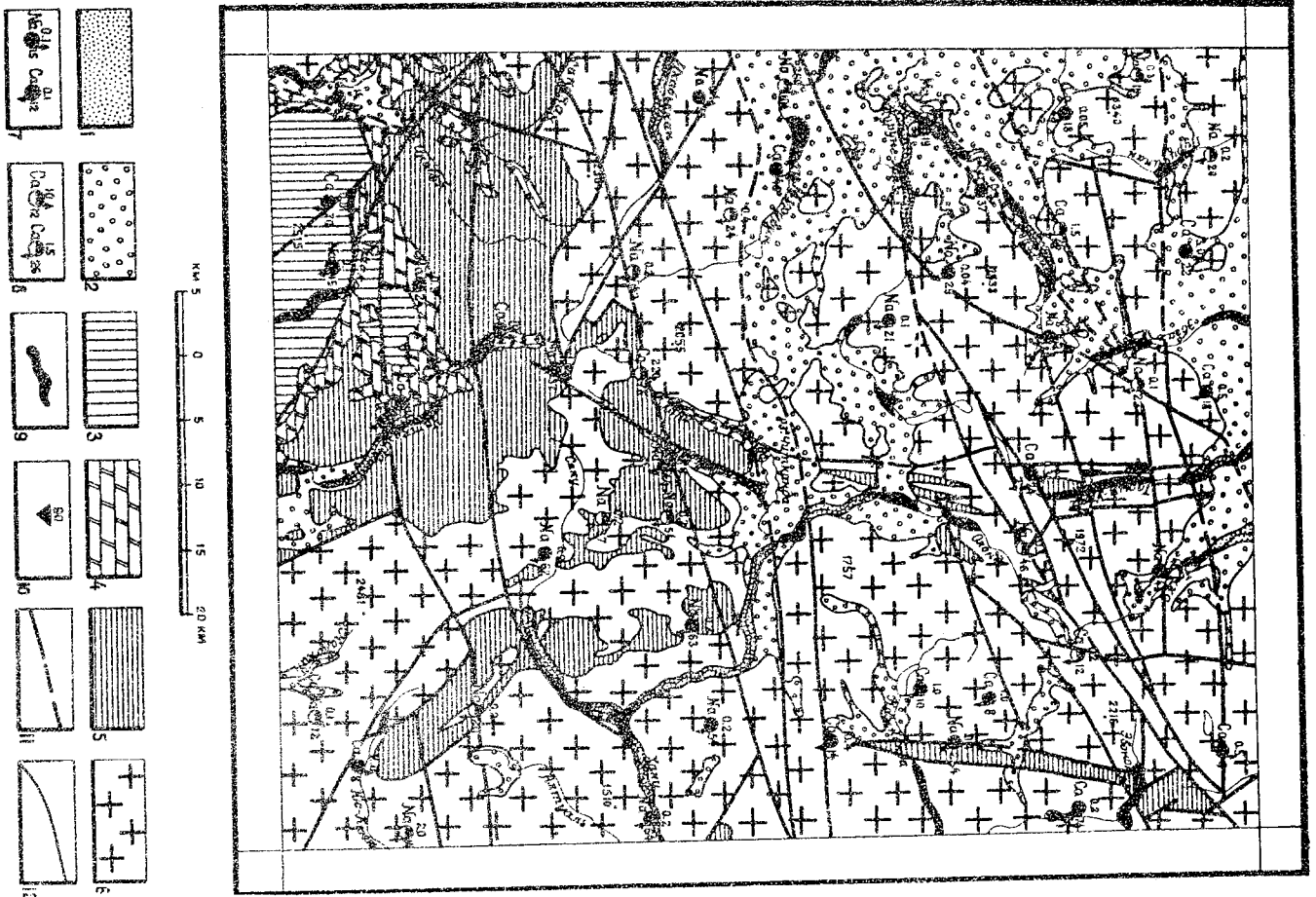


Рис. 4. Гидрогеологическая схема

Порово-Пластовые Волмы: 1 - вулканический горизонт современных андизитовых отложений; 2 - вулканический комплекс средне- и верхне-четвертичных лавных и рогово-лаваковых отложений. Трещинные воды; 3 - вулканический комплекс метаморфизованных песчаных пород якутской свиты улуканской серии нижнего протерозоя; 4 - вулканический комплекс метаморфизованных терригенно-карбонатных пород александровской и бутунской свит улуканской серии нижнего протерозоя; 5 - вулканический комплекс метаморфизованных песчано-глинистых пород якутской, чаткалинской свит улуканской серии нижнего протерозоя; 6 - вулканический комплекс архейских кристаллических и разновозрастных магматических пород. Проведения подземных вод и мерзлоты; 7 - восходящие и нисходящие родники с преобладающим гидрокарбонатного анюна (слева преобладающий катион, сверху расход в л/сек, справа минерализация в мг/л); 8 - то же для родников со смешанным (гидрокарбонатно-сульфатным) составом анюна; 9 - надели подземных вод; 10 - пункт установления мощности мерзлоты (в м); 11 - разлом, установленные и перекрытые рыхлыми четвертичными отложениями; 12 - границы вулканических комплексов

2 мг/л (33 мг.экв). Цвет желтоватый, отмечается зветхлость. Температура в родниках +10°C, в озерах и мочажинах до +7°C.

#### Т р е ш и н н ы е в о д ы

Трещинные воды надмерзлотные циркулируют в верхней зоне трещиноватых коренных пород. Подмерзлотные напорные воды циркулируют в зонах разломов. Трещинные воды приурочены к водоносным комплексам: а) архейских кристаллических и разновозрастных магматических пород, б) метаморфизованных песчано-глинистых пород икарбонатно-члчкандиной свиты, в) метаморфизованных терригенно-карбонатных пород александровской и бутунской свит и г) метаморфизованных песчаных пород сакуканской свиты нижнего протерозоя.

В о д о н о с н ы й к о м п л е к с а р х е й с к и х к р и с т а л л и ч е с к и х и р а з н о в о з р а с т н ы х м а г м а т и ч е с к и х п о р о д р а с п р о с т р а н е н на большей части территории. Водоносные породы - разновозрастные, кристаллические сланцы, трепитолиты и т.п., обычно хорошо трещиноватые с удельно-водородными коллекторскими свойствами. Надмерзлотные воды этого комплекса выходят на поверхность в виде преимущественно низкохлоридных родников с дебитом до 2 л/сек. Воды этих родников чистые, прозрачные, без цвета и запаха, приятные на вкус. По составу гидрокарбонатные и хлоридно-сульфатно-натриевые, как правило, выходят субкарбонатно и образуют на реках полияди протажность до 3,5 км (р.Токко) и надели с объемом льда от сотни тысяч до первых миллионов кубических метров. Наиболее крупная надел на р.Мурудин имеет объем льда 9 млн.м<sup>3</sup>, что соответствует суммарному расходу питающих источников (при 6-7-месячном периоде образования) - 670 л/сек. В районе надели имеется ряд восходящих родников с расходом от 1,9 до 270 л/сек. Минерализация вод слабая (не более 70 мг/л), состав гидрокарбонатный или сульфатно-гидрокарбонатный кальциевый, реакция слабощелочная и нейтральная. В воде присутствуют: ион аммония 2,5 мг.экв), железа (до 3 мг.экв), хлор (до 14 мг.экв), кон магния (до 16 мг.экв). В одном из родников, по р.Мурудин с расходом 260 л/сек, полным спектральным анализом сухого остатка установлены следующие компоненты (в%): кремния - более 0,03, магния - 1, кальция - более 1, железа - 0,006, марганца - 0,03,

лития - 0,01, ванадия - 0,001, молибдена - 0,03, циркония - 0,001, лантана - 0,01, натрия - 1.

В о д о н о с н ы й к о м п л е к с м е т а м о р ф и з о в а н н ы х п е с ч а н о - г л и н и с т ы х п о р о д и к а р б о н а т н ы х с в и т ч л ч к а н д и н с к о й с в и т з а н и м а е т с р ы в н и т е л ь н о б о ь ш и е п л о щ а д и в б а с с е й н ы х р е к Ч и т к а н д я , В о д , И к а б ы , У а н и . В о д о в м е ш а ю щ и е п о р о д ы с л а б о т р е ш и н о в а т ы е , с п л о ж н ы м и к о л л е к т о р о ж к и м и с в о й с т в а м и - п е с ч а н и к и , а л е - в о л и т ы , с л и ш и с т ы е с л а н ц ы и т . д . Н а д м е р з л о т н ы е в о д ы д р е н и р у ю т с я н и с х о л ы д ы м и м а л о д е б ы т ы м и ( 0 , 1 - 1 , 0 л / с е к ) и с т о ч - н и к а м . М и н е р а л и з а ц и я в о д н и з к а я , с о с т а в г и д р о к а р б о н а т ы й и л и х л о р и д н о - г и д р о к а р б о н а т ы й к а л ь ц и е в о - н а т р и е в ы й . Р е а к ц и я с л а б о - к и с л ы я . П о д м е р з л о т н ы е в о д ы п р о я в л я ю т с я в в и д е н а д е л ь с о о б ь е м о м л ь д а д о 3 0 0 0 м <sup>3</sup> , ч т о с о о т в е т с т в у е т р а с х о д у п и т а ю щ е г о и с т о ч н и к а 0 , 3 - 0 , 4 л / с е к . К р о м е т о г о , о т м е ч а е т с я р я д б о л ь ш е в о д о о б и л ь н ы х в о с х о д я щ и х и с т о ч н и к о в п о р . У а н и ( 2 2 л / с е к ) п о р . Ч и т к а н д я ( 1 0 л / с е к ) . У х м и ч е с к и й с о с т а в п о д м е р з л о т ы н ы х в о д с у л ь ф а т н о - к а р б о н а т ы й к а л ь ц и е в ы й и л и н а т р и е в о - к а л ь ц и е в ы й , м и н е р а л и з а - ц и я о т 1 6 д о 7 6 м г / л , р е а к ц и я н е й т р а л ь н а я . В о д е ч и с т а я , п р о з р а ч - н а я , б е з в к у с а и з а п а х а , т е м п е р а т у р а + 2 , 3 ° C .

В о д о н о с н ы й к о м п л е к с м е т а м о р ф и з о в а н н ы х т е р р и г е н н о - к а р б о н а т - н ы х п о р о д а л е к с а н д р о в с к о й и о б у - т у н с к о й с в и т р а з ы в ы в б а с с е й н е р е к Ч и т к а н д я и В о д . И к а б ы . В о д о в м е ш а ю щ и е п о р о д ы т р е ш и н о в а т ы е , ч а с т о и з в е с т ь к о в и с т ы е п е с ч а н и к и и а л е в о л и т ы , к а в е р н о з ы н е и т р е ш и н о в а т ы е и з в е с т ы н и к и и д о л о м и т ы . Н а д м е р з л о т н ы е в о д ы э т о г о к о м п л е к с а н а п о в е р х н о с т и в с т р е ч а ю т с я в р е д к и х н и с х о л ы д ы ш к м а л о д е б ы т ы х ( 0 , 3 - 0 , 1 л / с е к ) р о д н и к а х . В о д а ч и с т а я , п р о з р а ч н а я , б е з в к у с а и з а п а х а . Т е м п е - р а т у р а + 1 , 5 ° C . В о д ы э т о г о к о м п л е к с а х а р а к т е р и з у ю т с я о т н о с и т е л ь - н о н е с к о л ь к о п о в ы ш е н н о й м и н е р а л и з а ц и е й о т 2 4 д о 8 4 м г / л , м а л о й ж е с т к о с т ь ю ( 0 , 1 - 1 , 4 м г . э к в ) , н е й т р а л ь н о й р е а к ц и е й , г и д р о к а р б о - н а т ы м м а г н е з и е в о - к а л ь ц и е в ы м с о с т а в о м . П о д м е р з л о т н ы е в о д ы , к а к п р а в и л ь н о , п р и у р о ч е н ы к р а з л о м а м и л и к с т р а т и г р а ф и ч е с к и м к о н т а к - т а м . В ы х о д ы н е з н а ч и т е л ь н ы и п р е д с т а в л е н ы н е б о ь ш и м и н а д е л ь м и п о р . Ч и т к а н д я .

В о д о н о с н ы й к о м п л е к с м е т а м о р ф и з о в а н н ы х п е с ч а н ы х п о р о д с а к у - к а н с к о й с в и т ы р а з ы в ы т н а и т о - з а п а д е р а й о н а . В о д о - в м е ш а ю щ и е п о р о д ы - п р е и м у щ е с т в е н н о м а с с и в ы н е т р е ш и н о в а т ы е п е с - ч а н и к и . В о д ы н а д м е р з л о т н о г о г о р и з о н т а ц и р к у л и р у ю т п о т о н к и м

трещинам, затухающим в зоне мерзлых пород. Этот горизонт дренируется в основном низкоходящими рондниками с дебитом 0,01-0,1 л/сек. Воды гидроразрушающие калциево-натриевые. Реакция воды слабощелочная, температура до +3°C. Выходы подмерзлотных вод пророчены к разломам и фиксируются в виде наледей протяженностью до 5 км, шириной до 150 м (верховья р.Таяккан). При средней мощности льда 1 м, в первом формировании 7 месяцев, расход питающего наледь (750 000 м<sup>3</sup>) источника составляет 40 л/сек.

Питание подземных вод района осуществляется атмосферными осадками, поверхностными водами, частично за счет конденсации паров. Все воды взаимосвязаны, трещинные, над-, и подмерзлотные воды питают порово-пластовые воды рыхлых отложений, нерельефообразующие, порово-пластовые и трещинные воды через поглощающие талки (уч.Бутуун) питают подмерзлотные трещинные воды и т.д.

Для бытового и промышленного водоснабжения наиболее пригодны подмерзлотные трещинные воды водоносного комплекса архейских кристаллических и разновозрастных магматических пород, отличающегося высокой водообильностью. Эти воды могут эксплуатироваться открытым способом в долинах рек, при этом в летний период попутно могут быть использованы надмерзлотные воды водоносного горизонта современных аллювиальных отложений. Указанные воды отличаются удовлетворительными физическими и химическими свойствами. Воды острых водоносных комплексов практического интереса не представляли из-за сравнительно более высокой обильности и частично из-за плохих физических свойств (воды ледниковых и водно-ледниковых отложений)

#### ЛИТЕРАТУРА

##### О П У Б Л И К О В А Н Н А Я

Б о б и н Е.С. Геологические исследования в Олекмо-Каларском районе. Тр.Всес.геологической экспедиции. Вып.271, 1933.

Д и т м а р В.Г. Геологическая карта СССР, лист 0-50. Объяснительная записка. Геологический институт, 1947.

Ж у р а в л е в а З.А. Осколки и катепрофили рифей и нижнего кембрия Сибири и Южного Урала и их стратиграфическое значение. Автореферат диссертации, 1963.

З о л о т а р е в А.Г. К вопросу о поверхности выравнивания южной части Средне-Сибирского плоскогорья и Байкало-Патом-

ского нагорья. Тезисы докл. I научн. конф. геол. секции им.В.А.Обручева. Чита, 1964.

Д е й т е с А.М. Нижний протерозой северо-востока Олекмо-Витимской горной страны. Из-во "Наука", 1965.

П а в л о в с к и й Е.В. Геологический очерк района Верхней чумы. (Олекмо-Витимская горная страна). Тр.Всес.геол.-развед.объедин., вып.271, 1933.

С а л о п Д.И. Геология Байкальской горной области, т.1, Изд-во "Недра", 1964.

С а л о п Д.И. Геология Байкальской горной области, т.1. Изд-во "Недра", 1967.

С о л о н е н к о В.П. и др. Жизнь тектоника, вулканизма и сейсмичность Станового нагорья. "Наука", 1966.

Т у т а р к и н о в А.И. О протерозойском возрасте пород Алданского щита, Геохимия, № 3, 1967.

##### Ф О Н Д О В А Я

Б о г д а н о в Ю.В. и др. Окончательный отчет по теме: "Геология и закономерности распределения месторождений меди Удоканского района. 1960.

Б у ф е е в Е.В. и др. Геологическое строение и полезные ископаемые бассейна Верховьев рр.Интамакит. Отчет о работе партии № 5 за 1964 г., 1965.

Г л у х о в с к и й М.З. и др. Геологическое строение и полезные ископаемые бассейна Верховьев рр.Икабьеган и Хани. Отчет о работе партии № 8 за 1962 г., 1963.

Г л у х о в с к и й М.З. и др. Геологическое строение и полезные ископаемые междуручья Олондо-Эвонокит и Верховьев р.Токко. Отчет о работе партии № 8 за 1963 г., 1964.

Г л у х о в с к и й М.З. и др. Геологическое строение и полезные ископаемые междуручья Чикканди-Юс-Кьель-Хани. Отчет о работе партии № 8 за 1964 г., 1965.

Г л у х о в с к и й М.З. и др. Геологическое строение и полезные ископаемые междуручья Мурудин-Дурджикан. Геологическое строение междуручья Чикканди-Бол.Икабья. Отчет о работе партии № 8 за 1965 г., 1966.

Г о р е л о в В.Г. Предварительный отчет по теме: "Магматизм Станового хребта и Олекмо-Витимского нагорья". Отчет о работе партии № 17 за 1963 г., 1964.

Князев О.Т. и др. Геологическое строение листа 0-51-XXXV. Отчет Ханнинской партии за 1964-1964 гг., 1966.  
Лянник И. В.В. и др. Геологическое строение листа 0-50-XXXIV. Отчет Верхне-Токкинской партии, 1966.

Музис А.И. и др. Промежуточный отчет по теме "Стратиграфия кайнозойских отложений и геоморфология Олекмо-Витимской горной страны". Отчет по полевым работам 1963 г., 1964.

Музис А.И. и др. Промежуточный отчет по теме: "Стратиграфия кайнозойских отложений и геоморфология Олекмо-Витимской горной страны". Отчет по полевым работам 1965 г., 1966.

Найденков Ю.Ф. и др. Геологическое строение и полезные ископаемые Верховьев рек Икабьякан, Хани, Читканды. Отчет о работе партии № 18 за 1964 г., 1965.

Немих Г.А. и др. Геологическое строение и полезные ископаемые юго-восточной части листа 0-50-XXXVI (бассейн рр.Кадар и Китемакян). Отчет о работе партии № 6 за 1964 г., 1965.

Перфильев Ю.С. и др. Промежуточный отчет по теме: "Стратиграфия докембрийской палеозоя Олекмо-Витимской горной страны". Отчет о работе партии № 18 за 1962 г., 1963.

Перфильев Ю.С. и др. Промежуточный отчет по теме: "Стратиграфия докембрийских отложений Олекмо-Витимского нагорья". Отчет о работе партии № 18 за 1963 г., 1964.

Савченко Г.М. и др. Верхнеханнинская (Читкандинская) мусковитоносная площадь и ее перспективы. Отчет о результатах поисковых и поисково-разведочных работ, проведенных Читкандинской партией ДКЗ в 1963-1965 гг., 1965.

Суденников В.В. и др. Отчет о работах Забайкальской веромагнитной партии за 1958 г., 1959.

Фалькин Е.М., Фалькин Н.А. Геологическое строение и полезные ископаемые Икабья-Читкандинского района. Окончательный отчет Икабьинской партии по поисково-разведочным работам масштаба 1:500 000, проведенным в 1961-1962 гг., 1963.

Федоровский В.С. и др. Геологическое строение и полезные ископаемые северо-западной части листа 0-50-XXXVI (бассейн верхнего течения р.Кадар). Отчет о работе партии № 6 за 1962 г., 1963.

Федоровский В.С. и др. Геологическое строение и полезные ископаемые северо-восточной части листа 0-50-XXXVI (бассейн рр.Кадарский Калвакан и Имангра). Отчет о работе партии № 6 за 1963 г., 1964.

Чернявская К.А. Подземные воды Верхне-Чарской впадины и хребтов Кадар и Удокан (отчет по результатам земных работ 1966 г.), 1967.

Шульгина В.С. и др. Геологическое строение и полезные ископаемые бассейна рр.Кемен и Бол.Икабья. Отчет о работе партии № 7 за 1962 г., 1963.

Шульгина В.С. и др. Геологическое строение и полезные ископаемые бассейна рек Чара, Бол.Тора, Сакхунандр. Отчет о работе партии № 7 за 1964 г., 1965.

Приложение I

СПИСОК  
МАТЕРИАЛОВ, ИСПОЛЪЗОВАННЫХ ДЛЯ СОСТАВЛЕНИЯ  
КАРТЫ ПОЛЕЗНЫХ ИСКОПАЕМЫХ  
МАСШТАБА 1:200 000

№ п/п	Фамилия и имя автора	Название работы	Год составления или издания	Местонахождение материала - да, его фонд/номер или место издания
1	2	3	4	5
1	Богданов Ю.В. и др.	Окончательный отчет по теме: Геология и закономерности распределения месторождений меди Удоканского района	1960	0221958
2	Глуховский М.З. и др.	Геологическое строение и полезные ископаемые бассейна Верховьев рр. Ика-бьекан и Хани	1963	0246833
3	Глуховский М.З. и др.	Геологическое строение и полезные ископаемые междуручья Олондо-Эвонокит и Верховьев р.Токко	1964	0256132
4	Глуховский М.З. и др.	Геологическое строение и полезные ископаемые бассейна Верховьев рр. Курунг - Урак, Эбгах, Эбгах-лир и междуручья Читкандэ - Ю-Кюэль - Хани	1965	0264636

1	2	3	4	5
5	Глуховский М.З. и др.	Геологическое строение и полезные ископаемые междуручья Мурун - Турчикан. Геологическое строение междуручья Читкандэ - Бол. Икабья	1966	0272391
6	Найденков Ю.Ф. и др.	Геологическое строение и полезные ископаемые Верховьев рек Икабьекан, Хани, Читкандэ	1965	0264638
7	Перфильев Ю.С. и др.	Стратиграфия докембри-ских отложений Олекмо-Витимского нагорья	1966	0264453
8	Савченко Г.М. и др.	Верхнеханнинская (Читкандэлинская) мусковитоносная площадь и ее перспективы	1966	0267042
9	Фельдкин Е.М. и др.	Геологическое строение и полезные ископаемые Икабья-Читкандэлинского района	1963	0248093

х/  
Материалы хранятся во Всероссийском геологическом фонде

Приложение 2

СПИСОК  
НЕПРОМЫШЛЕННЫХ МЕСТОРОЖДЕНИЙ ПОЛЕЗНЫХ ИСКОПАЕМЫХ,  
ПОКАЗАННЫХ НА ЛИСТЕ 0-50-XXX КАРТЫ ПОЛЕЗНЫХ ИСКОПАЕМЫХ  
МАСШТАБ 1:200 000

№ по кар-те	Индекс клетки на карте	Наименование месторождения и вид полезного ископаемого	Состояние эксплу-тации	Тип место-рождения (К-корен-ное, Р-россыпное)	№ исполь-зованного матерьяла по списку (прилож.1)
1	2	3	4	5	6

НЕМЕЦКО-ЛИТОВСКИЕ ИСКОПАЕМЫЕ

С и л и к а т н ы е

Слюда-мушкет

88	Ш-4	Алтувальское	Не экс-плуати-руется	К	2
65	Ш-2	Верхнечиткан-динское	"	К	6
72	Ш-3	Горное I	"	К	2
73	Ш-3	Горное II	"	К	2
77	Ш-3	Горное III	"	К	8
79	Ш-3	Горное IV	"	К	8
80	Ш-3	Горное V	"	К	8
24	П-4	Камкандинское	"	К	8
22	П-3	Олондинское	"	К	8
I 19	IV-3	Сакуканское	"	К	4
27	Ш-4	Сакуканское I	"	К	6
75	Ш-3	Сакуканское II	"	К	8

1	2	3	4	5	6
37	Ш-2	Ханнинское I	Не экс-плати-руется	К	6,8
40	Ш-2	Ханнинское II	"	К	6
41	Ш-2	Ханнинское III	"	К	6
69	Ш-3	Читкандинское	"	К	8
I 20	IV-4	Юс-Крельское	"	К	4

Приложение 3

СПИСОК  
ПРОЯВЛЕНИЙ ПОЛЕЗНЫХ ИСКОПАЕМЫХ, ПОКАЗАННЫХ НА ЛИСТЕ  
0-50-XXX КАРТЫ ПОЛЕЗНЫХ ИСКОПАЕМЫХ  
МАСШТАБ 1:200 000

№ по карте	Индикс на карте	Название (местонахождение) и вид полезного ископаемого	Характеристика проявления	№ использования материала по описку (прилож. 1)
I	2	3	4	5
		МЕТАЛЛИЧЕСКИЕ ИСКОПАЕМЫЕ		
		П р е т н е м е т а л л н		
		Мель		
III	IV-1	р.Амудиса	Мелкие песчаники сакунганской свиты	7
44	III-2	Кл.Березовый	Катаяклизированные, лимонитизированные аллитовидные граниты	6
33	III-1	р.Бол.Икабья	Мелкие алевролиты аянской свиты	6
35	III-1	"	Мелкие песчаники чигандинской свиты	6
92	IV-1 IV-2	"	Шлиховый ореол	9
93	IV-1	"	Кварцевые жилы и прожилки с окисленностью сульфидов в песчанниках чигандинской свиты	6
96	IV-1	"	Мелкие песчаники александровской свиты	9

1	2	3	4	5
99	IV-1	р.Бол.Икабья	Мелкие песчаники александровской свиты	9
101	IV-1	"	"	9
102	IV-1	"	Мелкие песчаники чигандинской свиты	9
106	IV-1	"	Мелкие песчаники и алевролиты александровской свиты	9
103	IV-1	Кл.Горжи	Мелкие песчаники чигандинской свиты	9
105	IV-1	"	"	9
107	IV-1	"	"	9
108	IV-1	"	"	9
110	IV-1	"	"	9
113	IV-2	р.Чатканде	"	9
112	IV-2	"	"	9
109	IV-1	р.Амудиса	Мелкие песчаники александровской свиты	9
100	IV-1	р.Камустях	Мелкие песчаники чигандинской свиты	9
104	IV-1	"	То же	9
115	IV-2	"	Мелкие песчаники александровской свиты	9
95	IV-1	Кл.Красный	Мелкие песчаники чигандинской свиты	1,9
20	IV-3	р.Огондо	Кварцево-сульфидная жила в ортоамфиболитах	3
114	IV-2	Кл.Бутун	Мелкие песчаники александровской свиты	9
42	III-2	реки Сакунган и Хани	Шлиховый ореол	2,6

1	2	3	4	5
I	2	3	4	5
58	Ш-2	р.Саяку	Прожилково-вкраплен- ная сульфидная мине- рализация в палеозой- ских трансоксиантах	6
60	Ш-2	р.Саяку	Прожилково-вкраплен- ная и сульфидная ми- нерализация в палео- зойских трансоксиантах	6
64	Ш-2	"	"	6
66	Ш-2	"	"	6
67	Ш-2	"	"	6
68	Ш-2	"	"	6
82	Ш-3	"	Кварцево-карбонатные прожилки с сульфидами в палеозойских оленит- диоритах	2
83	Ш-3	"	Вкрапленная сульфид- ная минерализация в палеозойских оленит- диоритах	2
84	Ш-3	"	"	2
26	Ш-1	р.Саякукан (приток р.Бол.Икабьм)	Вкрапленная сульфидная минерализация в зоне разлома	6
94	IV-1	"	Мелистые песчаники и алевриты Александров- ской свиты	9
97	IV-1	р.Саякукан (при- ток р.Бол. Икабьм)	Мелистые песчаники и алевриты Александров- ской свиты	9

1	2	3	4	5
50	Ш-2	р.Саякукан (при- ток Хэни)	Прожилково-вкраплен- ная сульфидная мине- рализация в песчани- ках Икабьской свиты	6
52	Ш-2	р.Саякукан (при- ток Хэни)	Мелистые песчаники Икабьской свиты	6
56	Ш-2	"	Вкрапленная сульфид- ная минерализация в зоне дробления	6
61	Ш-2	"	Вкрапленная сульфид- ная минерализация в палеозойских трансо- ксиантах	6
81	Ш-3	"	Вкрапленная сульфид- ная минерализация в палеозойских трансо- ксиантах	2
98	IV-1	р.Бол.Икабьм	Мелистые песчаники Читкандинской свиты	9
116	IV-2	р.Сред.Талыкан	Вкрапленная сульфид- ная минерализация в зоне разлома	9
117	IV-2	"	"	9
4	I-3	р.Тарын-Юрх	Шлиховой ореол	3
7	I-3	"	Кварцево-сульфидная жиль в ортоамфиболитах	3
10	I-3	р.Тарын-Юрх	Кварцево-сульфидная жиль в метапесчаниках	3
5	I-3	р.Тюкко	Шлиховой ореол	3
14	I-4	"	Вкрапленная сульфид- ная минерализация в тнейсах адрях	3

1	2	3	4	5
17	I-4	р.Токко	Вкрапленная сульфидная минерализация в органофиолитах	3
39	Ш-2	р.Хани	Кварцево-сульфидные прожилки в песчанниках карбонийской свиты	6
49	Ш-2	р.Хани	Медистые песчанники карбонийской свиты	6
54	Ш-2	"	Тектоническая зона обречкой с вкрапленной сульфидной минерализацией	6
Свинец				
29	Ш-1	рр.Бол.Икабья, Читкандя, верховья р.Тадаякан	Шликовой ореол	8
3	I-1 I-2	р.Пурчикан	Шликовой ореол	5
Цинк				
62	Ш-2	р.Икабьекан	Вкрапленность сфалерита в кварцитах и мраморах	2,6
Б л а т о р о д н ы е м е т а л л ы				
Золото				
25	Ш-1	р.Мугурин	Пиритизированная тектоническая зона	3
63	Ш-2	р.Саку	Зона пиритизации в палеозойских сленит-диоритах	6

1	2	3	4	5
78	Ш-3	р.Саку	Зона пиритизации в металеосланцах	3
46	Ш-2	р.Сакукан (приток Хани)	Пиритизированные трещины	6
70	Ш-3	р.Хани	Зона пиритизации в гранитах	3
74	Ш-3	"	Зона пиритизации в гнейсах	3
Р е д к и е м е т а л л ы				
Молибден				
32	Ш-1	р.Бол.Икабья	Кварцевые жилы в сланцах и металеосланцах с вкрапленностью сульфидов	6
34	Ш-1	"	"	6
51	Ш-2	р.Икабьекан	Прожилково-вкрапленная сульфидная минерализация в зоне дробления	6
57	Ш-2	"	Серия прожилков кварца среди гранито-гнейсов	6
30	Ш-1	кл.Нелпочно-кит	Прожилково-вкрапленная сульфидная минерализация в зоне дробления	2
28	Ш-1	р.Сакукан (приток р.Бол.Икабья)	Прожилково-вкрапленная сульфидная минерализация в зоне дробления	6
31	Ш-1	"	"	2
53	Ш-2	р.Сакукан (приток Хани)	Серия прожилков кварца в палеозойских триадиоритах	6

					1	2	3	4	5
1	2	3	4	5	47	Ш-2			
55	Ш-2	р.Саякжан (при-ток Хани)	Вкрапленность в песчаных	6	21	П-3	р.Олоңдо	Пегматит	6
15	Г-4	р.Эвонокит	Шликовой ореол	3	16	Г-4	реки Хани, Кам-кандя	Шликовой ореол	2,3
118	П-3	р.Юс-Кюель	"	4		П-3	Отчильяк		
Вердильи									
23	П-4	р.Камкандя	Пегматит	8		П-4			
21	П-3	р.Олоңдо	"	8		П-4			
85	Ш-3	р.Саяку	"	8	38	Ш-2	р.Хани	Пегматит	6
90	Ш-4	р.Саяку	"	8	43	Ш-2	"	"	6
76	Ш-3	р.Саякжан (при-ток Хани)	"	8	48	Ш-2	"	"	6
43	Ш-2	р.Хани	"	6	65	Ш-2	р.Читкандя	Серия из 12 пегма-титовых жил	6
45	Ш-2	"	"	6	86	Ш-3	реки Читкандя, Каякян, Саяку	Шликовой ореол	4
48	Ш-2	"	"	6					
65	Ш-2	р.Читкандя	Серия из 12 пегма-титовых жил	6		П-Ш			
69	Ш-3	Читкандяское	Пегматит	8		П-4			
Редкие земли									
21	П-3	р.Олоңдо	Пегматит	8	18	П-1	р.Укабьекян	Пегматитовые жилы	6
Литий									
Гангал и ниобий									
1	Г-1	рр.Курунт-Юряк	Шликовой ореол	2,4	19	П-1	р.Курунт-Юряк	Пегматит	5
	Г-2	Икабьекян,		5,6	2	Г-1	р.Путучикян	Пегматитовые жилы	5
	П-1	Мурудан			71	Ш-3	р.Саяку	Шликовой ореол	2,4
	П-1	Пурчякян, Хани				Ш-4			
	П-2	Эбгехлир				П-3			
	Ш-1					П-3			

1	2	3	4	5
89	IV-4	р.Саку	Пегматит	2
91	III-4	"	"	2
36	III-2 III-3	р.Сагукан (при- ток Хани)	Шликовой оросл	2,6
87	III-4	р.Хани	Кварц-полевощпатовые прожилки с ортитом в тнейсах	2
НЕМЕТАЛЛИЧЕСКИЕ ИСКОПАЕМЫЕ				
С и л и к а т н ы е				
8	I-3	р.Оюндю	Тальк	3
9	I-3	р.Оюндю	Карбонат-хлорит-галь- ковые, карбонат-галь- ковые и тальковые стан- цы с прожилками и тес- дами мономинарельного талька	3
II	I-3	"	"	3
12	I-3	"	"	3
13	I-3	"	Линзы и гнезда моно- минарельного талька в дунгтах	3
6	I-3	р.Тарын-Кряк	Линзообразная залежь талькового камня среди ортоамфиболитов	3

СОДЕРЖАНИЕ

Введение . . . . .	Стр. 3
Стратиграфия . . . . .	7
Литургические образования . . . . .	30
Тектоника . . . . .	52
Геоморфология . . . . .	66
Полезные ископаемые . . . . .	72
Подземные воды . . . . .	95
Литература . . . . .	100
Приложения . . . . .	104